

Eingabe: Farbmétrisches Offset-Reflektiv-System ORS18

für Buntton  $h^* = lab^*h = 38/360 = 0.105$

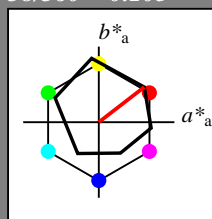
$lab^*tch$  und  $lab^*nch$

D65: Buntton O

LCH\*Ma: 52 76 38

olv\*Ma: 1.0 0.0 0.0

Dreiecks-Helligkeit  $t^*$



%Umfang

$u^*_{rel} = 85$

%Regularität

$g^*_{H,rel} = 57$

$g^*_{C,rel} = 59$

ORS18; adaptierte CIELAB-Daten	$L^*=L^*_a$	$a^*_a$	$b^*_a$	$C^*_{ab,a}$	$h^*_{ab,a}$
O <sub>Ma</sub>	51.74	60.16	46.48	76.02	38
Y <sub>Ma</sub>	90.77	-9.44	84.41	84.94	96
L <sub>Ma</sub>	54.46	-57.8	32.16	66.15	151
C <sub>Ma</sub>	61.56	-27.91	-41.41	49.95	236
V <sub>Ma</sub>	31.3	28.61	-40.85	49.88	305
M <sub>Ma</sub>	51.91	69.26	-7.69	69.68	354
N <sub>Ma</sub>	24.2	0.0	0.0	0.0	0
W <sub>Ma</sub>	95.41	0.0	0.0	0.0	0
R <sub>CIE</sub>	44.36	53.97	24.82	59.4	25
J <sub>CIE</sub>	82.39	-1.99	62.34	62.37	92
G <sub>CIE</sub>	55.68	-38.87	10.82	40.36	164
B <sub>CIE</sub>	35.76	1.06	-43.09	43.11	271

Ausgabe: Farbmétrisches Offset-Reflektiv-System ORS18

für Buntton  $h^* = lab^*h = 38/360 = 0.105$

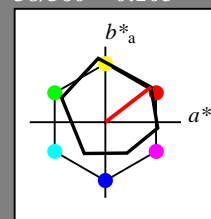
$lab^*tch$  und  $lab^*nch$

D65: Buntton O

LCH\*Ma: 52 76 38

olv\*Ma: 1.0 0.0 0.0

Dreiecks-Helligkeit  $t^*$



%Umfang

$u^*_{rel} = 85$

%Regularität

$g^*_{H,rel} = 57$

$g^*_{C,rel} = 59$

ORS18; adaptierte CIELAB-Daten	$L^*=L^*_a$	$a^*_a$	$b^*_a$	$C^*_{ab,a}$	$h^*_{ab,a}$
R	51.79	63.09	29.02	69.44	25
R25J	53.73	56.6	48.42	74.48	41
R50J	65.47	35.67	59.82	69.65	59
R75J	76.51	15.98	70.55	72.34	77
J	86.93	-2.58	80.67	80.71	92
J25G	84.92	-17.23	75.99	77.92	103
J50G	73.11	-32.96	59.0	67.58	119
J75G	60.06	-50.34	40.22	64.44	141
G	56.21	-50.44	14.04	52.36	164
G25B	57.95	-43.12	-3.96	43.31	185
G50B	60.3	-33.22	-28.35	43.68	220
G75B	53.27	-12.42	-41.26	43.1	253
B	46.07	1.01	-41.12	41.15	271
B25R	34.63	22.38	-40.91	46.64	299
B50R	45.15	55.92	-18.57	58.93	342
B75R	51.85	65.84	12.67	67.04	11

%Umfang

$u^*_{rel} = 85$

%Regularität

$g^*_{H,rel} = 57$

$g^*_{C,rel} = 59$

%Umfang

$u^*_{rel} = 85$

%Regularität

$g^*_{H,rel} = 57$

$g^*_{C,rel} = 59$

%Umfang

$u^*_{rel} = 85$

%Regularität

$g^*_{H,rel} = 57$

$g^*_{C,rel} = 59$

%Umfang

$u^*_{rel} = 85$

%Regularität

$g^*_{H,rel} = 57$

$g^*_{C,rel} = 59$

%Umfang

$u^*_{rel} = 85$

%Regularität

$g^*_{H,rel} = 57$

$g^*_{C,rel} = 59$

%Umfang

$u^*_{rel} = 85$

%Regularität

$g^*_{H,rel} = 57$

$g^*_{C,rel} = 59$

%Umfang

$u^*_{rel} = 85$

%Regularität

$g^*_{H,rel} = 57$

$g^*_{C,rel} = 59$

%Umfang

$u^*_{rel} = 85$

%Regularität

$g^*_{H,rel} = 57$

$g^*_{C,rel} = 59$

%Umfang

$u^*_{rel} = 85$

%Regularität

$g^*_{H,rel} = 57$

$g^*_{C,rel} = 59$

%Umfang

$u^*_{rel} = 85$

%Regularität

$g^*_{H,rel} = 57$

$g^*_{C,rel} = 59$

%Umfang

$u^*_{rel} = 85$

%Regularität

$g^*_{H,rel} = 57$

$g^*_{C,rel} = 59$

%Umfang

$u^*_{rel} = 85$

%Regularität

$g^*_{H,rel} = 57$

$g^*_{C,rel} = 59$

%Umfang

$u^*_{rel} = 85$

%Regularität

$g^*_{H,rel} = 57$

$g^*_{C,rel} = 59$

%Umfang

$u^*_{rel} = 85$

%Regularität

$g^*_{H,rel} = 57$

$g^*_{C,rel} = 59$

%Umfang

$u^*_{rel} = 85$

%Regularität

$g^*_{H,rel} = 57$

$g^*_{C,rel} = 59$

%Umfang

$u^*_{rel} = 85$

%Regularität

$g^*_{H,rel} = 57$

$g^*_{C,rel} = 59$

%Umfang

$u^*_{rel} = 85$

%Regularität

$g^*_{H,rel} = 57$

$g^*_{C,rel} = 59$

%Umfang

$u^*_{rel} = 85$

%Regularität

$g^*_{H,rel} = 57$

$g^*_{C,rel} = 59$

%Umfang

$u^*_{rel} = 85$

%Regularität

$g^*_{H,rel} = 57$

$g^*_{C,rel} = 59$

%Umfang

$u^*_{rel} = 85$

%Regularität

$g^*_{H,rel} = 57$

$g^*_{C,rel} = 59$

%Umfang

$u^*_{rel} = 85$

%Regularität

$g^*_{H,rel} = 57$

$g^*_{C,rel} = 59$

%Umfang

$u^*_{rel} = 85$

%Regularität

$g^*_{H,rel} = 57$

$g^*_{C,rel} = 59$

%Umfang

$u^*_{rel} = 85$

%Regularität

$g^*_{H,rel} = 57$

$g^*_{C,rel} = 59$

%Umfang

$u^*_{rel} = 85$

%Regularität

$g^*_{H,rel} = 57$

$g^*_{C,rel} = 59$

%Umfang

$u^*_{rel} = 85$

%Regularität

$g^*_{H,rel} = 57$

$g^*_{C,rel} = 59$

%Umfang

$u^*_{rel} = 85$

%Regularität

$g^*_{H,rel} = 57$

$g^*_{C,rel} = 59$

%Umfang

$u^*_{rel} = 85$

%Regularität

$g^*_{H,rel} = 57$

$g^*_{C,rel} = 59$

%Umfang

$u^*_{rel} = 85$

%Regularität

$g^*_{H,rel} = 57$

$g^*_{C,rel} = 59$

%Umfang

$u^*_{rel} = 85$

%Regularität

$g^*_{H,rel} = 57$

$g^*_{C,rel} = 59$

%Umfang

$u^*_{rel} = 85$

%Regularität

$g^*_{H,rel} = 57$

$g^*_{C,rel} = 59$

%Umfang

$u^*_{rel} = 85$

%Regularität

$g^*_{H,rel} = 57$

$g^*_{C,rel} = 59$

%Umfang

$u^*_{rel} = 85$

%Regularität

$g^*_{H,rel} = 57$

$g^*_{C,rel} = 59$

%Umfang

$u^*_{rel} = 85$

%Regularität

$g^*_{H,rel} = 57$

$g^*_{C,rel} = 59$

%Umfang

$u^*_{rel} = 85$

%Regularität

$g^*_{H,rel} = 57$

$g^*_{C,rel} = 59$

%Umfang

$u^*_{rel} = 85$

%Regularität

$g^*_{H,rel} = 57$

$g^*_{C,rel} = 59$

%Umfang

$u^*_{rel} = 85$

%Regularität

$g^*_{H,rel} = 57$

$g^*_{C,rel} = 59$

%Umfang

$u^*_{rel} = 85$

%Regularität

$g^*_{H,rel} = 57$

$g^*_{C,rel} = 59$

%Umfang

$u^*_{rel} = 85$

%Regularität

$g^*_{H,rel} = 57$

$g^*_{C,rel} = 59$

%Umfang

$u^*_{rel} = 85$

%Regularität

$g^*_{H,rel} = 57$

$g^*_{C,rel} = 59$

%Umfang

$u^*_{rel} = 85$

%Regularität

$g^*_{H,rel} = 57$

$g^*_{C,rel} = 59$

%Umfang

$u^*_{rel} =$

### Eingabe: Farbmétrisches Offset-Reflektiv-System ORS18

für Buntton  $h^* = lab^*h = 96/360 = 0.268$

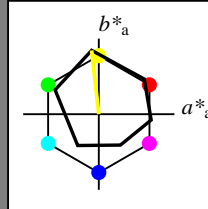
$lab^*tch$  und  $lab^*nch$

D65: Buntton Y

LCH\*Ma: 91 85 96

olv\*Ma: 1.0 1.0 0.0

Dreiecks-Helligkeit  $t^*$



%Umfang

$u^*_{rel} = 85$

%Regularität

$g^*_{H,rel} = 57$

$g^*_{C,rel} = 59$

#### ORS18; adaptierte CIELAB-Daten

	$L^*=L^*_a$	$a^*_a$	$b^*_a$	$C^*_{ab,a}$	$h^*_{ab,a}$
O <sub>Ma</sub>	51.74	60.16	46.48	76.02	38
Y <sub>Ma</sub>	90.77	-9.44	84.41	84.94	96
L <sub>Ma</sub>	54.46	-57.8	32.16	66.15	151
C <sub>Ma</sub>	61.56	-27.91	-41.41	49.95	236
V <sub>Ma</sub>	31.3	28.61	-40.85	49.88	305
M <sub>Ma</sub>	51.91	69.26	-7.69	69.68	354
N <sub>Ma</sub>	24.2	0.0	0.0	0.0	0
W <sub>Ma</sub>	95.41	0.0	0.0	0.0	0
R <sub>CIE</sub>	44.36	53.97	24.82	59.4	25
J <sub>CIE</sub>	82.39	-1.99	62.34	62.37	92
G <sub>CIE</sub>	55.68	-38.87	10.82	40.36	164
B <sub>CIE</sub>	35.76	1.06	-43.09	43.11	271

### Ausgabe: Farbmétrisches Offset-Reflektiv-System ORS18

für Buntton  $h^* = lab^*h = 96/360 = 0.268$

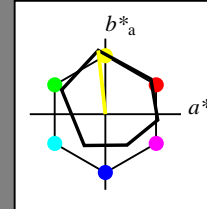
$lab^*tch$  und  $lab^*nch$

D65: Buntton Y

LCH\*Ma: 91 85 96

olv\*Ma: 1.0 1.0 0.0

Dreiecks-Helligkeit  $t^*$



%Umfang

$u^*_{rel} = 85$

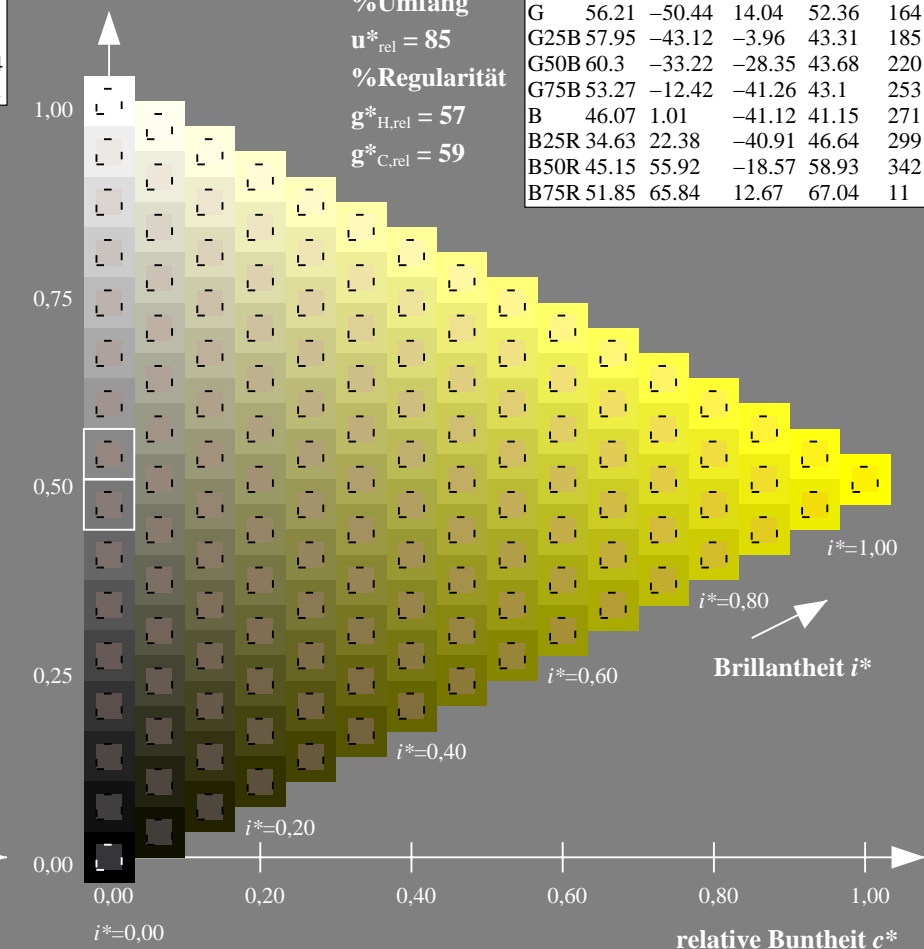
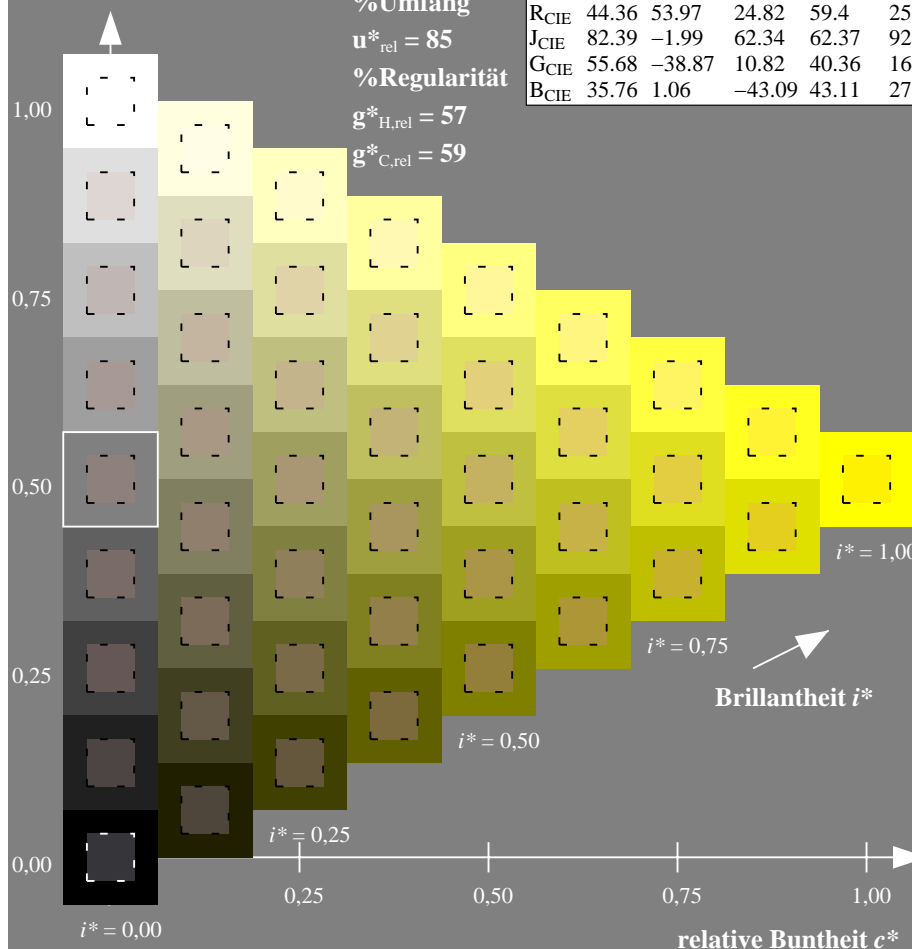
%Regularität

$g^*_{H,rel} = 57$

$g^*_{C,rel} = 59$

#### ORS18; adaptierte CIELAB-Daten

	$L^*=L^*_a$	$a^*_a$	$b^*_a$	$C^*_{ab,a}$	$h^*_{ab,a}$
R	51.79	63.09	29.02	69.44	25
R25J	53.73	56.6	48.42	74.48	41
R50J	65.47	35.67	59.82	69.65	59
R75J	76.51	15.98	70.55	72.34	77
J	86.93	-2.58	80.67	80.71	92
J25G	84.92	-17.23	75.99	77.92	103
J50G	73.11	-32.96	59.0	67.58	119
J75G	60.06	-50.34	40.22	64.44	141
G	56.21	-50.44	14.04	52.36	164
G25B	57.95	-43.12	-3.96	43.31	185
G50B	60.3	-33.22	-28.35	43.68	220
G75B	53.27	-12.42	-41.26	43.1	253
B	46.07	1.01	-41.12	41.15	271
B25R	34.63	22.38	-40.91	46.64	299
B50R	45.15	55.92	-18.57	58.93	342
B75R	51.85	65.84	12.67	67.04	11



**Eingabe: Farbmétrisches Offset-Reflektiv-System ORS18**

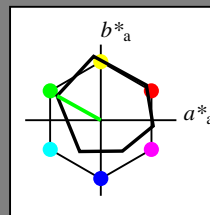
für Buntton  $h^* = lab^*h = 151/360 = 0.419$

***lab\*tch* und *lab\*nch***

D65: Buntton L

**LCH\*Ma: 54 66 151**

**olv\*Ma: 0.0 1.0 0.0**



### Dreiecks-Helligkeit $t^*$

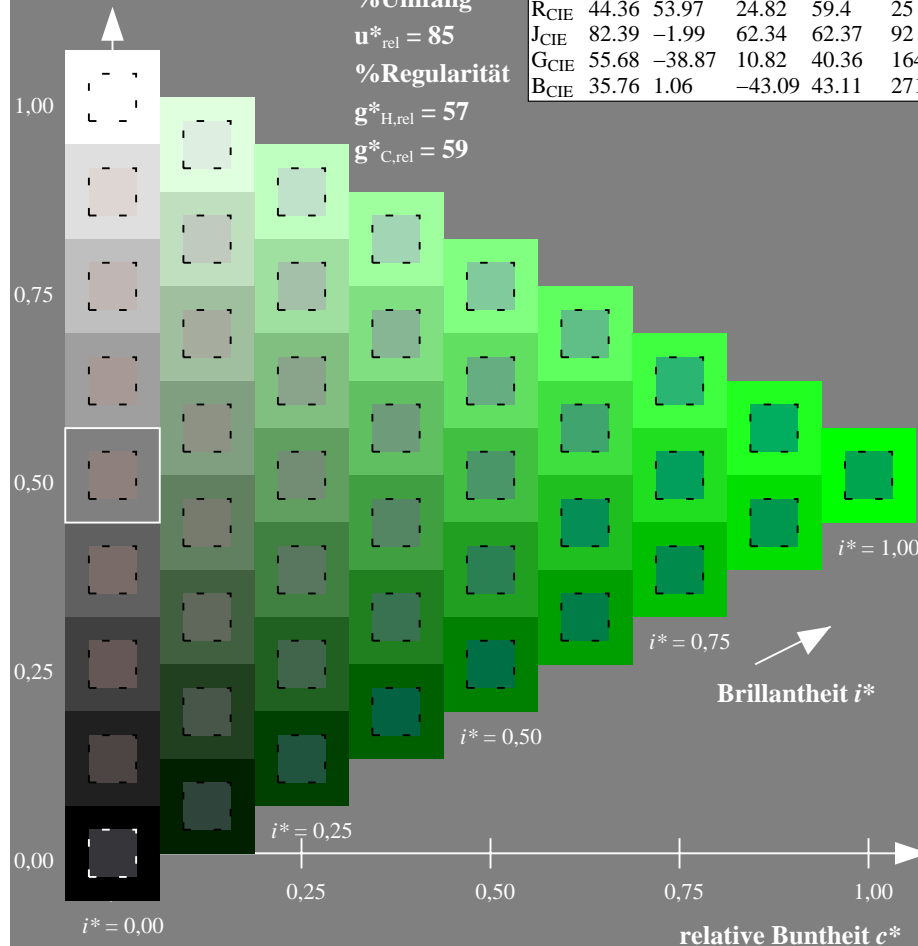
**%Umfang**

$$\mathbf{u}_{\text{rel}}^* = 85$$

### %Regularität

$$g^*_{H,rel} = 57$$

**$g^*_{C,rel} = 59$**



ZG820–7F, 9stufige Reihen für konstanten CIELAB Buntton  $151/360 = 0.419$  (links)

Seite 3/60

BAM-Prüfvorlage ZG82; Farbmimetrik-Systeme, Seite 3/60

## D65: 9 und 16stufige Farbreihen für 10 Bunttöne

**Ausgabe: Farbmétrisches Offset-Reflektiv-System ORS18**

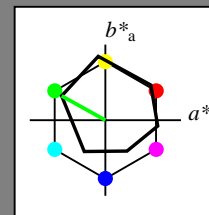
für Buntton  $h^* = lab^*h = 151/360 = 0.419$

**lab\*tch und lab\*nch**

D65: Buntton L

LCH\*Ma: 54 66 151

olv\*Ma: 0.0 1.0 0.0

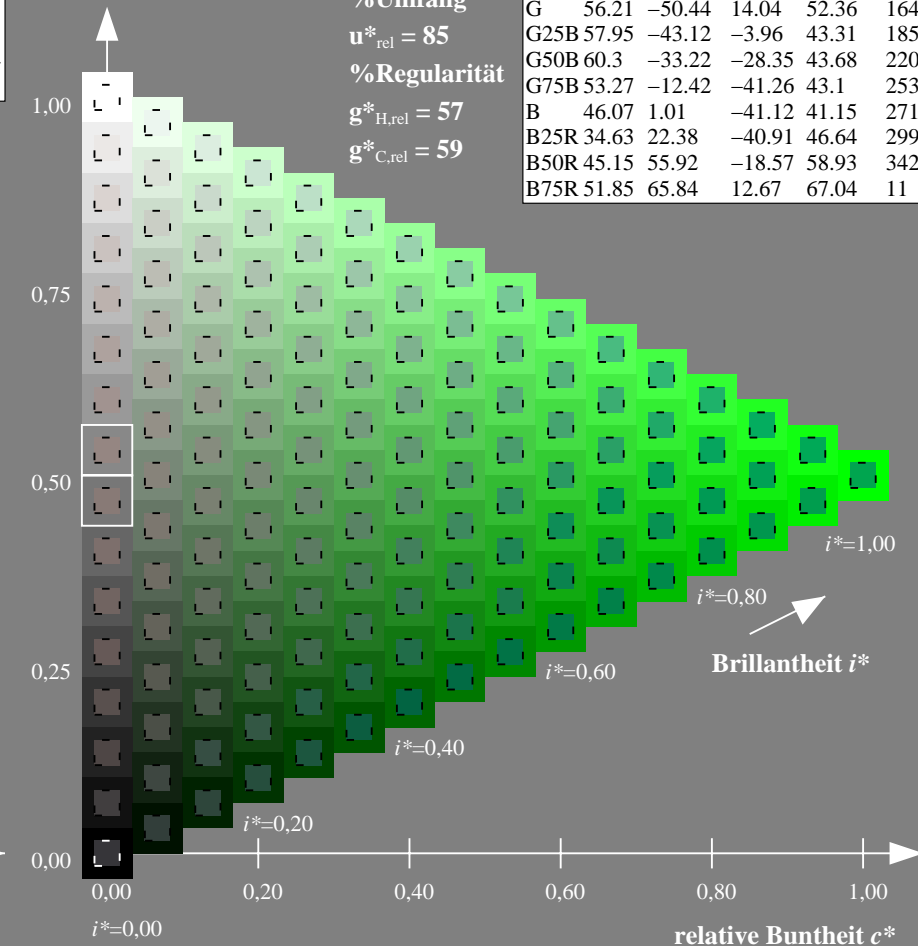


### Dreiecks-Helligkeit $t^*$

**%Umfang**

$$\mathbf{u}_{\text{rel}}^* = 85$$

## %Regularität

$$g^*_{H,rel} = 57$$
$$g^*_{C,rel} = 59$$


ZG820-7F, 16stufige Reihen für konstanten CIELAB Buntton  $151/360 = 0.419$  (rechts)

3/60 Eingabe: *rgb / cmy0 set(rgb/cmyk)color*

Ausgabe: keine Eingabeänderung

## Eingabe: Farbmétrisches Offset-Reflektiv-System ORS18

für Buntton  $h^* = lab^*h = 236/360 = 0.656$

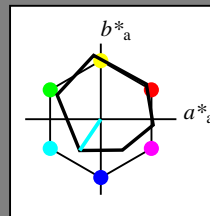
*lab\*tch* und *lab\*nch*

## D65: Buntton C

**LCH\*Ma: 62 50 236**

**olv\*Ma: 0.0 1.0 1.0**

### Dreiecks-Helligkeit $t^*$



**%Umfang**

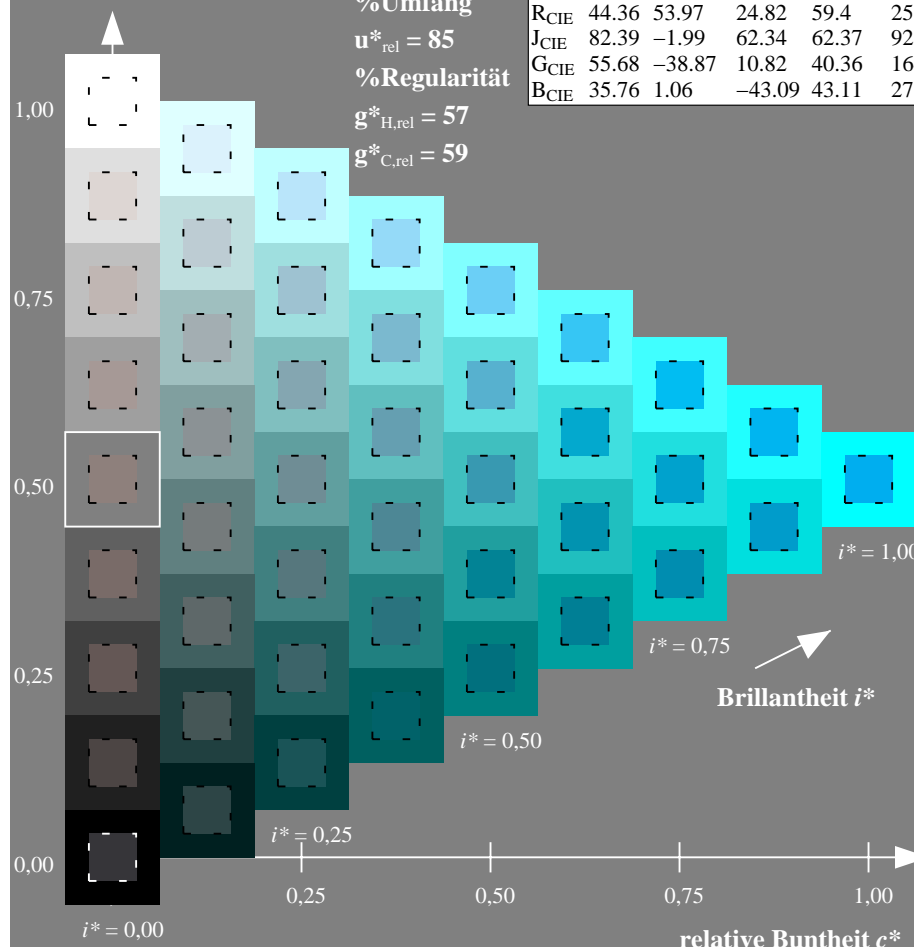
$$\mathbf{u}_{\text{rel}}^* = 85$$

### %Regularität

$$g^*_{H_{rel}} = 57$$

■  $g^*_{C_{rel}} = 59$

ORS18; adaptierte CIELAB-Daten					
	$L^* = L_a^*$	$a^*_a$	$b^*_a$	$C^*_{ab,a}$	$h^*_{ab,a}$
O <sub>Ma</sub>	51.74	60.16	46.48	76.02	38
Y <sub>Ma</sub>	90.77	-9.44	84.41	84.94	96
L <sub>Ma</sub>	54.46	-57.8	32.16	66.15	151
C <sub>Ma</sub>	61.56	-27.91	-41.41	49.95	236
V <sub>Ma</sub>	31.3	28.61	-40.85	49.88	305
M <sub>Ma</sub>	51.91	69.26	-7.69	69.68	354
N <sub>Ma</sub>	24.2	0.0	0.0	0.0	0
W <sub>Ma</sub>	95.41	0.0	0.0	0.0	0
R <sub>CIE</sub>	44.36	53.97	24.82	59.4	25
J <sub>CIE</sub>	82.39	-1.99	62.34	62.37	92
G <sub>CIE</sub>	55.68	-38.87	10.82	40.36	164
B <sub>CIE</sub>	35.76	1.06	-43.09	43.11	271



ZG820-7F, 9stufige Reihen für konstanten CIELAB Buntton  $236/360 = 0.656$  (links) Seite 4/60

BAM-Prüfvorlage ZG82; Farbmimetrik-Systeme, Seite 4/60  
D65: 9 und 16stufige Farbreihen für 10 Bunntöne

**Ausgabe: Farbmétrisches Offset-Reflektiv-System ORS18**

**für Buntton  $h^* = lab^*h = 236/360 = 0.656$**

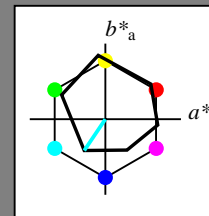
*lab\*tch* und *lab\*nch*

## D65: Buntton C

LCH\*Ma: 62 50 236

olv\*Ma: 0.0 1.0 1.0

### Dreiecks-Helligkeit $t^*$



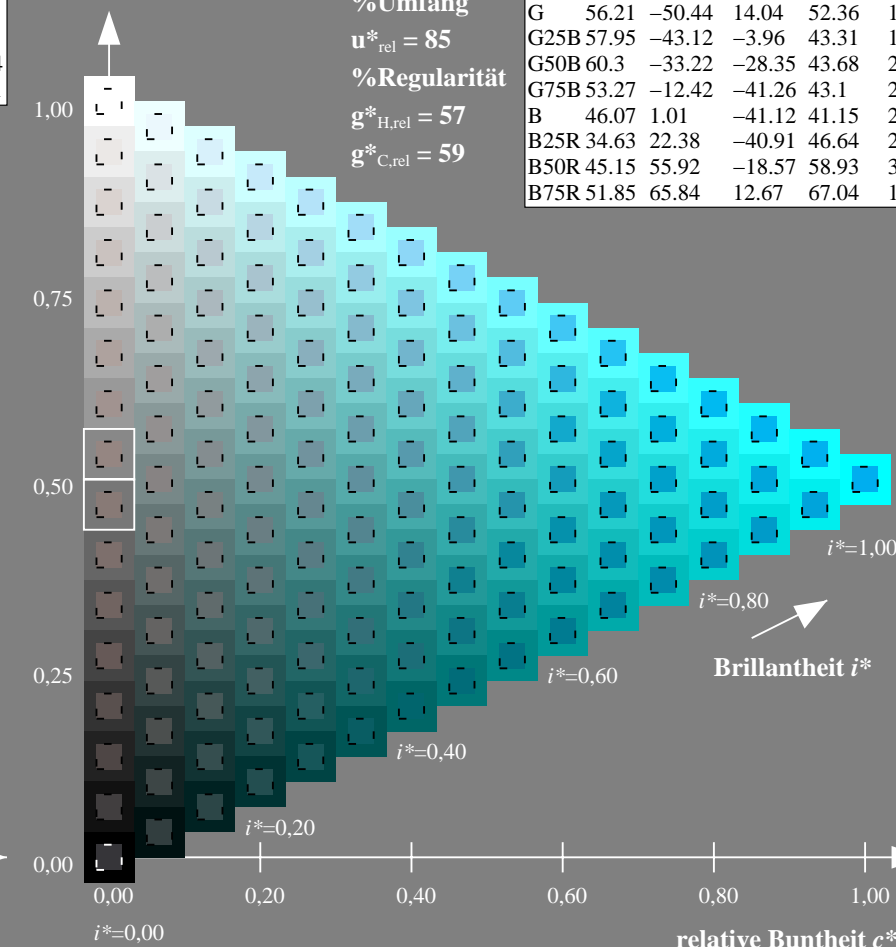
**%Umfang**

$$\mathbf{u}_{\text{rel}}^* = 85$$

### %Regularität

$$\mathbf{g}_{\text{H rel}}^* = 57$$
$$g^*_{C_{rel}} = 59$$

ORS18; adaptierte CIELAB-Daten					
	$L^*_a$	$a^*_a$	$b^*_a$	$C^*_{ab,a}$	$h^*_{ab,a}$
R	51.79	63.09	29.02	69.44	25.3
R25J	53.73	56.6	48.42	74.48	41.1
R50J	65.47	35.67	59.82	69.65	59.2
R75J	76.51	15.98	70.55	72.34	77.1
J	86.93	-2.58	80.67	80.71	92.1
J25G	84.92	-17.23	75.99	77.92	103.1
J50G	73.11	-32.96	59.0	67.58	119.1
J75G	60.06	-50.34	40.22	64.44	141.1
G	56.21	-50.44	14.04	52.36	164.1
G25B	57.95	-43.12	-3.96	43.31	185.1
G50B	60.3	-33.22	-28.35	43.68	220.1
G75B	53.27	-12.42	-41.26	43.1	253.1
B	46.07	1.01	-41.12	41.15	271.1
B25R	34.63	22.38	-40.91	46.64	299.1
B50R	45.15	55.92	-18.57	58.93	342.1
B75R	51.85	65.84	12.67	67.04	392.1



ZG820-7F, 16stufige Reihen für konstanten CIELAB Buntton  $236/360 = 0.656$  (rechts)

Eingabe: *rgb / cmy0 set(rgb/cmyk)color*  
Ausgabe: keine Eingabeänderung

### Eingabe: Farbmétrisches Offset-Reflektiv-System ORS18

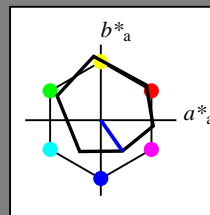
**für Buntton  $h^* = lab^*h = 305/360 = 0.847$**

*lab\*tch* und *lab\*nch*

### D65: Buntton V

**LCH\*Ma: 31 50 305**

**olv\*Ma: 0.0 0.0 1.0**



### Dreiecks-Helligkeit $t^*$

**%Umfang**

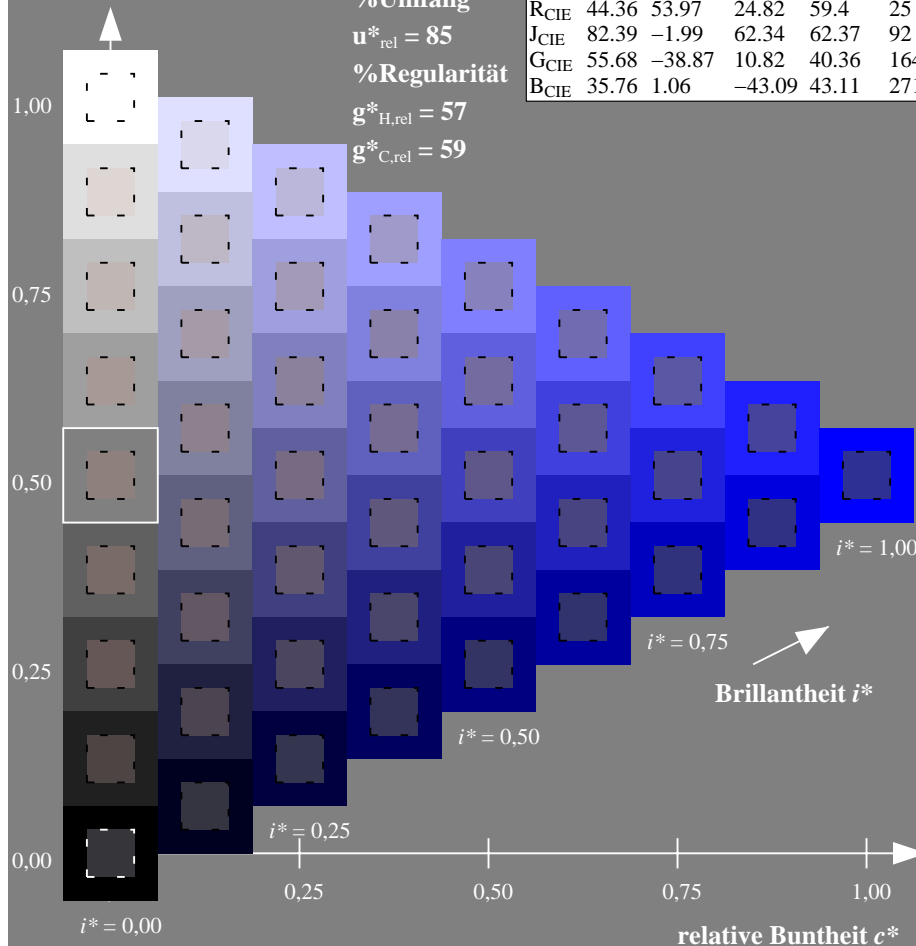
$$\mathbf{u}_{\text{rel}}^* = 85$$

### %Regularität

$$g^*_{H_{rel}} = 57$$

**g\*<sub>C rel</sub> = 59**

100



ZG820-7F, 9stufige Reihen für konstanten CIELAB Buntton  $305/360 = 0.847$  (links)

Seite 5/60

BAM-Prüfvorlage ZG82: Farbmetrik-Systeme. Seite 5/60

## D65: 9 und 16stufige Farbreihen für 10 Bunttöne

**Ausgabe: Farbmétrisches Offset-Reflektiv-System ORS18**

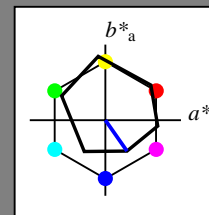
**für Buntton**  $h^* = lab^*h = 305/360 = 0.847$

**lab\*tch und lab\*nch**

### D65: Buntton V

LCH\*Ma: 31 50 305

olv\*Ma: 0.0 0.0 1.0

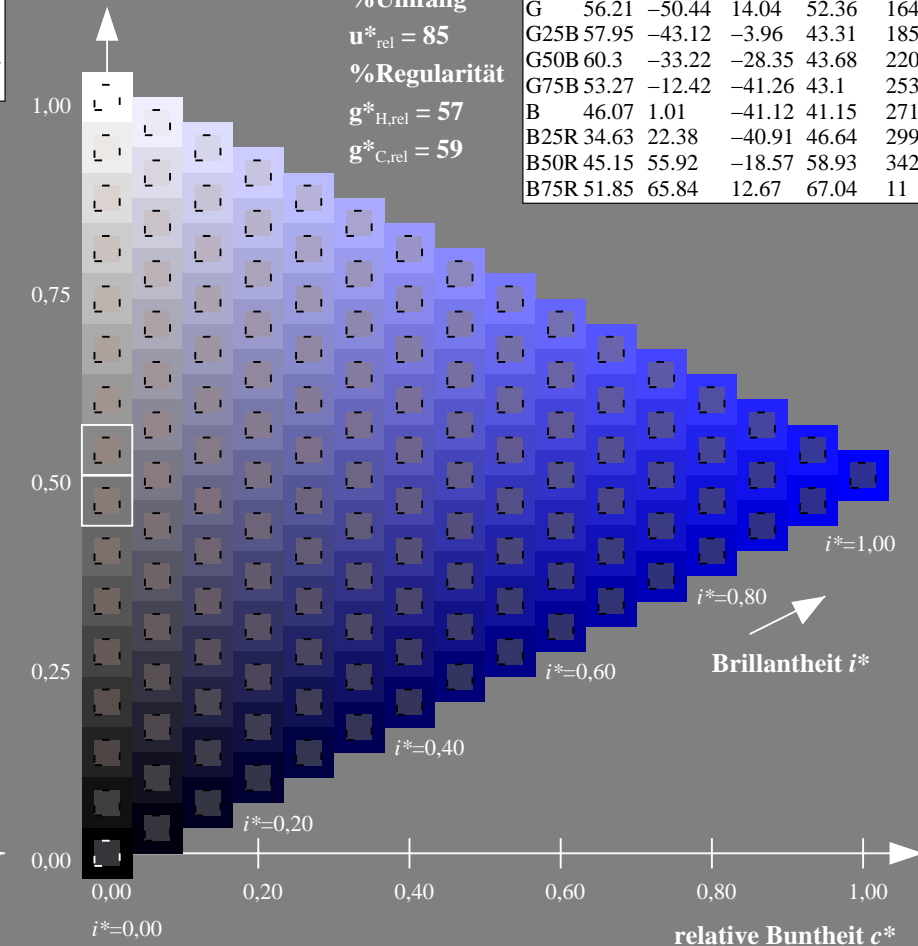


### Dreiecks-Helligkeit $t^*$

## %Umfang

$$\mathbf{u}_{\text{rel}}^* = 85$$

## %Regularität

$$g^*_{H_{rel}} = 57$$
$$g^*_{C_{rel}} = 59$$


ZG820-7F, 16stufige Reihen für konstanten CIELAB Buntton  $305/360 = 0.847$  (rechts)

5/60 Eingabe: *rgb / cmv0 set(rgb/cmyk)color*

Ausgabe: keine Eingabeänderung

Eingabe: Farbmétrisches Offset-Reflektiv-System ORS18

für Buntton  $h^* = lab^*h = 354/360 = 0.982$

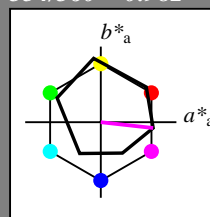
$lab^*tch$  und  $lab^*nch$

D65: Buntton M

LCH\*Ma: 52 70 354

olv\*Ma: 1.0 0.0 1.0

Dreiecks-Helligkeit  $t^*$



%Umfang

$u^*_{rel} = 85$

%Regularität

$g^*_{H,rel} = 57$

$g^*_{C,rel} = 59$

ORS18; adaptierte CIELAB-Daten	$L^*=L^*_a$	$a^*_a$	$b^*_a$	$C^*_{ab,a}$	$h^*_{ab,a}$
O <sub>Ma</sub>	51.74	60.16	46.48	76.02	38
Y <sub>Ma</sub>	90.77	-9.44	84.41	84.94	96
L <sub>Ma</sub>	54.46	-57.8	32.16	66.15	151
C <sub>Ma</sub>	61.56	-27.91	-41.41	49.95	236
V <sub>Ma</sub>	31.3	28.61	-40.85	49.88	305
M <sub>Ma</sub>	51.91	69.26	-7.69	69.68	354
N <sub>Ma</sub>	24.2	0.0	0.0	0.0	0
W <sub>Ma</sub>	95.41	0.0	0.0	0.0	0
R <sub>CIE</sub>	44.36	53.97	24.82	59.4	25
J <sub>CIE</sub>	82.39	-1.99	62.34	62.37	92
G <sub>CIE</sub>	55.68	-38.87	10.82	40.36	164
B <sub>CIE</sub>	35.76	1.06	-43.09	43.11	271

Ausgabe: Farbmétrisches Offset-Reflektiv-System ORS18

für Buntton  $h^* = lab^*h = 354/360 = 0.982$

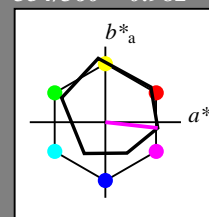
$lab^*tch$  und  $lab^*nch$

D65: Buntton M

LCH\*Ma: 52 70 354

olv\*Ma: 1.0 0.0 1.0

Dreiecks-Helligkeit  $t^*$



%Umfang

$u^*_{rel} = 85$

%Regularität

$g^*_{H,rel} = 57$

$g^*_{C,rel} = 59$

ORS18; adaptierte CIELAB-Daten	$L^*=L^*_a$	$a^*_a$	$b^*_a$	$C^*_{ab,a}$	$h^*_{ab,a}$
R	51.79	63.09	29.02	69.44	25
R25J	53.73	56.6	48.42	74.48	41
R50J	65.47	35.67	59.82	69.65	59
R75J	76.51	15.98	70.55	72.34	77
J	86.93	-2.58	80.67	80.71	92
J25G	84.92	-17.23	75.99	77.92	103
J50G	73.11	-32.96	59.0	67.58	119
J75G	60.06	-50.34	40.22	64.44	141
G	56.21	-50.44	14.04	52.36	164
G25B	57.95	-43.12	-3.96	43.31	185
G50B	60.3	-33.22	-28.35	43.68	220
G75B	53.27	-12.42	-41.26	43.1	253
B	46.07	1.01	-41.12	41.15	271
B25R	34.63	22.38	-40.91	46.64	299
B50R	45.15	55.92	-18.57	58.93	342
B75R	51.85	65.84	12.67	67.04	11

$i^* = 1.00$

$i^* = 0.80$

$i^* = 0.60$

$i^* = 0.40$

$i^* = 0.20$

Brillantheit  $i^*$

relative Buntheit  $c^*$

Brillantheit  $i^*$

relative Buntheit  $c^*$

ZG820-7F, 9stufige Reihen für konstanten CIELAB Buntton 354/360 = 0.982 (links)

Seite 6/60

ZG820-7F, 16stufige Reihen für konstanten CIELAB Buntton 354/360 = 0.982 (rechts)

BAM-Prüfvorlage ZG82; Farbmétrik-Systeme, Seite 6/60

D65: 9 und 16stufige Farbreihen für 10 Bunttöne

Eingabe:  $rgb / cmy0\ set(rgb/cmyk)color$

Ausgabe: keine Eingabeänderung



### Eingabe: Farbmétrisches Offset-Reflektiv-System ORS18

für Buntton  $h^* = lab^*h = 25/360 = 0.069$

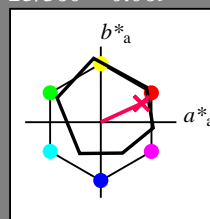
$lab^*tch$  und  $lab^*nch$

D65: Buntton R

LCH\*Ma: 52 69 25

olv\*Ma: 1.0 0.0 0.32

Dreiecks-Helligkeit  $t^*$



%Umfang

$u^*_{rel} = 85$

%Regularität

$g^*_{H,rel} = 57$

$g^*_{C,rel} = 59$

#### ORS18; adaptierte CIELAB-Daten

	$L^*=L^*_a$	$a^*_a$	$b^*_a$	$C^*_{ab,a}$	$h^*_{ab,a}$
O <sub>Ma</sub>	51.74	60.16	46.48	76.02	38
Y <sub>Ma</sub>	90.77	-9.44	84.41	84.94	96
L <sub>Ma</sub>	54.46	-57.8	32.16	66.15	151
C <sub>Ma</sub>	61.56	-27.91	-41.41	49.95	236
V <sub>Ma</sub>	31.3	28.61	-40.85	49.88	305
M <sub>Ma</sub>	51.91	69.26	-7.69	69.68	354
N <sub>Ma</sub>	24.2	0.0	0.0	0.0	0
W <sub>Ma</sub>	95.41	0.0	0.0	0.0	0
R <sub>CIE</sub>	44.36	53.97	24.82	59.4	25
J <sub>CIE</sub>	82.39	-1.99	62.34	62.37	92
G <sub>CIE</sub>	55.68	-38.87	10.82	40.36	164
B <sub>CIE</sub>	35.76	1.06	-43.09	43.11	271

### Ausgabe: Farbmétrisches Offset-Reflektiv-System ORS18

für Buntton  $h^* = lab^*h = 25/360 = 0.069$

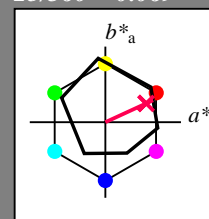
$lab^*tch$  und  $lab^*nch$

D65: Buntton R

LCH\*Ma: 52 69 25

olv\*Ma: 1.0 0.0 0.32

Dreiecks-Helligkeit  $t^*$



%Umfang

$u^*_{rel} = 85$

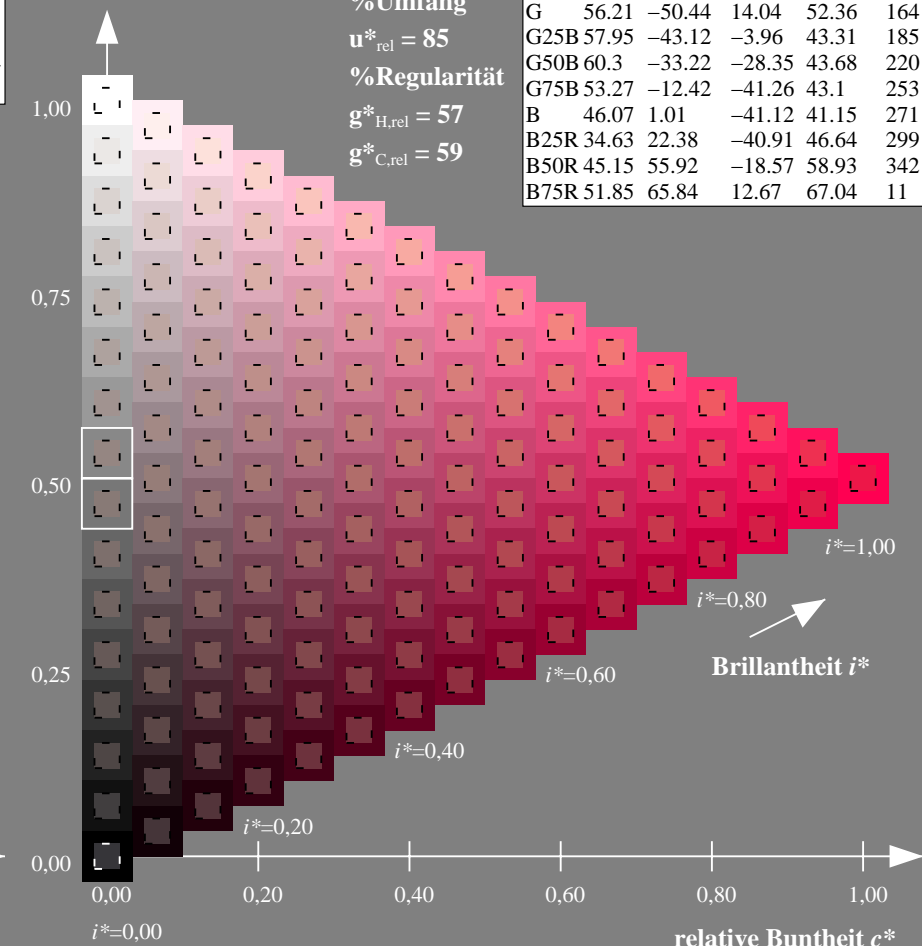
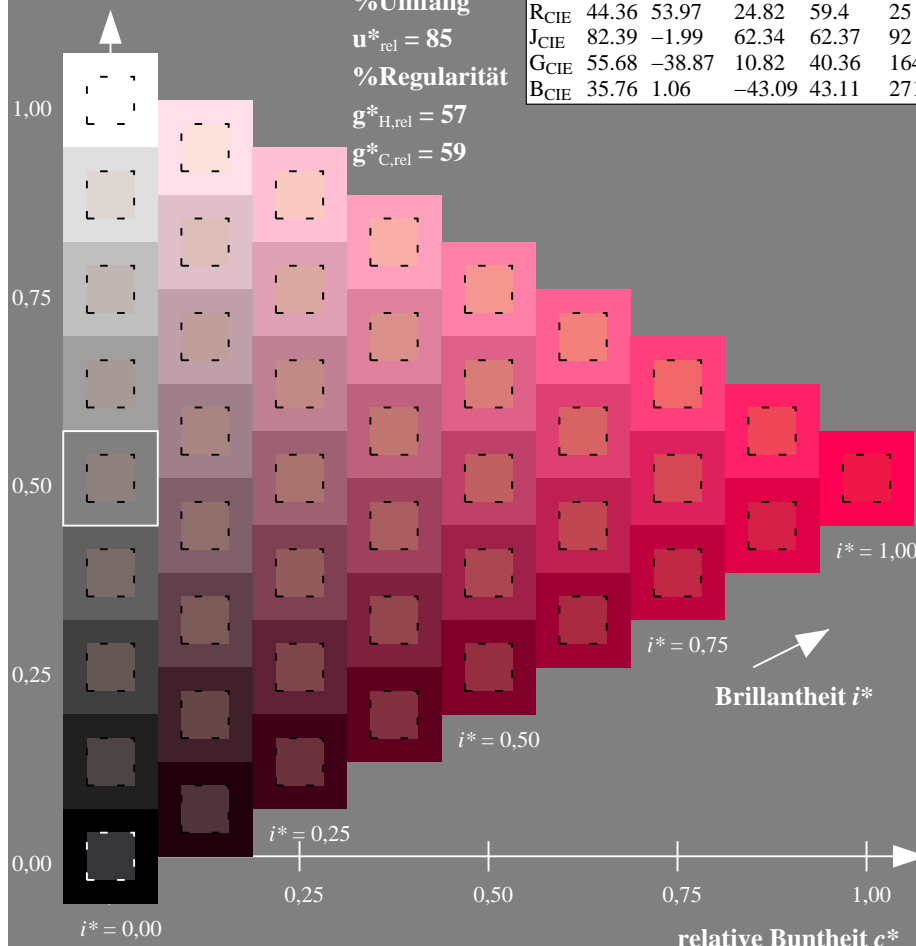
%Regularität

$g^*_{H,rel} = 57$

$g^*_{C,rel} = 59$

#### ORS18; adaptierte CIELAB-Daten

	$L^*=L^*_a$	$a^*_a$	$b^*_a$	$C^*_{ab,a}$	$h^*_{ab,a}$
R	51.79	63.09	29.02	69.44	25
R25J	53.73	56.6	48.42	74.48	41
R50J	65.47	35.67	59.82	69.65	59
R75J	76.51	15.98	70.55	72.34	77
J	86.93	-2.58	80.67	80.71	92
J25G	84.92	-17.23	75.99	77.92	103
J50G	73.11	-32.96	59.0	67.58	119
J75G	60.06	-50.34	40.22	64.44	141
G	56.21	-50.44	14.04	52.36	164
G25B	57.95	-43.12	-3.96	43.31	185
G50B	60.3	-33.22	-28.35	43.68	220
G75B	53.27	-12.42	-41.26	43.1	253
B	46.07	1.01	-41.12	41.15	271
B25R	34.63	22.38	-40.91	46.64	299
B50R	45.15	55.92	-18.57	58.93	342
B75R	51.85	65.84	12.67	67.04	11



ZG820-7F, 9stufige Reihen für konstanten CIELAB Buntton 25/360 = 0.069 (links)

Seite 7/60

ZG820-7F, 16stufige Reihen für konstanten CIELAB Buntton 25/360 = 0.069 (rechts)

BAM-Prüfvorlage ZG82; Farbmétrik-Systeme, Seite 7/60

D65: 9 und 16stufige Farbreihen für 10 Bunttöne

Eingabe:  $rgb / cmy0$  set( $rgb/cmyk$ )color

Ausgabe: keine Eingabeänderung

### Eingabe: Farbmétrisches Offset-Reflektiv-System ORS18

für Buntton  $h^* = lab^*h = 92/360 = 0.255$

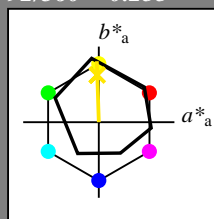
$lab^*tch$  und  $lab^*nch$

D65: Buntton J

LCH\*Ma: 87 81 92

olv\*Ma: 1.0 0.9 0.0

Dreiecks-Helligkeit  $t^*$



%Umfang

$u^*_{rel} = 85$

%Regularität

$g^*_{H,rel} = 57$

$g^*_{C,rel} = 59$

ORS18; adaptierte CIELAB-Daten	$L^*=L^*_a$	$a^*_a$	$b^*_a$	$C^*_{ab,a}$	$h^*_{ab,a}$
O <sub>Ma</sub>	51.74	60.16	46.48	76.02	38
Y <sub>Ma</sub>	90.77	-9.44	84.41	84.94	96
L <sub>Ma</sub>	54.46	-57.8	32.16	66.15	151
C <sub>Ma</sub>	61.56	-27.91	-41.41	49.95	236
V <sub>Ma</sub>	31.3	28.61	-40.85	49.88	305
M <sub>Ma</sub>	51.91	69.26	-7.69	69.68	354
N <sub>Ma</sub>	24.2	0.0	0.0	0.0	0
W <sub>Ma</sub>	95.41	0.0	0.0	0.0	0
R <sub>CIE</sub>	44.36	53.97	24.82	59.4	25
J <sub>CIE</sub>	82.39	-1.99	62.34	62.37	92
G <sub>CIE</sub>	55.68	-38.87	10.82	40.36	164
B <sub>CIE</sub>	35.76	1.06	-43.09	43.11	271

### Ausgabe: Farbmétrisches Offset-Reflektiv-System ORS18

für Buntton  $h^* = lab^*h = 92/360 = 0.255$

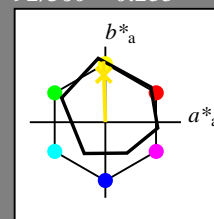
$lab^*tch$  und  $lab^*nch$

D65: Buntton J

LCH\*Ma: 87 81 92

olv\*Ma: 1.0 0.9 0.0

Dreiecks-Helligkeit  $t^*$



%Umfang

$u^*_{rel} = 85$

%Regularität

$g^*_{H,rel} = 57$

$g^*_{C,rel} = 59$

ORS18; adaptierte CIELAB-Daten	$L^*=L^*_a$	$a^*_a$	$b^*_a$	$C^*_{ab,a}$	$h^*_{ab,a}$
R	51.79	63.09	29.02	69.44	25
R25J	53.73	56.6	48.42	74.48	41
R50J	65.47	35.67	59.82	69.65	59
R75J	76.51	15.98	70.55	72.34	77
J	86.93	-2.58	80.67	80.71	92
J25G	84.92	-17.23	75.99	77.92	103
J50G	73.11	-32.96	59.0	67.58	119
J75G	60.06	-50.34	40.22	64.44	141
G	56.21	-50.44	14.04	52.36	164
G25B	57.95	-43.12	-3.96	43.31	185
G50B	60.3	-33.22	-28.35	43.68	220
G75B	53.27	-12.42	-41.26	43.1	253
B	46.07	1.01	-41.12	41.15	271
B25R	34.63	22.38	-40.91	46.64	299
B50R	45.15	55.92	-18.57	58.93	342
B75R	51.85	65.84	12.67	67.04	11

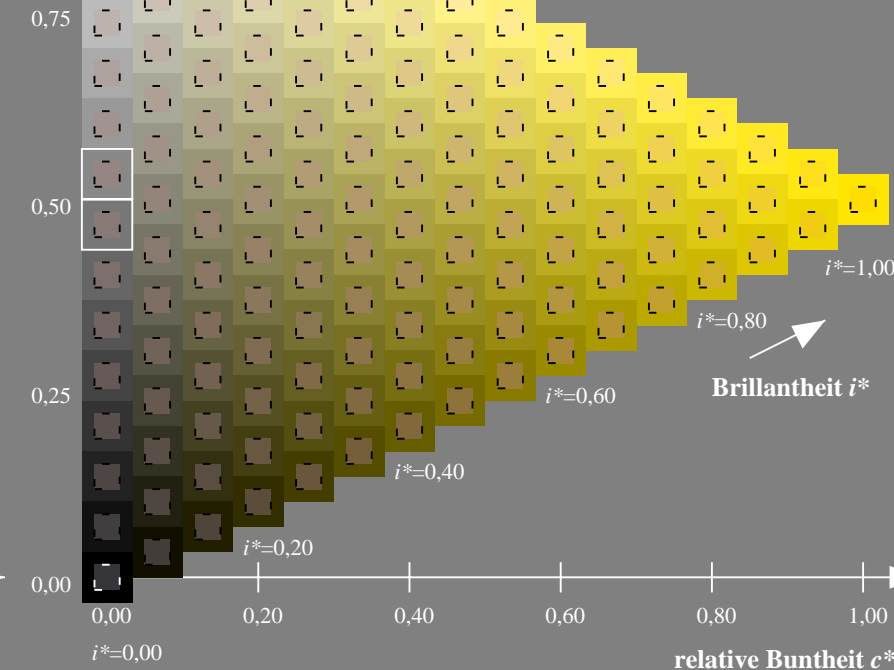
%Umfang

$u^*_{rel} = 85$

%Regularität

$g^*_{H,rel} = 57$

$g^*_{C,rel} = 59$



ZG820-7F, 9stufige Reihen für konstanten CIELAB Buntton 92/360 = 0.255 (links)

Seite 8/60

ZG820-7F, 16stufige Reihen für konstanten CIELAB Buntton 92/360 = 0.255 (rechts)

BAM-Prüfvorlage ZG82; Farbmétrik-Systeme, Seite 8/60

D65: 9 und 16stufige Farbreihen für 10 Bunttöne

Eingabe:  $rgb / cmy0 set(rgb/cmyk)color$

Ausgabe: keine Eingabeänderung



**Eingabe: Farbmétrisches Offset-Reflektiv-System ORS18**

für Buntton  $h^* = lab^*h = 164/360 = 0.457$

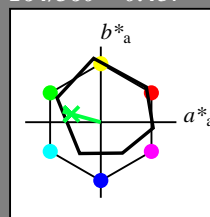
*lab\*tch* und *lab\*nch*

## D65: Buntton G

**LCH\*Ma: 56 52 164**

**olv\*Ma: 0.0 1.0 0.25**

### Dreiecks-Helligkeit $t^*$



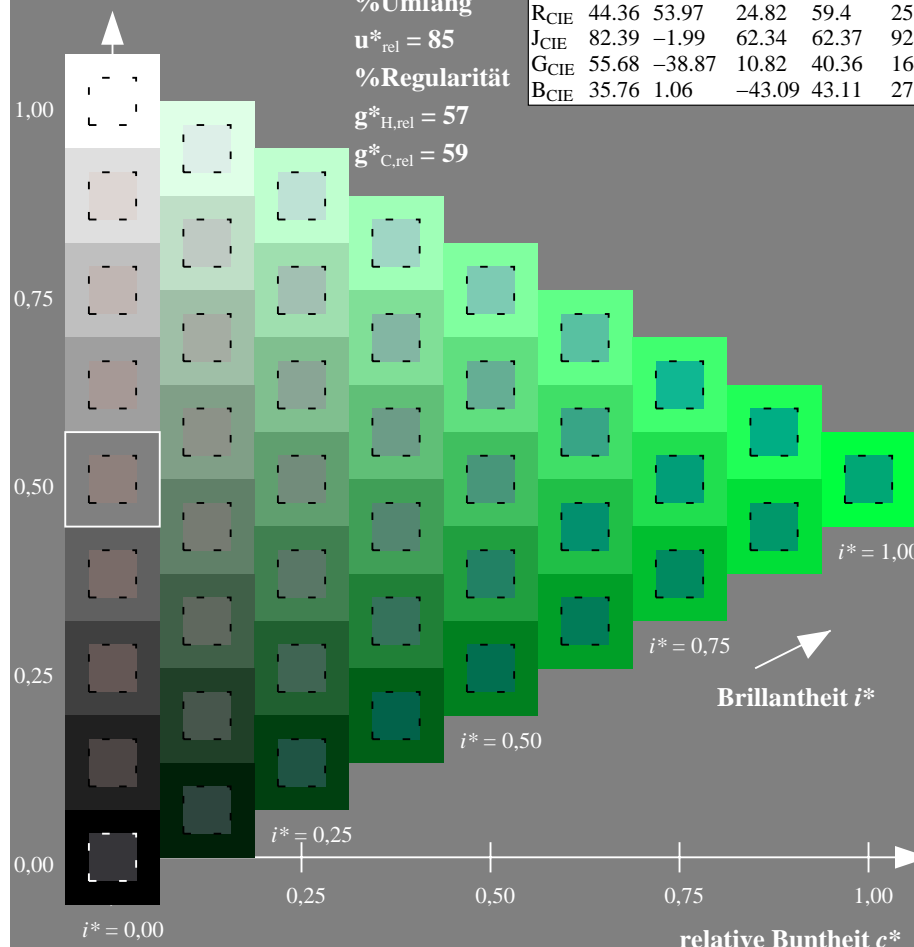
**%Umfang**

$$\mathbf{u}_{\text{rel}}^* = 85$$

### %Regularität

$$g^*_{H_{rel}} = 57$$

**$g^*_{C_{rel}} = 59$**

ZG820-7F, 9stufige Reihen für konstanten CIELAB Buntton  $164/360 = 0.457$  (links) Seite 9/60

BAM-Prüfvorlage ZG82; Farbmimetrik-Systeme, Seite 9/60  
D65: 9 und 16stufige Farbreihen für 10 Bunttöne

**Ausgabe: Farbmetrisches Offset-Reflektiv-System ORS18**

für Buntton  $h^* = lab^*h = 164/360 = 0.457$

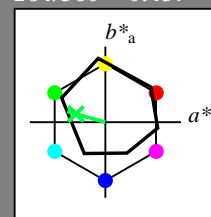
*lab\*tch* und *lab\*nch*

D65: Buntton G

LCH\*Ma: 56 52 164

olv\*Ma: 0.0 1.0 0.25

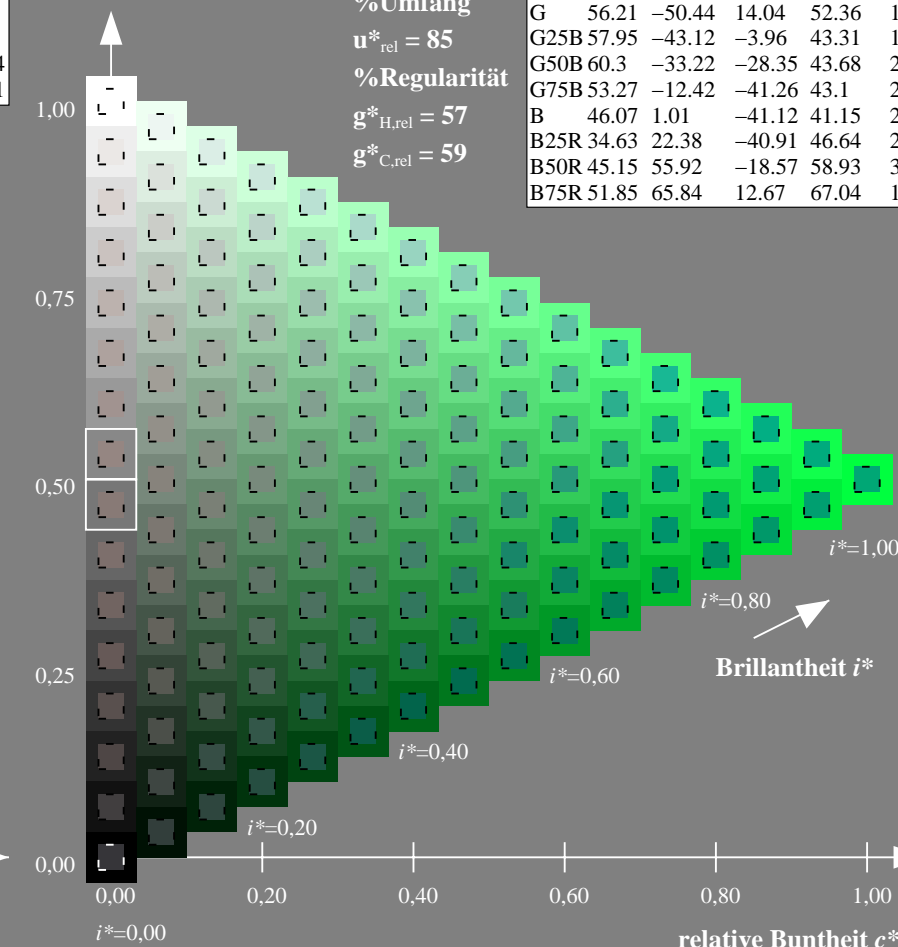
### Dreiecks-Helligkeit $t^*$



## %Umfang

$$\mathbf{u}_{\text{rel}}^* = 85$$

### %Regularität

$$g^*_{H_{rel}} = 57$$
$$g^*_{C_{rel}} = 59$$


ZG820-7F, 16stufige Reihen für konstanten CIELAB Buntton  $164/360 = 0.457$  (rechts)

Eingabe: *rgb / cmy0 set(rgb/cmyk)color*  
Ausgabe: keine Eingabeänderung

Siehe ähnliche Dateien: <http://www.ps.bam.de/ZG82/>, [www.ps.bam.de/ZG.HTM](http://www.ps.bam.de/ZG.HTM)  
Technische Information: <http://www.ps.bam.de> Version 2.1, io=1,1, CIELAB

BAM-Registrierung: 20071001-ZG82/10/L182G00FP.PS/.PDF BAM-Material: Code=rha4ta  
Anwendung für Beurteilung und Messung von Drucker- oder Monitorsystemen

### Eingabe: Farbmétrisches Offset-Reflektiv-System ORS18

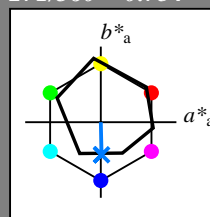
für Buntton  $h^* = l a h^* h = 271/360 = 0.754$

*lab\*tch* und *lab\*nch*

### D65: Buntton B

LCH\*Ma: 46 41 271

### Dreiecks-Helligkeit $t^*$



**%Umfang**

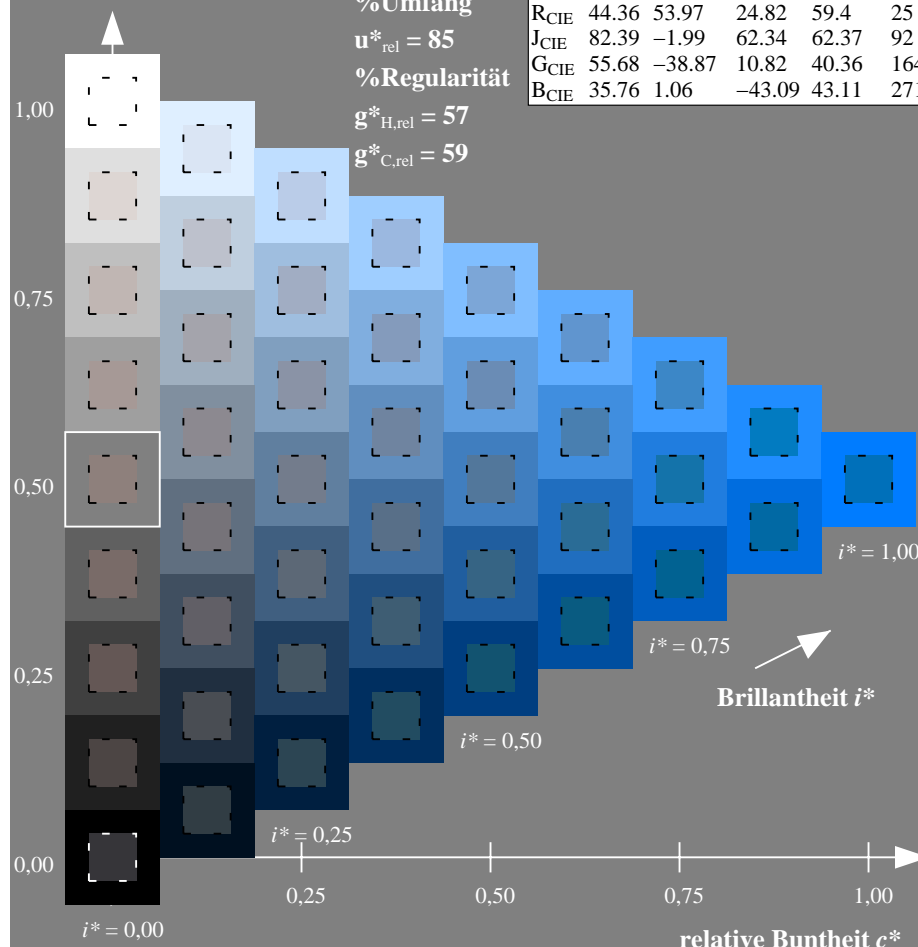
$$\mathbf{u}_{\text{rel}}^* = 85$$

### %Regularität

$$g^*_{H_{rel}} = 57$$

■  $g^*_{C_{rel}} = 59$

ORS18; adaptierte CIELAB-Daten					
	$L^* = L_a^*$	$a^*_a$	$b^*_a$	$C^*_{ab,a}$	$h^*_{ab,a}$
O <sub>Ma</sub>	51.74	60.16	46.48	76.02	38
Y <sub>Ma</sub>	90.77	-9.44	84.41	84.94	96
L <sub>Ma</sub>	54.46	-57.8	32.16	66.15	151
C <sub>Ma</sub>	61.56	-27.91	-41.41	49.95	236
V <sub>Ma</sub>	31.3	28.61	-40.85	49.88	305
M <sub>Ma</sub>	51.91	69.26	-7.69	69.68	354
N <sub>Ma</sub>	24.2	0.0	0.0	0.0	0
W <sub>Ma</sub>	95.41	0.0	0.0	0.0	0
R <sub>CIE</sub>	44.36	53.97	24.82	59.4	25
J <sub>CIE</sub>	82.39	-1.99	62.34	62.37	92
G <sub>CIE</sub>	55.68	-38.87	10.82	40.36	164
B <sub>CIE</sub>	35.76	1.06	-43.09	43.11	271

ZG820-7F, 9stufige Reihen für konstanten CIELAB Buntton  $271/360 = 0.754$  (links) Seite 10/60

BAM-Prüfvorlage ZG82; Farbmimetrik-Systeme, Seite 10/60 Eingabe: *rgb / cmy0 set(rgb/cmyk)color*  
D65: 9 und 16stufige Farbreihen für 10 Bunttöne Ausgabe: keine Eingabeänderung

**Ausgabe: Farbmétrisches Offset-Reflektiv-System ORS18**

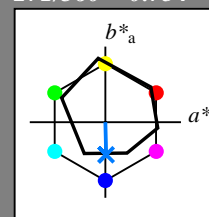
für Buntton  $h^* = lab^*h = 271/360 = 0.754$

**lab\*tch und lab\*nch**

**D65: Buntton B**

LCH\*Ma: 46 41 271

### Dreiecks-Helligkeit $t^*$



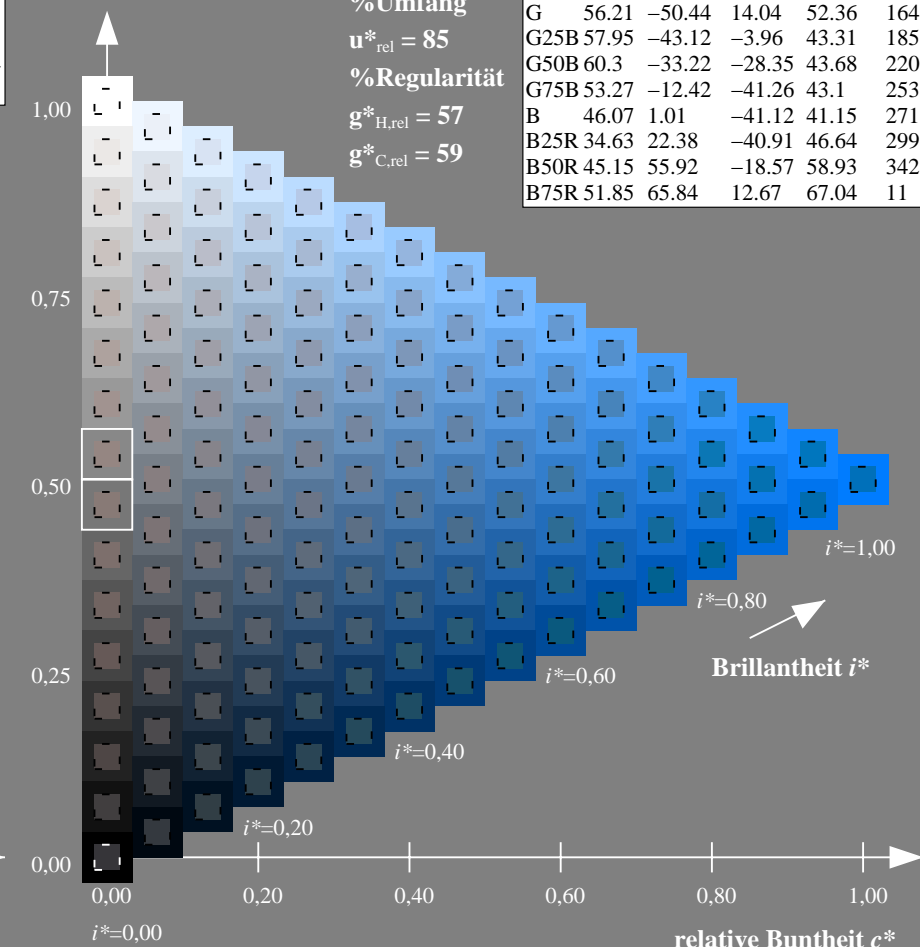
**%Umfang**

$$\mathbf{u}_{\text{rel}}^* = 85$$

### %Regularität

$$g^*_{H_{rel}} = 57$$
$$g^*_{C_{rel}} = 59$$

ORS18; adaptierte CIELAB-Daten					
	$L^*_a = L^*_a$	$a^*_a$	$b^*_a$	$C^*_{ab,a}$	$h^*_{ab,a}$
R	51.79	63.09	29.02	69.44	25
R25J	53.73	56.6	48.42	74.48	41
R50J	65.47	35.67	59.82	69.65	59
R75J	76.51	15.98	70.55	72.34	77
J	86.93	-2.58	80.67	80.71	92
J25G	84.92	-17.23	75.99	77.92	103
J50G	73.11	-32.96	59.0	67.58	119
J75G	60.06	-50.34	40.22	64.44	141
G	56.21	-50.44	14.04	52.36	164
G25B	57.95	-43.12	-3.96	43.31	185
G50B	60.3	-33.22	-28.35	43.68	220
G75B	53.27	-12.42	-41.26	43.1	253
B	46.07	1.01	-41.12	41.15	271
B25R	34.63	22.38	-40.91	46.64	299
B50R	45.15	55.92	-18.57	58.93	342
B75R	51.85	65.84	12.67	67.04	411

ZG820-7F, 16stufige Reihen für konstanten CIELAB Buntton  $271/360 = 0.754$  (rechts)

0) Eingabe: *rgb / cmy0 set(rgb/cmyk)color*  
Ausgabe: keine Eingabeänderung

Eingabe: Farbmimetrisches Offset-Reflektiv-System ORS18

für Buntton  $h^* = lab^*h = 38/360 = 0.105$

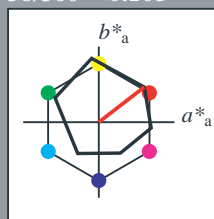
$lab^*tch$  und  $lab^*nch$

D65: Buntton O

LCH\*Ma: 52 76 38

olv\*Ma: 1.0 0.0 0.0

Dreiecks-Helligkeit  $t^*$



%Umfang

$u^*_{rel} = 85$

%Regularität

$g^*_{H,rel} = 57$

$g^*_{C,rel} = 59$

ORS18; adaptierte CIELAB-Daten	$L^*=L^*_a$	$a^*_a$	$b^*_a$	$C^*_{ab,a}$	$h^*_{ab,a}$
O <sub>Ma</sub>	51.74	60.16	46.48	76.02	38
Y <sub>Ma</sub>	90.77	-9.44	84.41	84.94	96
L <sub>Ma</sub>	54.46	-57.8	32.16	66.15	151
C <sub>Ma</sub>	61.56	-27.91	-41.41	49.95	236
V <sub>Ma</sub>	31.3	28.61	-40.85	49.88	305
M <sub>Ma</sub>	51.91	69.26	-7.69	69.68	354
N <sub>Ma</sub>	24.2	0.0	0.0	0.0	0
W <sub>Ma</sub>	95.41	0.0	0.0	0.0	0
R <sub>CIE</sub>	44.36	53.97	24.82	59.4	25
J <sub>CIE</sub>	82.39	-1.99	62.34	62.37	92
G <sub>CIE</sub>	55.68	-38.87	10.82	40.36	164
B <sub>CIE</sub>	35.76	1.06	-43.09	43.11	271

Ausgabe: Farbmimetrisches Offset-Reflektiv-System ORS18

für Buntton  $h^* = lab^*h = 38/360 = 0.105$

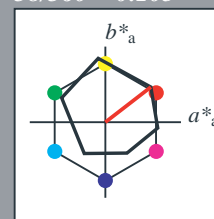
$lab^*tch$  und  $lab^*nch$

D65: Buntton O

LCH\*Ma: 52 76 38

olv\*Ma: 1.0 0.0 0.0

Dreiecks-Helligkeit  $t^*$



%Umfang

$u^*_{rel} = 85$

%Regularität

$g^*_{H,rel} = 57$

$g^*_{C,rel} = 59$

ORS18; adaptierte CIELAB-Daten	$L^*=L^*_a$	$a^*_a$	$b^*_a$	$C^*_{ab,a}$	$h^*_{ab,a}$
R	51.79	63.09	29.02	69.44	25
R25J	53.73	56.6	48.42	74.48	41
R50J	65.47	35.67	59.82	69.65	59
R75J	76.51	15.98	70.55	72.34	77
J	86.93	-2.58	80.67	80.71	92
J25G	84.92	-17.23	75.99	77.92	103
J50G	73.11	-32.96	59.0	67.58	119
J75G	60.06	-50.34	40.22	64.44	141
G	56.21	-50.44	14.04	52.36	164
G25B	57.95	-43.12	-3.96	43.31	185
G50B	60.3	-33.22	-28.35	43.68	220
G75B	53.27	-12.42	-41.26	43.1	253
B	46.07	1.01	-41.12	41.15	271
B25R	34.63	22.38	-40.91	46.64	299
B50R	45.15	55.92	-18.57	58.93	342
B75R	51.85	65.84	12.67	67.04	11

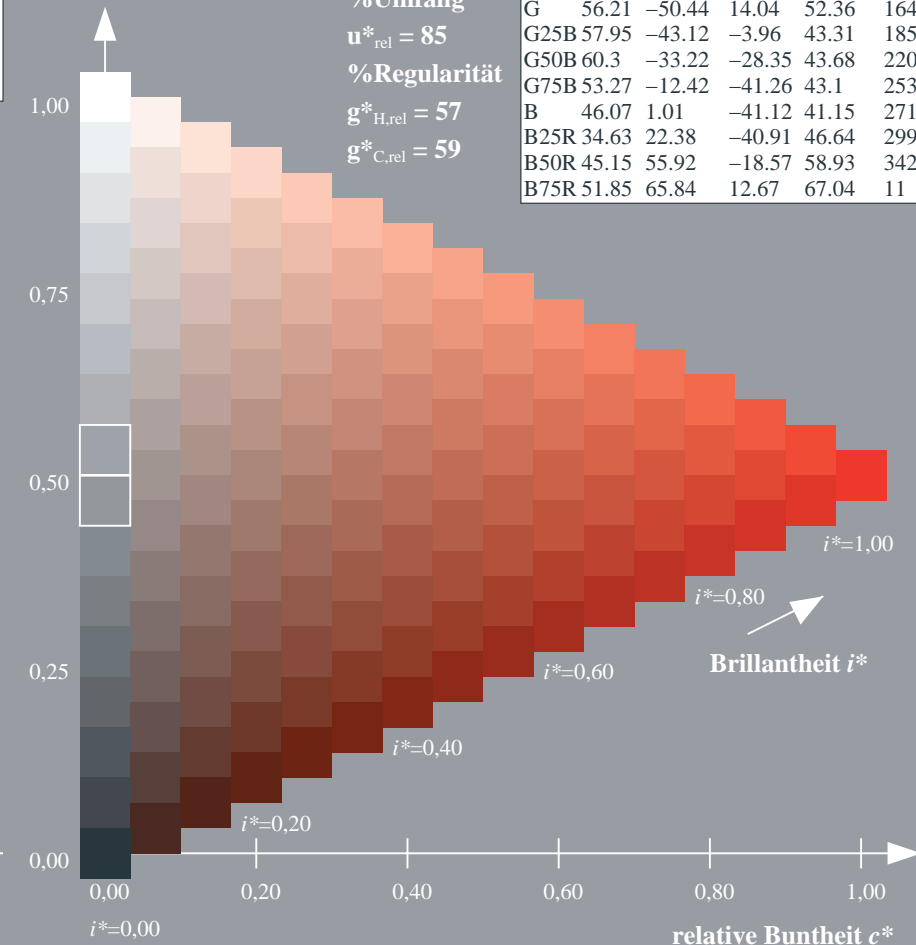
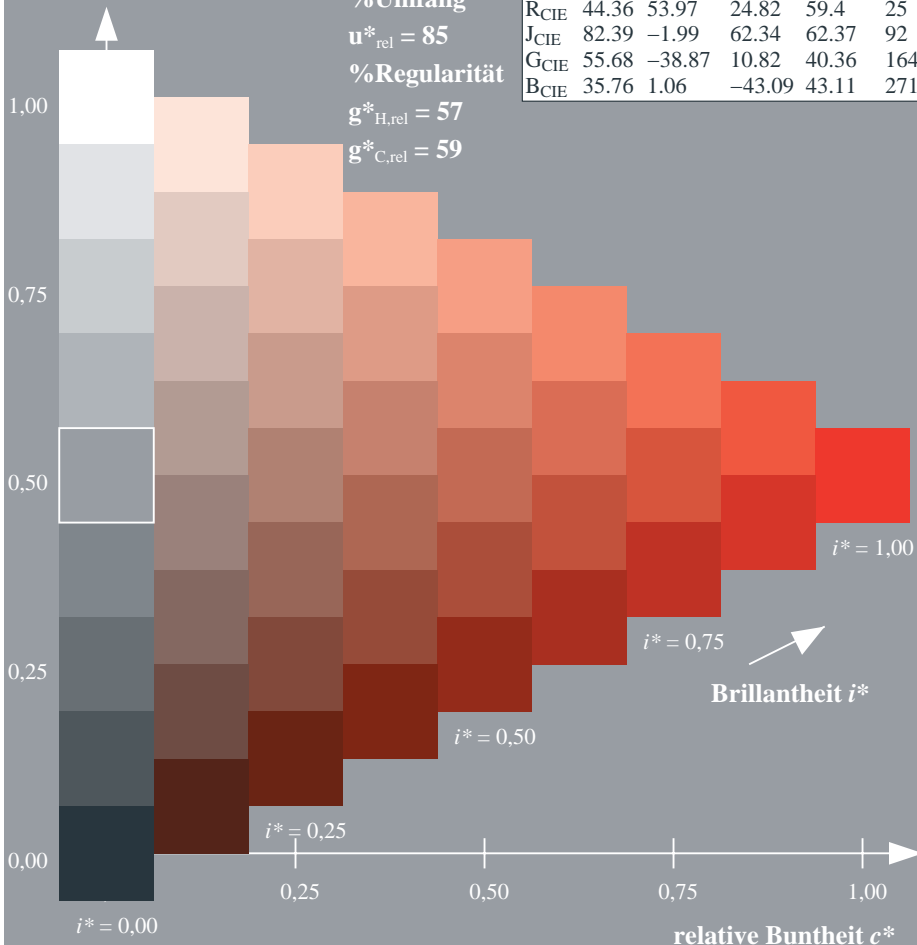
%Umfang

$u^*_{rel} = 85$

%Regularität

$g^*_{H,rel} = 57$

$g^*_{C,rel} = 59$



ZG820-7F, 9stufige Reihen für konstanten CIELAB Buntton 38/360 = 0.105 (links)

Seite 11/60

ZG820-7F, 16stufige Reihen für konstanten CIELAB Buntton 38/360 = 0.105 (rechts)

BAM-Prüfvorlage ZG82; Farbmimetrik-Systeme, Seite 11/60 Eingabe:  $rgb / cmy0 set(rgb/cmyk)color$

D65: 9 und 16stufige Farbreihen für 10 Bunttöne

Ausgabe:  $->LAB^*->cmy5^* setcmykcolo$

### Eingabe: Farbmimetrisches Offset-Reflektiv-System ORS18

für Buntton  $h^* = lab^*h = 96/360 = 0.268$

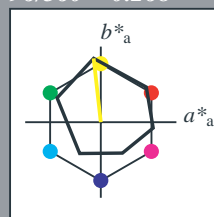
$lab^*tch$  und  $lab^*nch$

D65: Buntton Y

LCH\*Ma: 91 85 96

olv\*Ma: 1.0 1.0 0.0

Dreiecks-Helligkeit  $t^*$



%Umfang

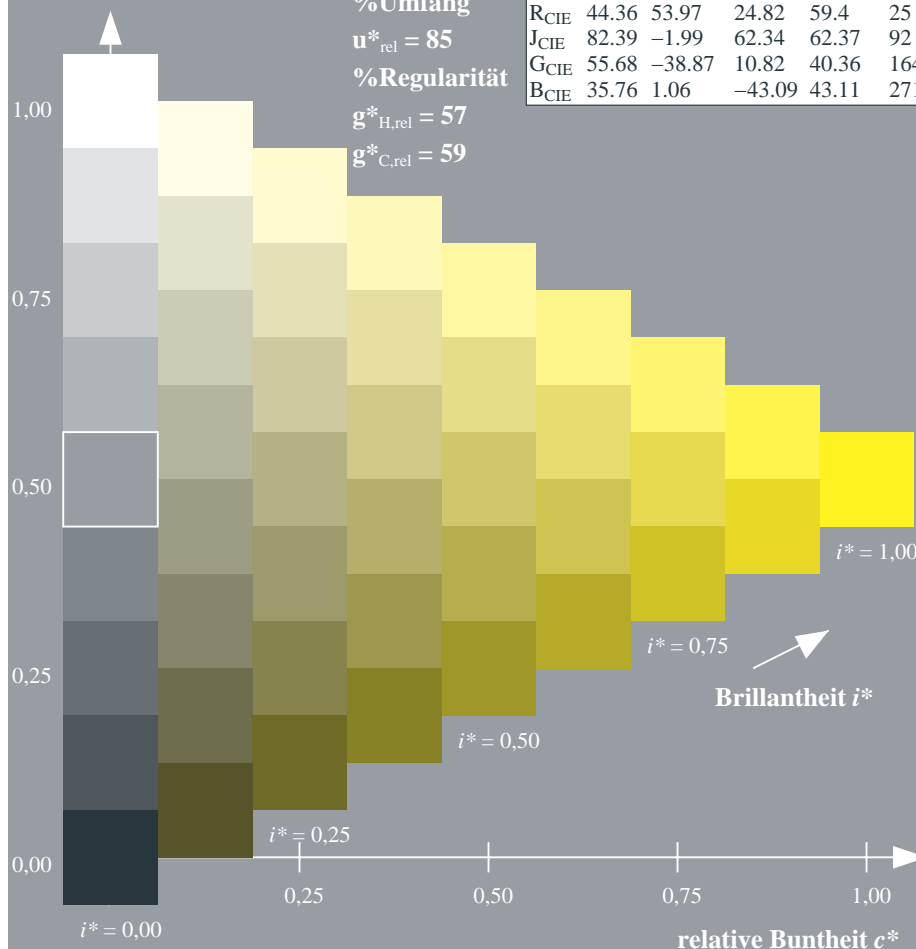
$u^*_{rel} = 85$

%Regularität

$g^*_{H,rel} = 57$

$g^*_{C,rel} = 59$

ORS18; adaptierte CIELAB-Daten	$L^*=L^*_a$	$a^*_a$	$b^*_a$	$C^*_{ab,a}$	$h^*_{ab,a}$
O <sub>Ma</sub>	51.74	60.16	46.48	76.02	38
Y <sub>Ma</sub>	90.77	-9.44	84.41	84.94	96
L <sub>Ma</sub>	54.46	-57.8	32.16	66.15	151
C <sub>Ma</sub>	61.56	-27.91	-41.41	49.95	236
V <sub>Ma</sub>	31.3	28.61	-40.85	49.88	305
M <sub>Ma</sub>	51.91	69.26	-7.69	69.68	354
N <sub>Ma</sub>	24.2	0.0	0.0	0.0	0
W <sub>Ma</sub>	95.41	0.0	0.0	0.0	0
R <sub>CIE</sub>	44.36	53.97	24.82	59.4	25
J <sub>CIE</sub>	82.39	-1.99	62.34	62.37	92
G <sub>CIE</sub>	55.68	-38.87	10.82	40.36	164
B <sub>CIE</sub>	35.76	1.06	-43.09	43.11	271



### Ausgabe: Farbmimetrisches Offset-Reflektiv-System ORS18

für Buntton  $h^* = lab^*h = 96/360 = 0.268$

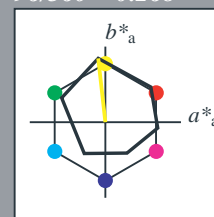
$lab^*tch$  und  $lab^*nch$

D65: Buntton Y

LCH\*Ma: 91 85 96

olv\*Ma: 1.0 1.0 0.0

Dreiecks-Helligkeit  $t^*$



%Umfang

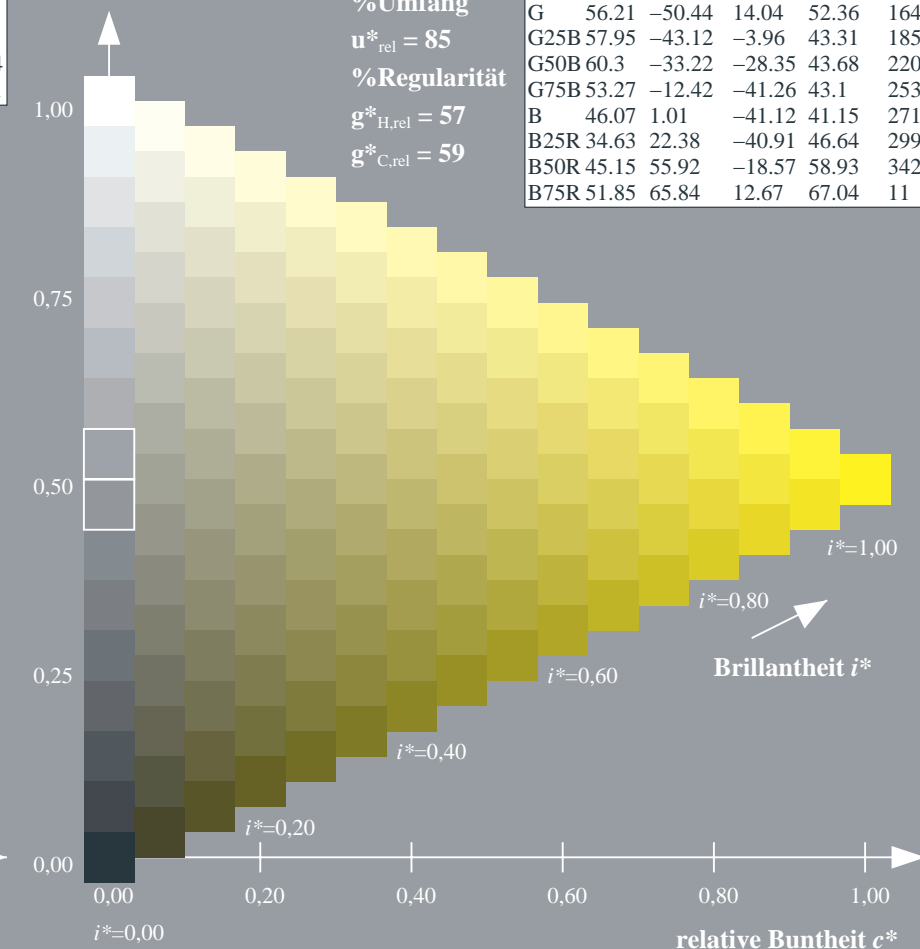
$u^*_{rel} = 85$

%Regularität

$g^*_{H,rel} = 57$

$g^*_{C,rel} = 59$

ORS18; adaptierte CIELAB-Daten	$L^*=L^*_a$	$a^*_a$	$b^*_a$	$C^*_{ab,a}$	$h^*_{ab,a}$
R	51.79	63.09	29.02	69.44	25
R25J	53.73	56.6	48.42	74.48	41
R50J	65.47	35.67	59.82	69.65	59
R75J	76.51	15.98	70.55	72.34	77
J	86.93	-2.58	80.67	80.71	92
J25G	84.92	-17.23	75.99	77.92	103
J50G	73.11	-32.96	59.0	67.58	119
J75G	60.06	-50.34	40.22	64.44	141
G	56.21	-50.44	14.04	52.36	164
G25B	57.95	-43.12	-3.96	43.31	185
G50B	60.3	-33.22	-28.35	43.68	220
G75B	53.27	-12.42	-41.26	43.1	253
B	46.07	1.01	-41.12	41.15	271
B25R	34.63	22.38	-40.91	46.64	299
B50R	45.15	55.92	-18.57	58.93	342
B75R	51.85	65.84	12.67	67.04	11



### Eingabe: Farbmimetrisches Offset-Reflektiv-System ORS18

für Buntton  $h^* = lab^*h = 151/360 = 0.419$

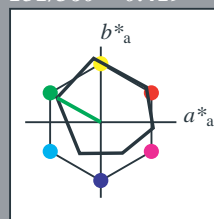
$lab^*tch$  und  $lab^*nch$

D65: Buntton L

LCH\*Ma: 54 66 151

olv\*Ma: 0.0 1.0 0.0

Dreiecks-Helligkeit  $t^*$



%Umfang

$u^*_{rel} = 85$

%Regularität

$g^*_{H,rel} = 57$

$g^*_{C,rel} = 59$

ORS18; adaptierte CIELAB-Daten					
	$L^*=L^*_a$	$a^*_a$	$b^*_a$	$C^*_{ab,a}$	$h^*_{ab,a}$
O <sub>Ma</sub>	51.74	60.16	46.48	76.02	38
Y <sub>Ma</sub>	90.77	-9.44	84.41	84.94	96
L <sub>Ma</sub>	54.46	-57.8	32.16	66.15	151
C <sub>Ma</sub>	61.56	-27.91	-41.41	49.95	236
V <sub>Ma</sub>	31.3	28.61	-40.85	49.88	305
M <sub>Ma</sub>	51.91	69.26	-7.69	69.68	354
N <sub>Ma</sub>	24.2	0.0	0.0	0.0	0
W <sub>Ma</sub>	95.41	0.0	0.0	0.0	0
R <sub>CIE</sub>	44.36	53.97	24.82	59.4	25
J <sub>CIE</sub>	82.39	-1.99	62.34	62.37	92
G <sub>CIE</sub>	55.68	-38.87	10.82	40.36	164
B <sub>CIE</sub>	35.76	1.06	-43.09	43.11	271

### Ausgabe: Farbmimetrisches Offset-Reflektiv-System ORS18

für Buntton  $h^* = lab^*h = 151/360 = 0.419$

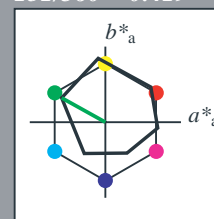
$lab^*tch$  und  $lab^*nch$

D65: Buntton L

LCH\*Ma: 54 66 151

olv\*Ma: 0.0 1.0 0.0

Dreiecks-Helligkeit  $t^*$



%Umfang

$u^*_{rel} = 85$

%Regularität

$g^*_{H,rel} = 57$

$g^*_{C,rel} = 59$

ORS18; adaptierte CIELAB-Daten					
	$L^*=L^*_a$	$a^*_a$	$b^*_a$	$C^*_{ab,a}$	$h^*_{ab,a}$
R	51.79	63.09	29.02	69.44	25
R25J	53.73	56.6	48.42	74.48	41
R50J	65.47	35.67	59.82	69.65	59
R75J	76.51	15.98	70.55	72.34	77
J	86.93	-2.58	80.67	80.71	92
J25G	84.92	-17.23	75.99	77.92	103
J50G	73.11	-32.96	59.0	67.58	119
J75G	60.06	-50.34	40.22	64.44	141
G	56.21	-50.44	14.04	52.36	164
G25B	57.95	-43.12	-3.96	43.31	185
G50B	60.3	-33.22	-28.35	43.68	220
G75B	53.27	-12.42	-41.26	43.1	253
B	46.07	1.01	-41.12	41.15	271
B25R	34.63	22.38	-40.91	46.64	299
B50R	45.15	55.92	-18.57	58.93	342
B75R	51.85	65.84	12.67	67.04	11

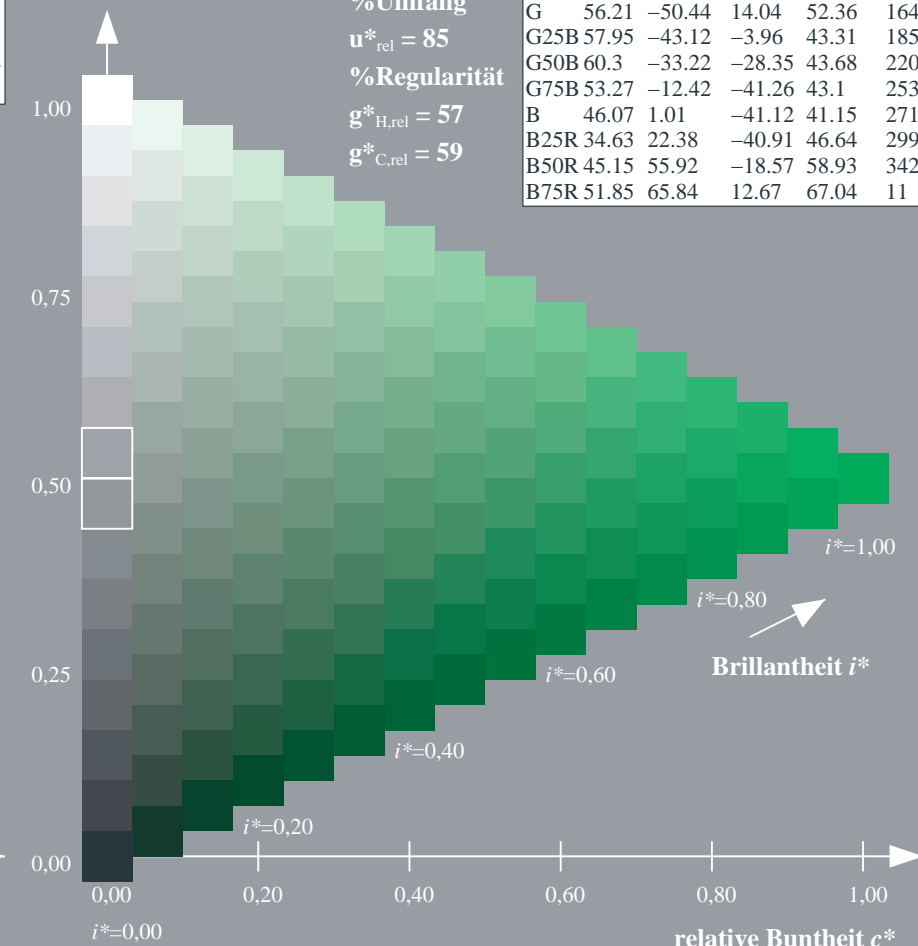
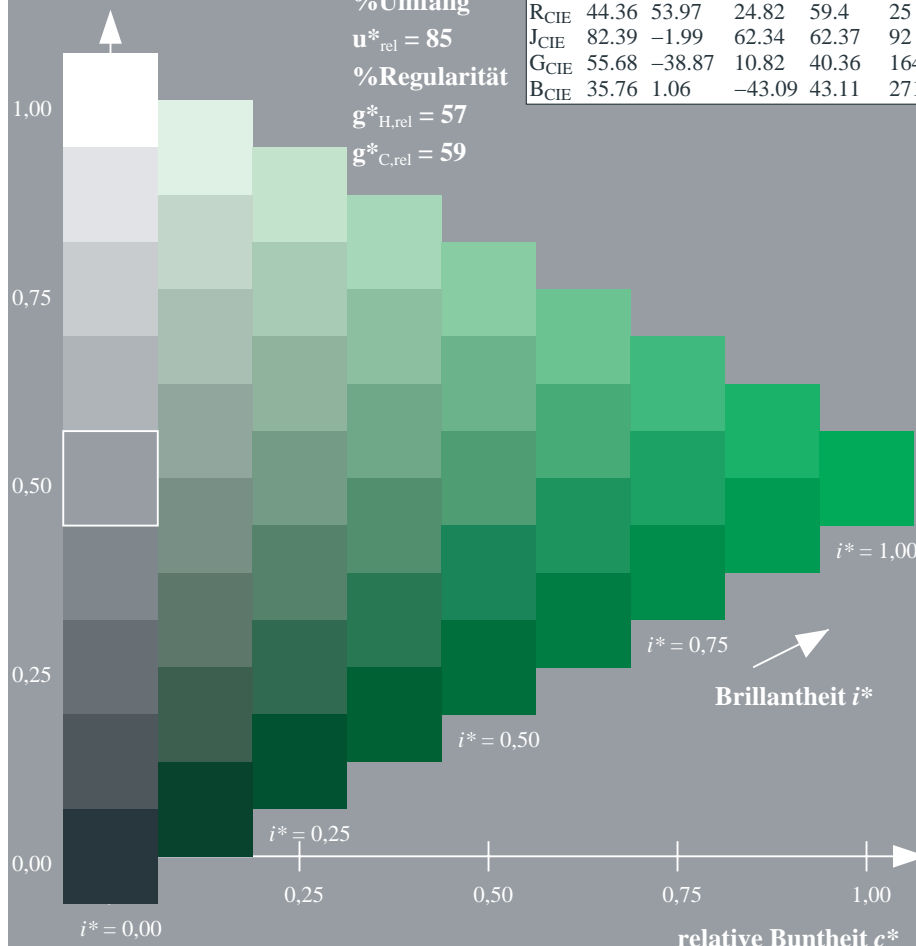
%Umfang

$u^*_{rel} = 85$

%Regularität

$g^*_{H,rel} = 57$

$g^*_{C,rel} = 59$



ZG820-7F, 9stufige Reihen für konstanten CIELAB Buntton 151/360 = 0.419 (links)

Seite 13/60

ZG820-7F, 16stufige Reihen für konstanten CIELAB Buntton 151/360 = 0.419 (rechts)

BAM-Prüfvorlage ZG82; Farbmimetrik-Systeme, Seite 13/60 Eingabe:  $rgb / cmy0$  set( $rgb/cmyk$ )color

D65: 9 und 16stufige Farbreihen für 10 Bunttöne

Ausgabe:  $\rightarrow LAB^* \rightarrow cmy5^*$  set( $cmyk$ )color

Eingabe: Farbmimetrisches Offset-Reflektiv-System ORS18

für Buntton  $h^* = lab^*h = 236/360 = 0.656$

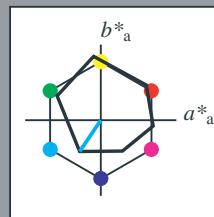
$lab^*tch$  und  $lab^*nch$

D65: Buntton C

LCH\*Ma: 62 50 236

olv\*Ma: 0.0 1.0 1.0

Dreiecks-Helligkeit  $t^*$



%Umfang

$u^*_{rel} = 85$

%Regularität

$g^*_{H,rel} = 57$

$g^*_{C,rel} = 59$

ORS18; adaptierte CIELAB-Daten					
	$L^*=L^*_a$	$a^*_a$	$b^*_a$	$C^*_{ab,a}$	$h^*_{ab,a}$
O <sub>Ma</sub>	51.74	60.16	46.48	76.02	38
Y <sub>Ma</sub>	90.77	-9.44	84.41	84.94	96
L <sub>Ma</sub>	54.46	-57.8	32.16	66.15	151
C <sub>Ma</sub>	61.56	-27.91	-41.41	49.95	236
V <sub>Ma</sub>	31.3	28.61	-40.85	49.88	305
M <sub>Ma</sub>	51.91	69.26	-7.69	69.68	354
N <sub>Ma</sub>	24.2	0.0	0.0	0.0	0
W <sub>Ma</sub>	95.41	0.0	0.0	0.0	0
R <sub>CIE</sub>	44.36	53.97	24.82	59.4	25
J <sub>CIE</sub>	82.39	-1.99	62.34	62.37	92
G <sub>CIE</sub>	55.68	-38.87	10.82	40.36	164
B <sub>CIE</sub>	35.76	1.06	-43.09	43.11	271

Ausgabe: Farbmimetrisches Offset-Reflektiv-System ORS18

für Buntton  $h^* = lab^*h = 236/360 = 0.656$

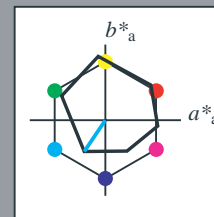
$lab^*tch$  und  $lab^*nch$

D65: Buntton C

LCH\*Ma: 62 50 236

olv\*Ma: 0.0 1.0 1.0

Dreiecks-Helligkeit  $t^*$



%Umfang

$u^*_{rel} = 85$

%Regularität

$g^*_{H,rel} = 57$

$g^*_{C,rel} = 59$

ORS18; adaptierte CIELAB-Daten					
	$L^*=L^*_a$	$a^*_a$	$b^*_a$	$C^*_{ab,a}$	$h^*_{ab,a}$
R	51.79	63.09	29.02	69.44	25
R25J	53.73	56.6	48.42	74.48	41
R50J	65.47	35.67	59.82	69.65	59
R75J	76.51	15.98	70.55	72.34	77
J	86.93	-2.58	80.67	80.71	92
J25G	84.92	-17.23	75.99	77.92	103
J50G	73.11	-32.96	59.0	67.58	119
J75G	60.06	-50.34	40.22	64.44	141
G	56.21	-50.44	14.04	52.36	164
G25B	57.95	-43.12	-3.96	43.31	185
G50B	60.3	-33.22	-28.35	43.68	220
G75B	53.27	-12.42	-41.26	43.1	253
B	46.07	1.01	-41.12	41.15	271
B25R	34.63	22.38	-40.91	46.64	299
B50R	45.15	55.92	-18.57	58.93	342
B75R	51.85	65.84	12.67	67.04	11

%Umfang

$u^*_{rel} = 85$

%Regularität

$g^*_{H,rel} = 57$

$g^*_{C,rel} = 59$

$g^*_{H,rel} = 57$

$g^*_{C,rel} = 59$

$g^*_{H,rel} = 57$

$g^*_{C,rel} = 59$

$g^*_{H,rel} = 57$

$g^*_{C,rel} = 59$

$g^*_{H,rel} = 57$

$g^*_{C,rel} = 59$

$g^*_{H,rel} = 57$

$g^*_{C,rel} = 59$

$g^*_{H,rel} = 57$

$g^*_{C,rel} = 59$

$g^*_{H,rel} = 57$

$g^*_{C,rel} = 59$

$g^*_{H,rel} = 57$

$g^*_{C,rel} = 59$

$g^*_{H,rel} = 57$

$g^*_{C,rel} = 59$

$g^*_{H,rel} = 57$

$g^*_{C,rel} = 59$

ZG820-7F, 9stufige Reihen für konstanten CIELAB Buntton 236/360 = 0.656 (links)

Seite 14/60

ZG820-7F, 16stufige Reihen für konstanten CIELAB Buntton 236/360 = 0.656 (rechts)

BAM-Prüfvorlage ZG82; Farbmimetrik-Systeme, Seite 14/60 Eingabe:  $rgb / cmy0 set(rgb/cmyk)color$

D65: 9 und 16stufige Farbreihen für 10 Bunttöne

Ausgabe:  $->LAB^*->cmy5^* setcmykcolo$



Eingabe: Farbmimetrisches Offset-Reflektiv-System ORS18

für Buntton  $h^* = lab^*h = 305/360 = 0.847$

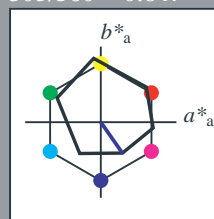
$lab^*tch$  und  $lab^*nch$

D65: Buntton V

LCH\*Ma: 31 50 305

olv\*Ma: 0.0 0.0 1.0

Dreiecks-Helligkeit  $t^*$



%Umfang

$u^*_{rel} = 85$

%Regularität

$g^*_{H,rel} = 57$

$g^*_{C,rel} = 59$

ORS18; adaptierte CIELAB-Daten					
	$L^*=L^*_a$	$a^*_a$	$b^*_a$	$C^*_{ab,a}$	$h^*_{ab,a}$
O <sub>Ma</sub>	51.74	60.16	46.48	76.02	38
Y <sub>Ma</sub>	90.77	-9.44	84.41	84.94	96
L <sub>Ma</sub>	54.46	-57.8	32.16	66.15	151
C <sub>Ma</sub>	61.56	-27.91	-41.41	49.95	236
V <sub>Ma</sub>	31.3	28.61	-40.85	49.88	305
M <sub>Ma</sub>	51.91	69.26	-7.69	69.68	354
N <sub>Ma</sub>	24.2	0.0	0.0	0.0	0
W <sub>Ma</sub>	95.41	0.0	0.0	0.0	0
R <sub>CIE</sub>	44.36	53.97	24.82	59.4	25
J <sub>CIE</sub>	82.39	-1.99	62.34	62.37	92
G <sub>CIE</sub>	55.68	-38.87	10.82	40.36	164
B <sub>CIE</sub>	35.76	1.06	-43.09	43.11	271

Ausgabe: Farbmimetrisches Offset-Reflektiv-System ORS18

für Buntton  $h^* = lab^*h = 305/360 = 0.847$

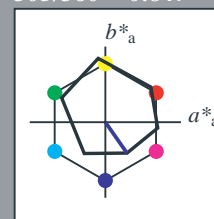
$lab^*tch$  und  $lab^*nch$

D65: Buntton V

LCH\*Ma: 31 50 305

olv\*Ma: 0.0 0.0 1.0

Dreiecks-Helligkeit  $t^*$



%Umfang

$u^*_{rel} = 85$

%Regularität

$g^*_{H,rel} = 57$

$g^*_{C,rel} = 59$

ORS18; adaptierte CIELAB-Daten					
	$L^*=L^*_a$	$a^*_a$	$b^*_a$	$C^*_{ab,a}$	$h^*_{ab,a}$
R	51.79	63.09	29.02	69.44	25
R25J	53.73	56.6	48.42	74.48	41
R50J	65.47	35.67	59.82	69.65	59
R75J	76.51	15.98	70.55	72.34	77
J	86.93	-2.58	80.67	80.71	92
J25G	84.92	-17.23	75.99	77.92	103
J50G	73.11	-32.96	59.0	67.58	119
J75G	60.06	-50.34	40.22	64.44	141
G	56.21	-50.44	14.04	52.36	164
G25B	57.95	-43.12	-3.96	43.31	185
G50B	60.3	-33.22	-28.35	43.68	220
G75B	53.27	-12.42	-41.26	43.1	253
B	46.07	1.01	-41.12	41.15	271
B25R	34.63	22.38	-40.91	46.64	299
B50R	45.15	55.92	-18.57	58.93	342
B75R	51.85	65.84	12.67	67.04	11

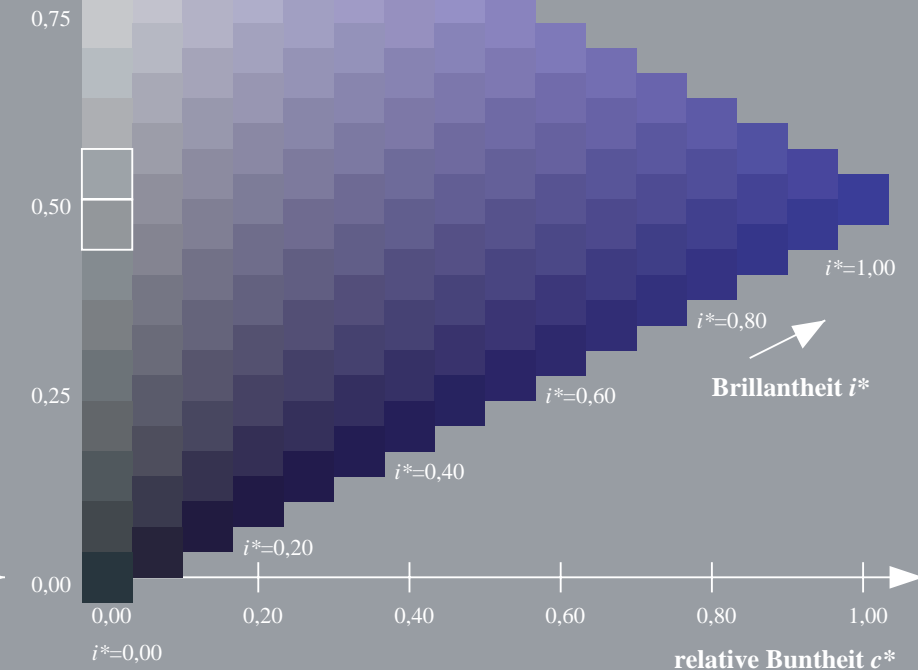
%Umfang

$u^*_{rel} = 85$

%Regularität

$g^*_{H,rel} = 57$

$g^*_{C,rel} = 59$



ZG820-7F, 9stufige Reihen für konstanten CIELAB Buntton 305/360 = 0.847 (links)

Seite 15/60

ZG820-7F, 16stufige Reihen für konstanten CIELAB Buntton 305/360 = 0.847 (rechts)

BAM-Prüfvorlage ZG82; Farbmimetrik-Systeme, Seite 15/60 Eingabe:  $rgb / cmy0 set(rgb/cmyk)color$

D65: 9 und 16stufige Farbreihen für 10 Bunttöne

Ausgabe:  $->LAB^*->cmy5^* setcmykcolo$

### Eingabe: Farbmimetrisches Offset-Reflektiv-System ORS18

für Buntton  $h^* = lab^*h = 354/360 = 0.982$

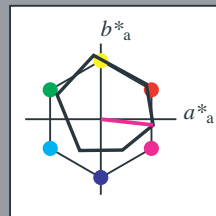
$lab^*tch$  und  $lab^*nch$

D65: Buntton M

LCH\*Ma: 52 70 354

olv\*Ma: 1.0 0.0 1.0

Dreiecks-Helligkeit  $t^*$



%Umfang

$u^*_{rel} = 85$

%Regularität

$g^*_{H,rel} = 57$

$g^*_{C,rel} = 59$

ORS18; adaptierte CIELAB-Daten					
	$L^*=L^*_a$	$a^*_a$	$b^*_a$	$C^*_{ab,a}$	$h^*_{ab,a}$
O <sub>Ma</sub>	51.74	60.16	46.48	76.02	38
Y <sub>Ma</sub>	90.77	-9.44	84.41	84.94	96
L <sub>Ma</sub>	54.46	-57.8	32.16	66.15	151
C <sub>Ma</sub>	61.56	-27.91	-41.41	49.95	236
V <sub>Ma</sub>	31.3	28.61	-40.85	49.88	305
M <sub>Ma</sub>	51.91	69.26	-7.69	69.68	354
N <sub>Ma</sub>	24.2	0.0	0.0	0.0	0
W <sub>Ma</sub>	95.41	0.0	0.0	0.0	0
R <sub>CIE</sub>	44.36	53.97	24.82	59.4	25
J <sub>CIE</sub>	82.39	-1.99	62.34	62.37	92
G <sub>CIE</sub>	55.68	-38.87	10.82	40.36	164
B <sub>CIE</sub>	35.76	1.06	-43.09	43.11	271

### Ausgabe: Farbmimetrisches Offset-Reflektiv-System ORS18

für Buntton  $h^* = lab^*h = 354/360 = 0.982$

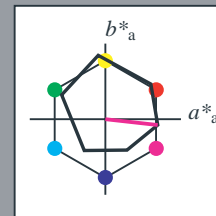
$lab^*tch$  und  $lab^*nch$

D65: Buntton M

LCH\*Ma: 52 70 354

olv\*Ma: 1.0 0.0 1.0

Dreiecks-Helligkeit  $t^*$



%Umfang

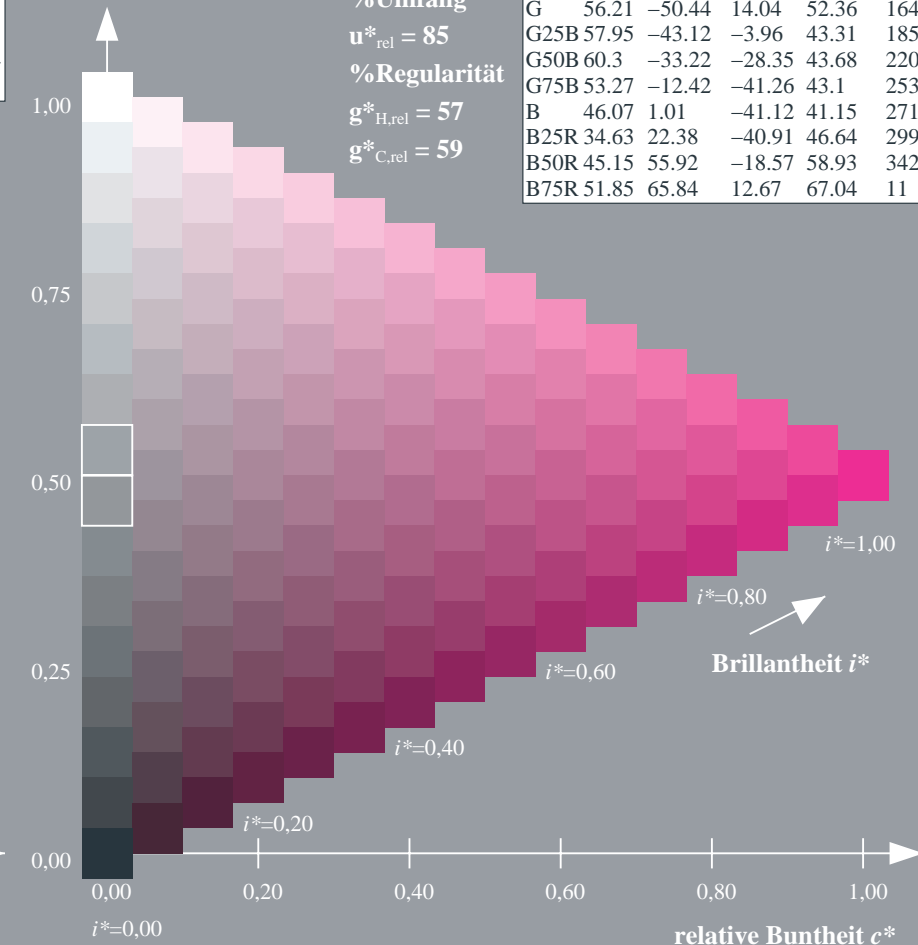
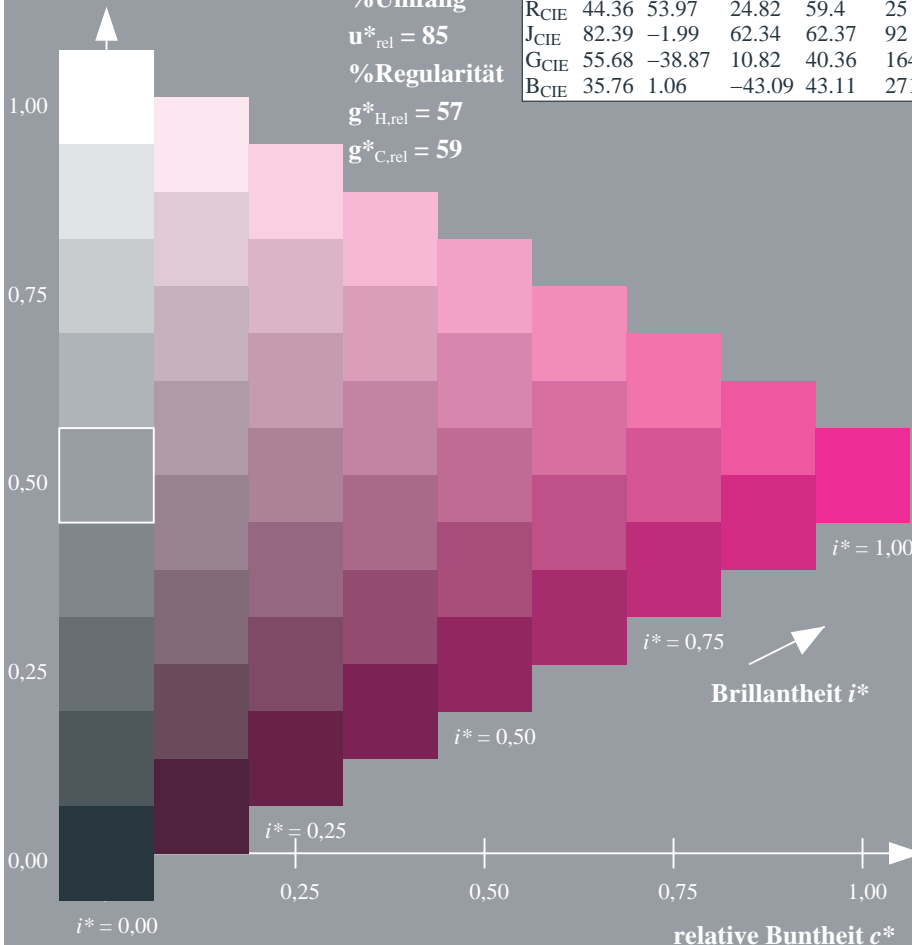
$u^*_{rel} = 85$

%Regularität

$g^*_{H,rel} = 57$

$g^*_{C,rel} = 59$

ORS18; adaptierte CIELAB-Daten					
	$L^*=L^*_a$	$a^*_a$	$b^*_a$	$C^*_{ab,a}$	$h^*_{ab,a}$
R	51.79	63.09	29.02	69.44	25
R25J	53.73	56.6	48.42	74.48	41
R50J	65.47	35.67	59.82	69.65	59
R75J	76.51	15.98	70.55	72.34	77
J	86.93	-2.58	80.67	80.71	92
J25G	84.92	-17.23	75.99	77.92	103
J50G	73.11	-32.96	59.0	67.58	119
J75G	60.06	-50.34	40.22	64.44	141
G	56.21	-50.44	14.04	52.36	164
G25B	57.95	-43.12	-3.96	43.31	185
G50B	60.3	-33.22	-28.35	43.68	220
G75B	53.27	-12.42	-41.26	43.1	253
B	46.07	1.01	-41.12	41.15	271
B25R	34.63	22.38	-40.91	46.64	299
B50R	45.15	55.92	-18.57	58.93	342
B75R	51.85	65.84	12.67	67.04	11



ZG820-7F, 9stufige Reihen für konstanten CIELAB Buntton 354/360 = 0.982 (links) Seite 16/60

ZG820-7F, 16stufige Reihen für konstanten CIELAB Buntton 354/360 = 0.982 (rechts)

### Eingabe: Farbmimetrisches Offset-Reflektiv-System ORS18

für Buntton  $h^* = lab^*h = 25/360 = 0.069$

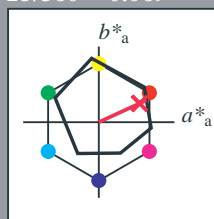
$lab^*tch$  und  $lab^*nch$

D65: Buntton R

LCH\*Ma: 52 69 25

olv\*Ma: 1.0 0.0 0.32

Dreiecks-Helligkeit  $t^*$



%Umfang

$u^*_{rel} = 85$

%Regularität

$g^*_{H,rel} = 57$

$g^*_{C,rel} = 59$

ORS18; adaptierte CIELAB-Daten	$L^*=L^*_a$	$a^*_a$	$b^*_a$	$C^*_{ab,a}$	$h^*_{ab,a}$
O <sub>Ma</sub>	51.74	60.16	46.48	76.02	38
Y <sub>Ma</sub>	90.77	-9.44	84.41	84.94	96
L <sub>Ma</sub>	54.46	-57.8	32.16	66.15	151
C <sub>Ma</sub>	61.56	-27.91	-41.41	49.95	236
V <sub>Ma</sub>	31.3	28.61	-40.85	49.88	305
M <sub>Ma</sub>	51.91	69.26	-7.69	69.68	354
N <sub>Ma</sub>	24.2	0.0	0.0	0.0	0
W <sub>Ma</sub>	95.41	0.0	0.0	0.0	0
R <sub>CIE</sub>	44.36	53.97	24.82	59.4	25
J <sub>CIE</sub>	82.39	-1.99	62.34	62.37	92
G <sub>CIE</sub>	55.68	-38.87	10.82	40.36	164
B <sub>CIE</sub>	35.76	1.06	-43.09	43.11	271

### Ausgabe: Farbmimetrisches Offset-Reflektiv-System ORS18

für Buntton  $h^* = lab^*h = 25/360 = 0.069$

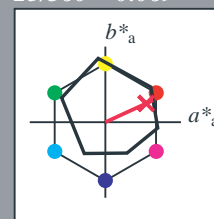
$lab^*tch$  und  $lab^*nch$

D65: Buntton R

LCH\*Ma: 52 69 25

olv\*Ma: 1.0 0.0 0.32

Dreiecks-Helligkeit  $t^*$



%Umfang

$u^*_{rel} = 85$

%Regularität

$g^*_{H,rel} = 57$

$g^*_{C,rel} = 59$

ORS18; adaptierte CIELAB-Daten	$L^*=L^*_a$	$a^*_a$	$b^*_a$	$C^*_{ab,a}$	$h^*_{ab,a}$
R	51.79	63.09	29.02	69.44	25
R25J	53.73	56.6	48.42	74.48	41
R50J	65.47	35.67	59.82	69.65	59
R75J	76.51	15.98	70.55	72.34	77
J	86.93	-2.58	80.67	80.71	92
J25G	84.92	-17.23	75.99	77.92	103
J50G	73.11	-32.96	59.0	67.58	119
J75G	60.06	-50.34	40.22	64.44	141
G	56.21	-50.44	14.04	52.36	164
G25B	57.95	-43.12	-3.96	43.31	185
G50B	60.3	-33.22	-28.35	43.68	220
G75B	53.27	-12.42	-41.26	43.1	253
B	46.07	1.01	-41.12	41.15	271
B25R	34.63	22.38	-40.91	46.64	299
B50R	45.15	55.92	-18.57	58.93	342
B75R	51.85	65.84	12.67	67.04	11

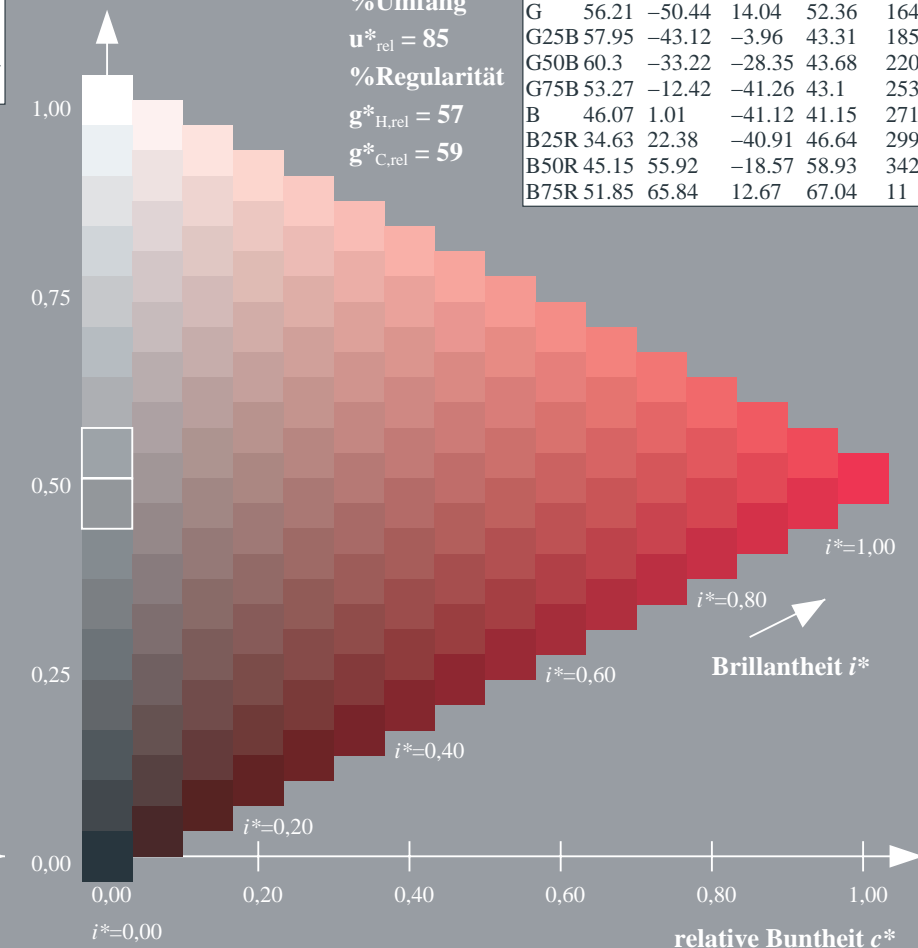
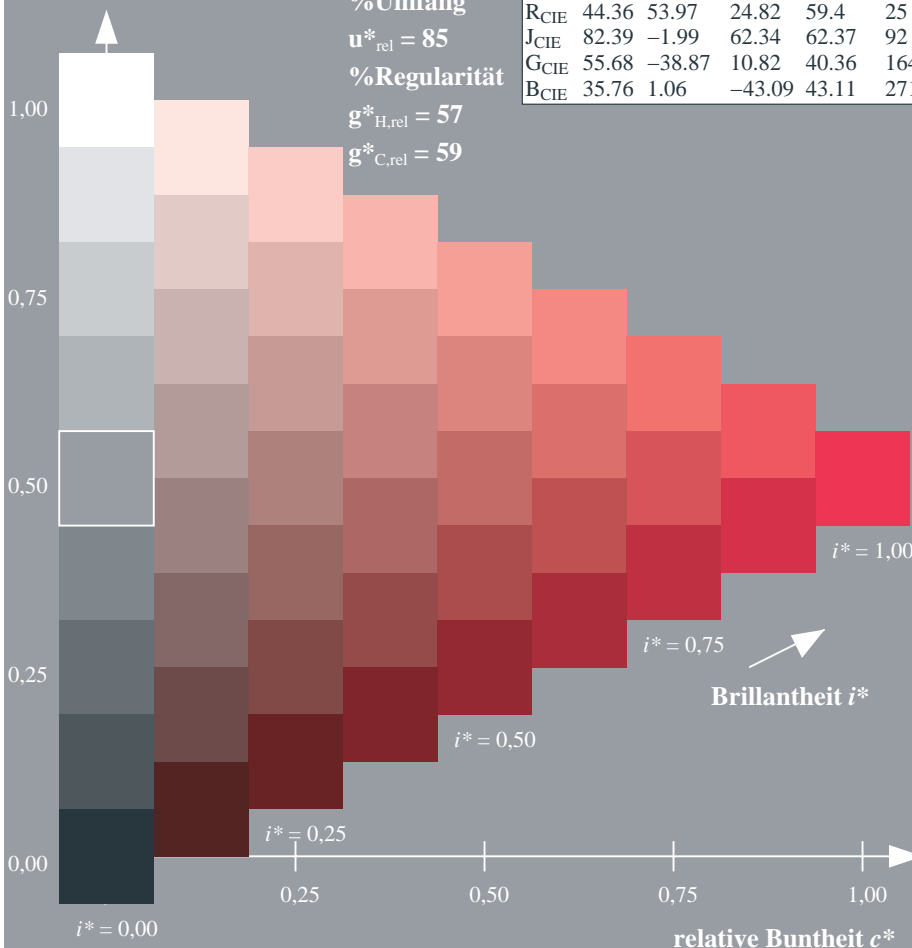
%Umfang

$u^*_{rel} = 85$

%Regularität

$g^*_{H,rel} = 57$

$g^*_{C,rel} = 59$



ZG820-7F, 9stufige Reihen für konstanten CIELAB Buntton 25/360 = 0.069 (links)

Seite 17/60

ZG820-7F, 16stufige Reihen für konstanten CIELAB Buntton 25/360 = 0.069 (rechts)

BAM-Prüfvorlage ZG82; Farbmimetrik-Systeme, Seite 17/60 Eingabe:  $rgb / cmy0$  set( $rgb/cmyk$ )color

D65: 9 und 16stufige Farbreihen für 10 Bunttöne

Ausgabe:  $->LAB^*->cmy5^*$  setcmykcolo

### Eingabe: Farbmimetrisches Offset-Reflektiv-System ORS18

für Buntton  $h^* = lab^*h = 92/360 = 0.255$

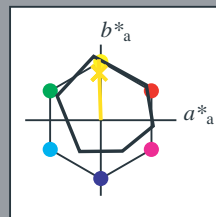
$lab^*tch$  und  $lab^*nch$

D65: Buntton J

LCH\*Ma: 87 81 92

olv\*Ma: 1.0 0.9 0.0

Dreiecks-Helligkeit  $t^*$



%Umfang

$u^*_{rel} = 85$

%Regularität

$g^*_{H,rel} = 57$

$g^*_{C,rel} = 59$

ORS18; adaptierte CIELAB-Daten	$L^*=L^*_a$	$a^*_a$	$b^*_a$	$C^*_{ab,a}$	$h^*_{ab,a}$
O <sub>Ma</sub>	51.74	60.16	46.48	76.02	38
Y <sub>Ma</sub>	90.77	-9.44	84.41	84.94	96
L <sub>Ma</sub>	54.46	-57.8	32.16	66.15	151
C <sub>Ma</sub>	61.56	-27.91	-41.41	49.95	236
V <sub>Ma</sub>	31.3	28.61	-40.85	49.88	305
M <sub>Ma</sub>	51.91	69.26	-7.69	69.68	354
N <sub>Ma</sub>	24.2	0.0	0.0	0.0	0
W <sub>Ma</sub>	95.41	0.0	0.0	0.0	0
R <sub>CIE</sub>	44.36	53.97	24.82	59.4	25
J <sub>CIE</sub>	82.39	-1.99	62.34	62.37	92
G <sub>CIE</sub>	55.68	-38.87	10.82	40.36	164
B <sub>CIE</sub>	35.76	1.06	-43.09	43.11	271

### Ausgabe: Farbmimetrisches Offset-Reflektiv-System ORS18

für Buntton  $h^* = lab^*h = 92/360 = 0.255$

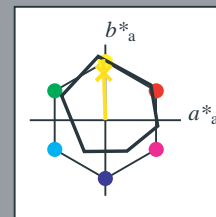
$lab^*tch$  und  $lab^*nch$

D65: Buntton J

LCH\*Ma: 87 81 92

olv\*Ma: 1.0 0.9 0.0

Dreiecks-Helligkeit  $t^*$



%Umfang

$u^*_{rel} = 85$

%Regularität

$g^*_{H,rel} = 57$

$g^*_{C,rel} = 59$

ORS18; adaptierte CIELAB-Daten	$L^*=L^*_a$	$a^*_a$	$b^*_a$	$C^*_{ab,a}$	$h^*_{ab,a}$
R	51.79	63.09	29.02	69.44	25
R25J	53.73	56.6	48.42	74.48	41
R50J	65.47	35.67	59.82	69.65	59
R75J	76.51	15.98	70.55	72.34	77
J	86.93	-2.58	80.67	80.71	92
J25G	84.92	-17.23	75.99	77.92	103
J50G	73.11	-32.96	59.0	67.58	119
J75G	60.06	-50.34	40.22	64.44	141
G	56.21	-50.44	14.04	52.36	164
G25B	57.95	-43.12	-3.96	43.31	185
G50B	60.3	-33.22	-28.35	43.68	220
G75B	53.27	-12.42	-41.26	43.1	253
B	46.07	1.01	-41.12	41.15	271
B25R	34.63	22.38	-40.91	46.64	299
B50R	45.15	55.92	-18.57	58.93	342
B75R	51.85	65.84	12.67	67.04	11

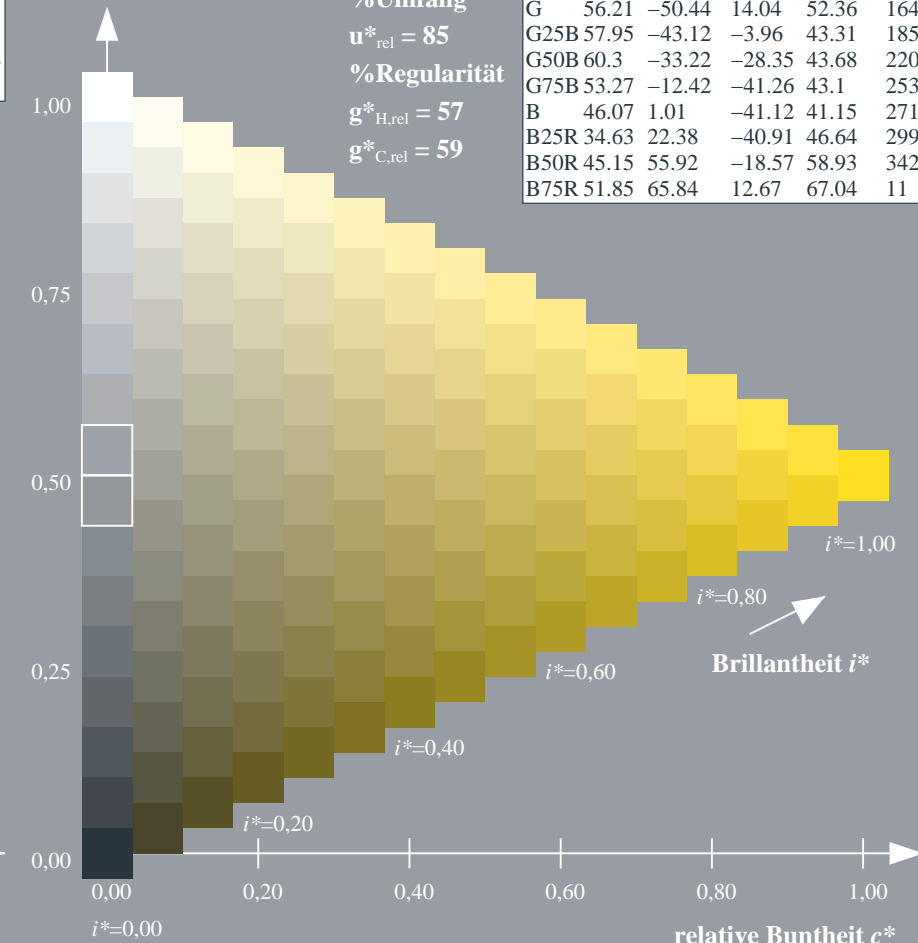
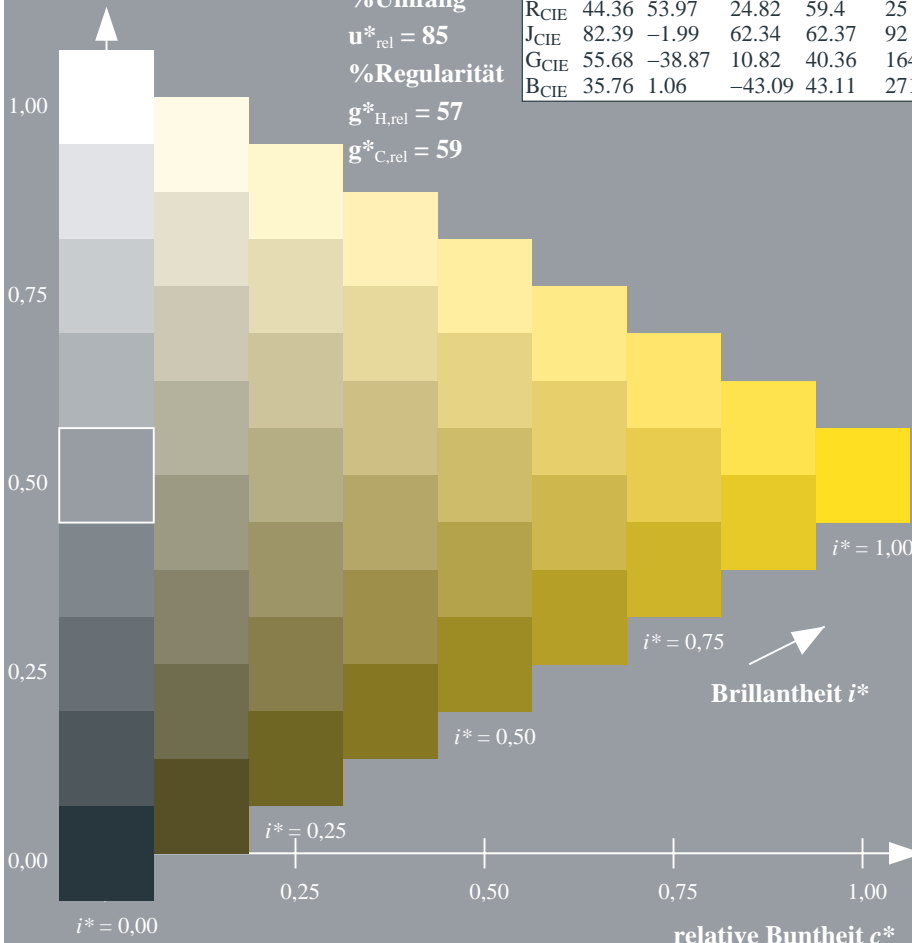
%Umfang

$u^*_{rel} = 85$

%Regularität

$g^*_{H,rel} = 57$

$g^*_{C,rel} = 59$



ZG820-7F, 9stufige Reihen für konstanten CIELAB Buntton 92/360 = 0.255 (links)

Seite 18/60

ZG820-7F, 16stufige Reihen für konstanten CIELAB Buntton 92/360 = 0.255 (rechts)

BAM-Prüfvorlage ZG82; Farbmimetrik-Systeme, Seite 18/60 Eingabe:  $rgb / cmy0 set(rgb/cmyk)color$

D65: 9 und 16stufige Farbreihen für 10 Bunttöne

Ausgabe:  $->LAB^*->cmy5^* setcmykcolo$

Eingabe: Farbmimetrisches Offset-Reflektiv-System ORS18

für Buntton  $h^* = lab^*h = 164/360 = 0.457$

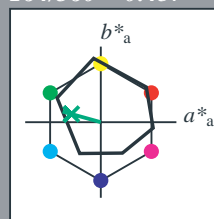
$lab^*tch$  und  $lab^*nch$

D65: Buntton G

LCH\*Ma: 56 52 164

olv\*Ma: 0.0 1.0 0.25

Dreiecks-Helligkeit  $t^*$



%Umfang

$u^*_{rel} = 85$

%Regularität

$g^*_{H,rel} = 57$

$g^*_{C,rel} = 59$

ORS18; adaptierte CIELAB-Daten					
	$L^*=L^*_a$	$a^*_a$	$b^*_a$	$C^*_{ab,a}$	$h^*_{ab,a}$
O <sub>Ma</sub>	51.74	60.16	46.48	76.02	38
Y <sub>Ma</sub>	90.77	-9.44	84.41	84.94	96
L <sub>Ma</sub>	54.46	-57.8	32.16	66.15	151
C <sub>Ma</sub>	61.56	-27.91	-41.41	49.95	236
V <sub>Ma</sub>	31.3	28.61	-40.85	49.88	305
M <sub>Ma</sub>	51.91	69.26	-7.69	69.68	354
N <sub>Ma</sub>	24.2	0.0	0.0	0.0	0
W <sub>Ma</sub>	95.41	0.0	0.0	0.0	0
R <sub>CIE</sub>	44.36	53.97	24.82	59.4	25
J <sub>CIE</sub>	82.39	-1.99	62.34	62.37	92
G <sub>CIE</sub>	55.68	-38.87	10.82	40.36	164
B <sub>CIE</sub>	35.76	1.06	-43.09	43.11	271

Ausgabe: Farbmimetrisches Offset-Reflektiv-System ORS18

für Buntton  $h^* = lab^*h = 164/360 = 0.457$

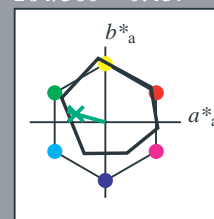
$lab^*tch$  und  $lab^*nch$

D65: Buntton G

LCH\*Ma: 56 52 164

olv\*Ma: 0.0 1.0 0.25

Dreiecks-Helligkeit  $t^*$



%Umfang

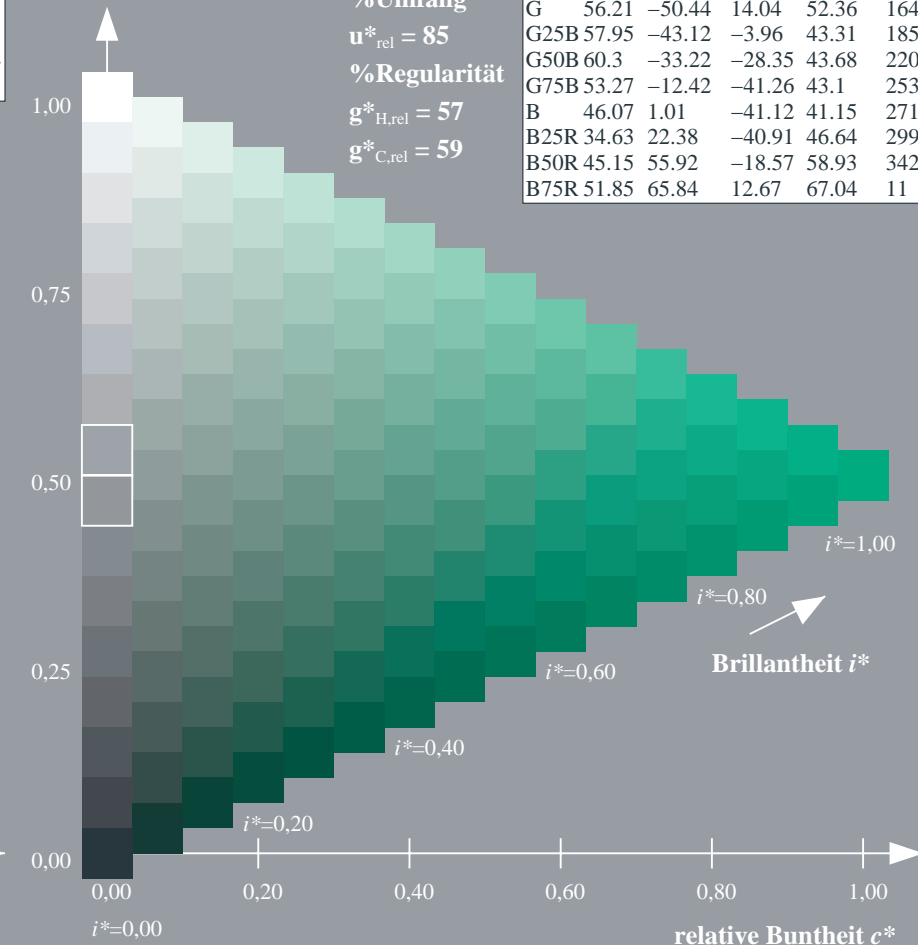
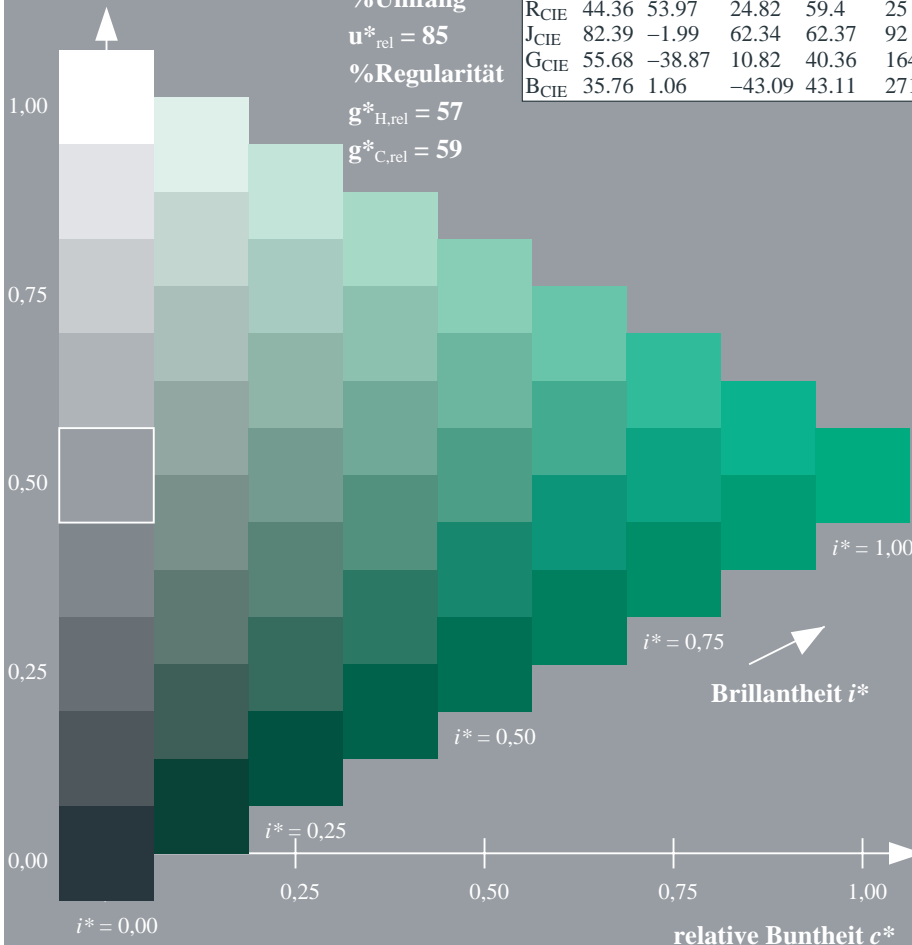
$u^*_{rel} = 85$

%Regularität

$g^*_{H,rel} = 57$

$g^*_{C,rel} = 59$

ORS18; adaptierte CIELAB-Daten					
	$L^*=L^*_a$	$a^*_a$	$b^*_a$	$C^*_{ab,a}$	$h^*_{ab,a}$
R	51.79	63.09	29.02	69.44	25
R25J	53.73	56.6	48.42	74.48	41
R50J	65.47	35.67	59.82	69.65	59
R75J	76.51	15.98	70.55	72.34	77
J	86.93	-2.58	80.67	80.71	92
J25G	84.92	-17.23	75.99	77.92	103
J50G	73.11	-32.96	59.0	67.58	119
J75G	60.06	-50.34	40.22	64.44	141
G	56.21	-50.44	14.04	52.36	164
G25B	57.95	-43.12	-3.96	43.31	185
G50B	60.3	-33.22	-28.35	43.68	220
G75B	53.27	-12.42	-41.26	43.1	253
B	46.07	1.01	-41.12	41.15	271
B25R	34.63	22.38	-40.91	46.64	299
B50R	45.15	55.92	-18.57	58.93	342
B75R	51.85	65.84	12.67	67.04	11



ZG820-7F, 9stufige Reihen für konstanten CIELAB Buntton 164/360 = 0.457 (links) Seite 19/60

ZG820-7F, 16stufige Reihen für konstanten CIELAB Buntton 164/360 = 0.457 (rechts)

BAM-Prüfvorlage ZG82; Farbmimetrik-Systeme, Seite 19/60 Eingabe:  $rgb / cmy0 set(rgb/cmyk)color$

D65: 9 und 16stufige Farbreihen für 10 Bunttöne Ausgabe:  $->LAB^*->cmy5^* setcmykcolo$

BAM-Registrierung: 20071001-ZG82/10L/L82G00FP.PS/.PDF BAM-Material: Code=rh4ta  
Anwendung für Beurteilung und Messung von Drucker- oder Monitorsystemen

### Eingabe: Farbmimetrisches Offset-Reflektiv-System ORS18

für Buntton  $h^* = lab^*h = 271/360 = 0.754$

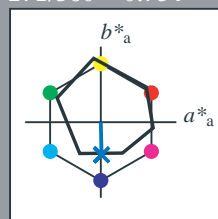
$lab^*tch$  und  $lab^*nch$

D65: Buntton B

LCH\*Ma: 46 41 271

olv\*Ma: 0.0 0.49 1.0

Dreiecks-Helligkeit  $t^*$



%Umfang

$u^*_{rel} = 85$

%Regularität

$g^*_{H,rel} = 57$

$g^*_{C,rel} = 59$

ORS18; adaptierte CIELAB-Daten					
	$L^*=L^*_a$	$a^*_a$	$b^*_a$	$C^*_{ab,a}$	$h^*_{ab,a}$
O <sub>Ma</sub>	51.74	60.16	46.48	76.02	38
Y <sub>Ma</sub>	90.77	-9.44	84.41	84.94	96
L <sub>Ma</sub>	54.46	-57.8	32.16	66.15	151
C <sub>Ma</sub>	61.56	-27.91	-41.41	49.95	236
V <sub>Ma</sub>	31.3	28.61	-40.85	49.88	305
M <sub>Ma</sub>	51.91	69.26	-7.69	69.68	354
N <sub>Ma</sub>	24.2	0.0	0.0	0.0	0
W <sub>Ma</sub>	95.41	0.0	0.0	0.0	0
R <sub>CIE</sub>	44.36	53.97	24.82	59.4	25
J <sub>CIE</sub>	82.39	-1.99	62.34	62.37	92
G <sub>CIE</sub>	55.68	-38.87	10.82	40.36	164
B <sub>CIE</sub>	35.76	1.06	-43.09	43.11	271

### Ausgabe: Farbmimetrisches Offset-Reflektiv-System ORS18

für Buntton  $h^* = lab^*h = 271/360 = 0.754$

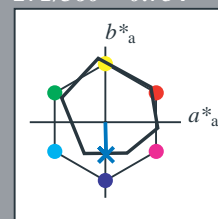
$lab^*tch$  und  $lab^*nch$

D65: Buntton B

LCH\*Ma: 46 41 271

olv\*Ma: 0.0 0.49 1.0

Dreiecks-Helligkeit  $t^*$



%Umfang

$u^*_{rel} = 85$

%Regularität

$g^*_{H,rel} = 57$

$g^*_{C,rel} = 59$

ORS18; adaptierte CIELAB-Daten					
	$L^*=L^*_a$	$a^*_a$	$b^*_a$	$C^*_{ab,a}$	$h^*_{ab,a}$
R	51.79	63.09	29.02	69.44	25
R25J	53.73	56.6	48.42	74.48	41
R50J	65.47	35.67	59.82	69.65	59
R75J	76.51	15.98	70.55	72.34	77
J	86.93	-2.58	80.67	80.71	92
J25G	84.92	-17.23	75.99	77.92	103
J50G	73.11	-32.96	59.0	67.58	119
J75G	60.06	-50.34	40.22	64.44	141
G	56.21	-50.44	14.04	52.36	164
G25B	57.95	-43.12	-3.96	43.31	185
G50B	60.3	-33.22	-28.35	43.68	220
G75B	53.27	-12.42	-41.26	43.1	253
B	46.07	1.01	-41.12	41.15	271
B25R	34.63	22.38	-40.91	46.64	299
B50R	45.15	55.92	-18.57	58.93	342
B75R	51.85	65.84	12.67	67.04	11

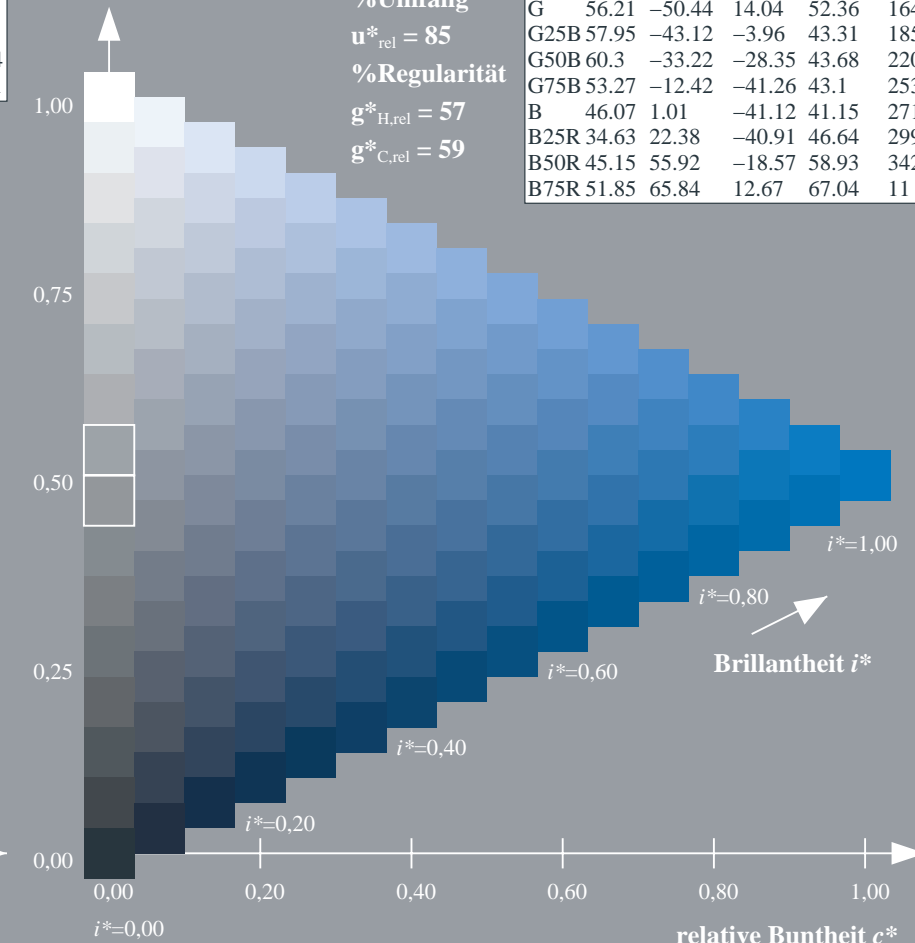
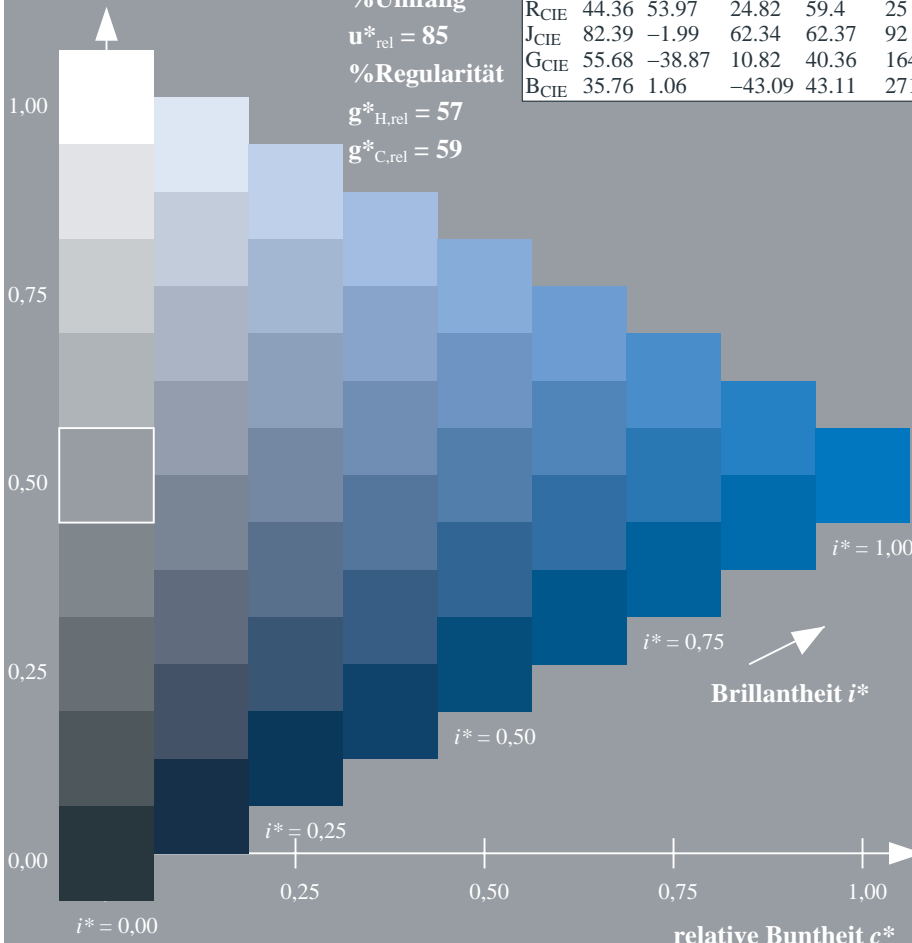
%Umfang

$u^*_{rel} = 85$

%Regularität

$g^*_{H,rel} = 57$

$g^*_{C,rel} = 59$



ZG820-7F, 9stufige Reihen für konstanten CIELAB Buntton 271/360 = 0.754 (links)

Seite 20/60

ZG820-7F, 16stufige Reihen für konstanten CIELAB Buntton 271/360 = 0.754 (rechts)

BAM-Prüfvorlage ZG82; Farbmimetrik-Systeme, Seite 20/60 Eingabe:  $rgb / cmy0 set(rgb/cmyk)color$

D65: 9 und 16stufige Farbreihen für 10 Bunttöne

Ausgabe:  $->LAB^*->cmy5^* setcmykcolo$



Eingabe: Farbmétrisches Offset-Reflektiv-System ORS18

für Buntton  $h^* = lab^*h = 38/360 = 0,105$

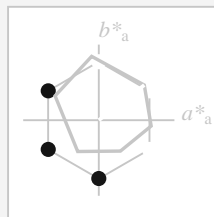
$lab^*tch$  und  $lab^*nch$

D65: Buntton O

LCH\*Ma: 52 76 38

olv\*Ma: 1.0 0.0 0.0

Dreiecks-Helligkeit  $t^*$



%Umfang

$u^*_{rel} = 85$

%Regularität

$g^*_{H,rel} = 57$

$g^*_{C,rel} = 59$

ORS18; adaptierte CIELAB-Daten

	$L^*=L^*_a$	$a^*_a$	$b^*_a$	$C^*_{ab,a}$	$h^*_{ab,a}$
O <sub>Ma</sub>	51.74	60.16	46.48	76.02	38
Y <sub>Ma</sub>	90.77	-9.44	84.41	84.94	96
L <sub>Ma</sub>	54.46	-57.8	32.16	66.15	151
C <sub>Ma</sub>	61.56	-27.91	-41.41	49.95	236
V <sub>Ma</sub>	31.3	28.61	-40.85	49.88	305
M <sub>Ma</sub>	51.91	69.26	-7.69	69.68	354
N <sub>Ma</sub>	24.2	0.0	0.0	0.0	0
W <sub>Ma</sub>	95.41	0.0	0.0	0.0	0
R <sub>CIE</sub>	44.36	53.97	24.82	59.4	25
J <sub>CIE</sub>	82.39	-1.99	62.34	62.37	92
G <sub>CIE</sub>	55.68	-38.87	10.82	40.36	164
B <sub>CIE</sub>	35.76	1.06	-43.09	43.11	271

Ausgabe: Farbmétrisches Offset-Reflektiv-System ORS18

für Buntton  $h^* = lab^*h = 38/360 = 0,105$

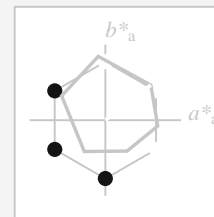
$lab^*tch$  und  $lab^*nch$

D65: Buntton O

LCH\*Ma: 52 76 38

olv\*Ma: 1.0 0.0 0.0

Dreiecks-Helligkeit  $t^*$



%Umfang

$u^*_{rel} = 85$

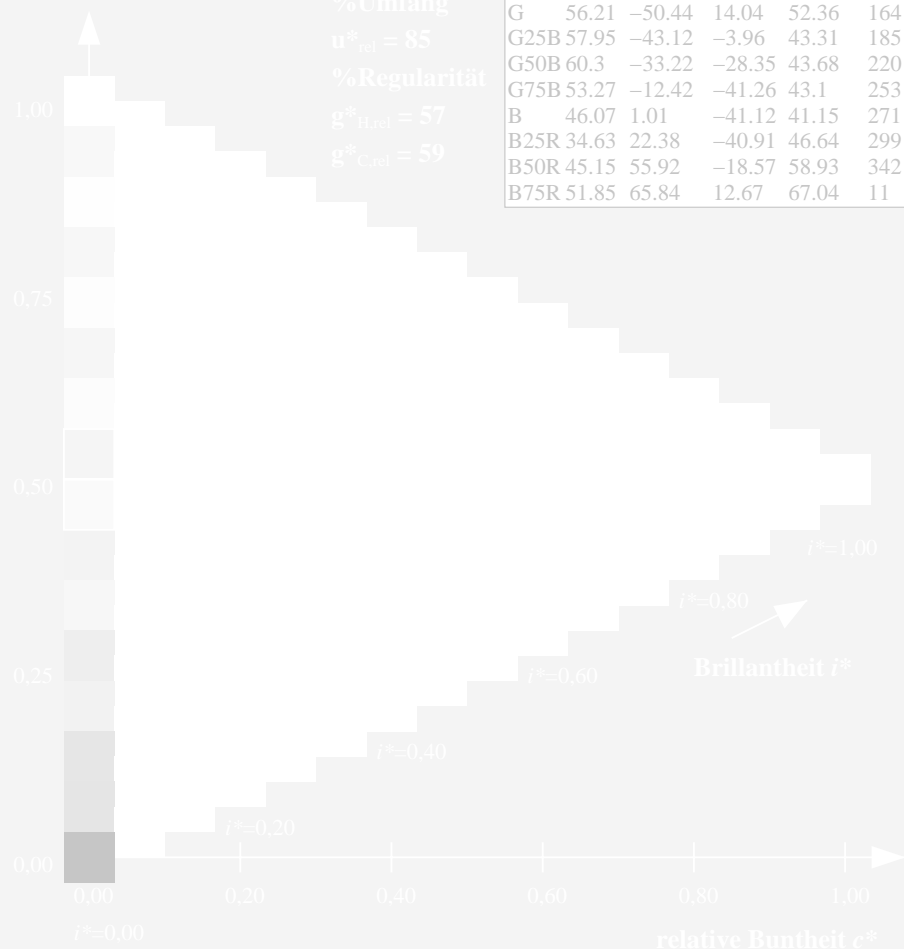
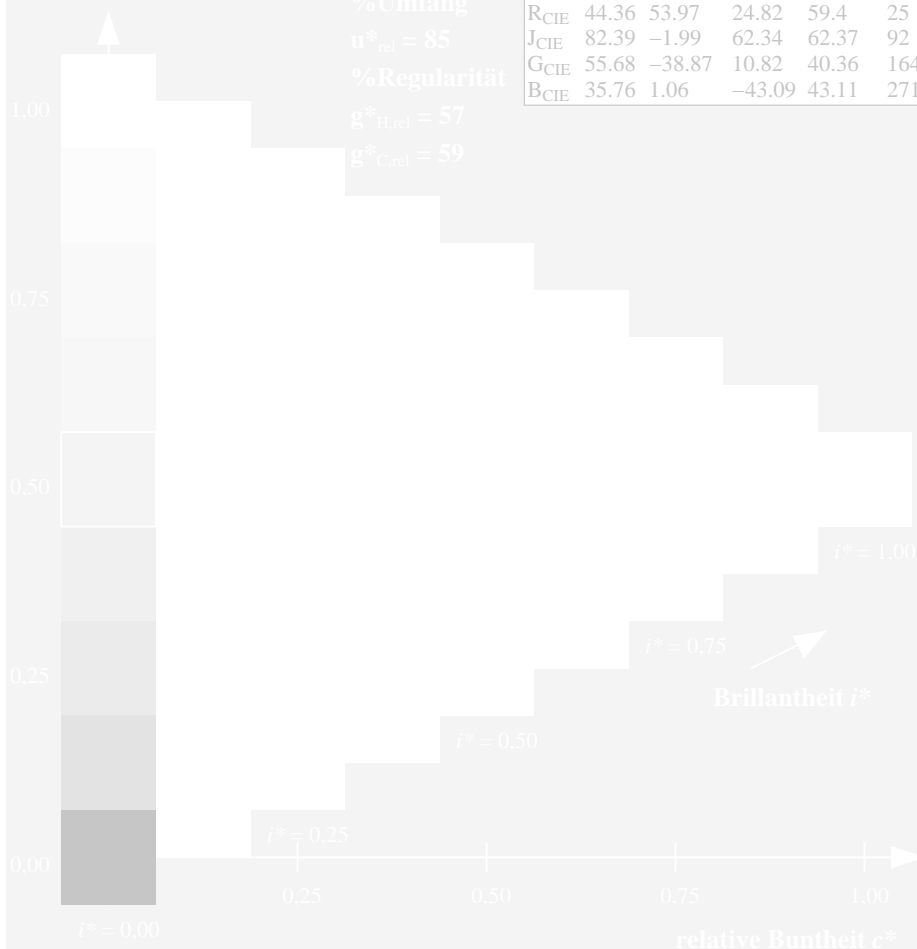
%Regularität

$g^*_{H,rel} = 57$

$g^*_{C,rel} = 59$

ORS18; adaptierte CIELAB-Daten

	$L^*=L^*_a$	$a^*_a$	$b^*_a$	$C^*_{ab,a}$	$h^*_{ab,a}$
R	51.79	63.09	29.02	69.44	25
R25J	53.73	56.6	48.42	74.48	41
R50J	65.47	35.67	59.82	69.65	59
R75J	76.51	15.98	70.55	72.34	77
J	86.93	-2.58	80.67	80.71	92
J25G	84.92	-17.23	75.99	77.92	103
J50G	73.11	-32.96	59.0	67.58	119
J75G	60.06	-50.34	40.22	64.44	141
G	56.21	-50.44	14.04	52.36	164
G25B	57.95	-43.12	-3.96	43.31	185
G50B	60.3	-33.22	-28.35	43.68	220
G75B	53.27	-12.42	-41.26	43.1	253
B	46.07	1.01	-41.12	41.15	271
B25R	34.63	22.38	-40.91	46.64	299
B50R	45.15	55.92	-18.57	58.93	342
B75R	51.85	65.84	12.67	67.04	11



ZG820-7F, 9stufige Reihen für konstanten CIELAB Buntton 38/360 = 0.105 (links)

Seite 21/60

ZG820-7F, 16stufige Reihen für konstanten CIELAB Buntton 38/360 = 0.105 (rechts) c n\*

BAM-Prüfvorlage ZG82; Farbmétrik-Systeme, Seite 21/60 Eingabe:  $rgb / cmy0 set(rgb/cmyk)color$

D65: 9 und 16stufige Farbreihen für 10 Bunttöne

Ausgabe:  $\rightarrow LAB^* \rightarrow cmyn5^* setcmykcolo$

Eingabe: Farbmétrisches Offset-Reflektiv-System ORS18

für Buntton  $h^* = lab^*h = 96/360 = 0,268$

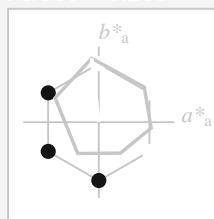
$lab^*tch$  und  $lab^*nch$

D65: Buntton Y

LCH\*Ma: 91 85 96

olv\*Ma: 1.0 1.0 0.0

Dreiecks-Helligkeit  $t^*$



%Umfang

$u^*_{rel} = 85$

%Regularität

$g^*_{H,rel} = 57$

$g^*_{C,rel} = 59$

ORS18; adaptierte CIELAB-Daten

	$L^*=L^*_a$	$a^*_a$	$b^*_a$	$C^*_{ab,a}$	$h^*_{ab,a}$
O <sub>Ma</sub>	51.74	60.16	46.48	76.02	38
Y <sub>Ma</sub>	90.77	-9.44	84.41	84.94	96
L <sub>Ma</sub>	54.46	-57.8	32.16	66.15	151
C <sub>Ma</sub>	61.56	-27.91	-41.41	49.95	236
V <sub>Ma</sub>	31.3	28.61	-40.85	49.88	305
M <sub>Ma</sub>	51.91	69.26	-7.69	69.68	354
N <sub>Ma</sub>	24.2	0.0	0.0	0.0	0
W <sub>Ma</sub>	95.41	0.0	0.0	0.0	0
R <sub>CIE</sub>	44.36	53.97	24.82	59.4	25
J <sub>CIE</sub>	82.39	-1.99	62.34	62.37	92
G <sub>CIE</sub>	55.68	-38.87	10.82	40.36	164
B <sub>CIE</sub>	35.76	1.06	-43.09	43.11	271

Ausgabe: Farbmétrisches Offset-Reflektiv-System ORS18

für Buntton  $h^* = lab^*h = 96/360 = 0,268$

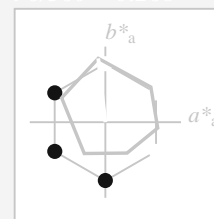
$lab^*tch$  und  $lab^*nch$

D65: Buntton Y

LCH\*Ma: 91 85 96

olv\*Ma: 1.0 1.0 0.0

Dreiecks-Helligkeit  $t^*$



%Umfang

$u^*_{rel} = 85$

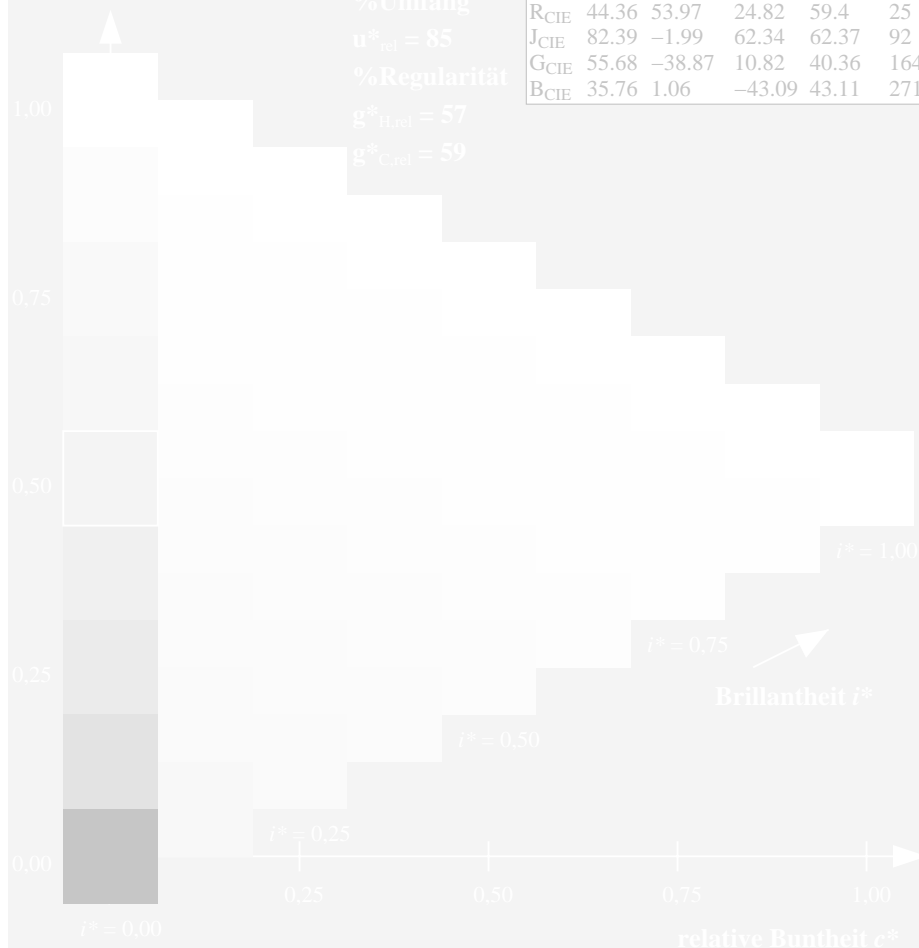
%Regularität

$g^*_{H,rel} = 57$

$g^*_{C,rel} = 59$

ORS18; adaptierte CIELAB-Daten

	$L^*=L^*_a$	$a^*_a$	$b^*_a$	$C^*_{ab,a}$	$h^*_{ab,a}$
R	51.79	63.09	29.02	69.44	25
R25J	53.73	56.6	48.42	74.48	41
R50J	65.47	35.67	59.82	69.65	59
R75J	76.51	15.98	70.55	72.34	77
J	86.93	-2.58	80.67	80.71	92
J25G	84.92	-17.23	75.99	77.92	103
J50G	73.11	-32.96	59.0	67.58	119
J75G	60.06	-50.34	40.22	64.44	141
G	56.21	-50.44	14.04	52.36	164
G25B	57.95	-43.12	-3.96	43.31	185
G50B	60.3	-33.22	-28.35	43.68	220
G75B	53.27	-12.42	-41.26	43.1	253
B	46.07	1.01	-41.12	41.15	271
B25R	34.63	22.38	-40.91	46.64	299
B50R	45.15	55.92	-18.57	58.93	342
B75R	51.85	65.84	12.67	67.04	11



ZG820-7F, 9stufige Reihen für konstanten CIELAB Buntton 96/360 = 0.268 (links)

Seite 22/60

ZG820-7F, 16stufige Reihen für konstanten CIELAB Buntton 96/360 = 0.268 (rechts) c n\*

BAM-Prüfvorlage ZG82; Farbmétrik-Systeme, Seite 22/60 Eingabe:  $rgb / cmy0 set(rgb/cmyk)color$   
D65: 9 und 16stufige Farbreihen für 10 Bunttöne Ausgabe:  $\rightarrow LAB^* \rightarrow cmy5^* setcmykcolo$

Siehe ähnliche Dateien: <http://www.ps.bam.de/ZG82/>; [www.ps.bam.de](http://www.ps.bam.de) Version 2.1, io=1,1, CIELAB  
Technische Information: <http://www.ps.bam.de>

BAM-Registrierung: 20071001-ZG82/10L/L82G00FP.PS/.PDF BAM-Material: Code=rhata  
Anwendung für Beurteilung und Messung von Drucker- oder Monitorsystemen

Eingabe: Farbmétrisches Offset-Reflektiv-System ORS18

für Buntton  $h^* = lab^*h = 151/360 = 0.419$

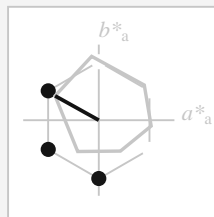
$lab^*ch$  und  $lab^*nch$

D65: Buntton L

LCH\*Ma: 54 66 151

olv\*Ma: 0.0 1.0 0.0

Dreiecks-Helligkeit  $t^*$



%Umfang

$u^*_{rel} = 85$

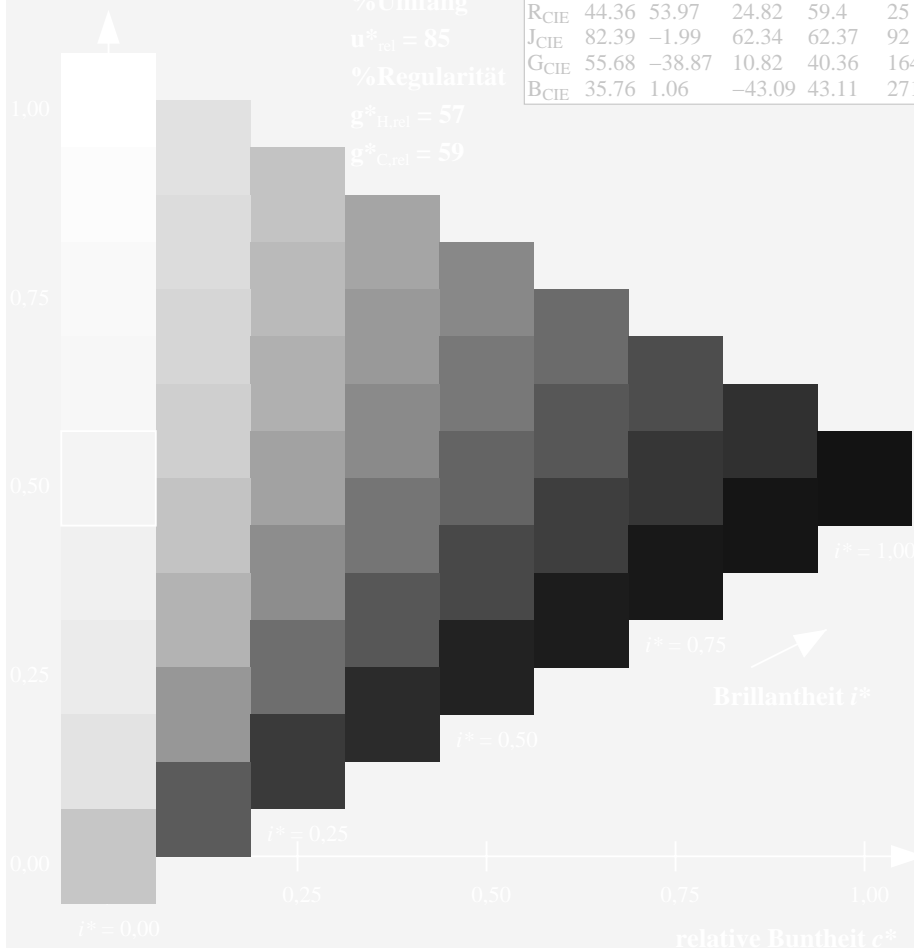
%Regularität

$g^*_{H,rel} = 57$

$g^*_{C,rel} = 59$

ORS18; adaptierte CIELAB-Daten

	$L^*=L^*_a$	$a^*_a$	$b^*_a$	$C^*_{ab,a}$	$h^*_{ab,a}$
O <sub>Ma</sub>	51.74	60.16	46.48	76.02	38
Y <sub>Ma</sub>	90.77	-9.44	84.41	84.94	96
L <sub>Ma</sub>	54.46	-57.8	32.16	66.15	151
C <sub>Ma</sub>	61.56	-27.91	-41.41	49.95	236
V <sub>Ma</sub>	31.3	28.61	-40.85	49.88	305
M <sub>Ma</sub>	51.91	69.26	-7.69	69.68	354
N <sub>Ma</sub>	24.2	0.0	0.0	0.0	0
W <sub>Ma</sub>	95.41	0.0	0.0	0.0	0
R <sub>CIE</sub>	44.36	53.97	24.82	59.4	25
J <sub>CIE</sub>	82.39	-1.99	62.34	62.37	92
G <sub>CIE</sub>	55.68	-38.87	10.82	40.36	164
B <sub>CIE</sub>	35.76	1.06	-43.09	43.11	271



Ausgabe: Farbmétrisches Offset-Reflektiv-System ORS18

für Buntton  $h^* = lab^*h = 151/360 = 0.419$

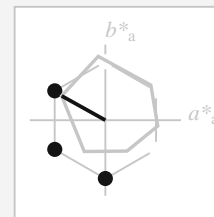
$lab^*ch$  und  $lab^*nch$

D65: Buntton L

LCH\*Ma: 54 66 151

olv\*Ma: 0.0 1.0 0.0

Dreiecks-Helligkeit  $t^*$



%Umfang

$u^*_{rel} = 85$

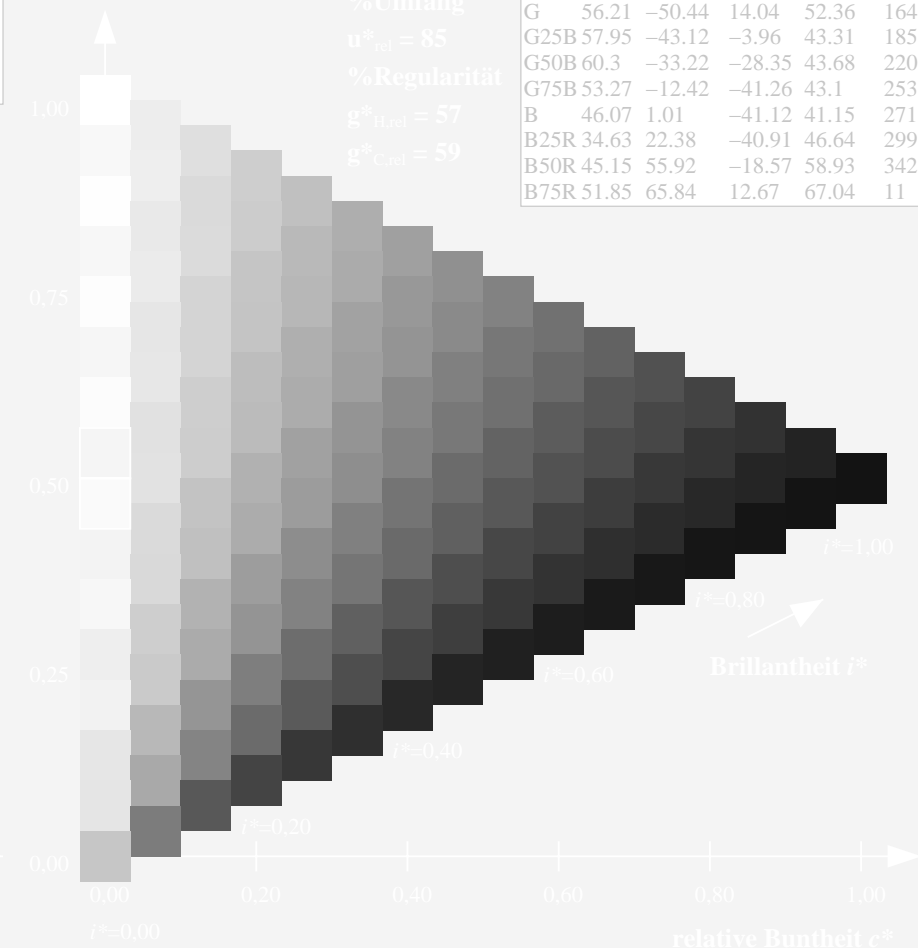
%Regularität

$g^*_{H,rel} = 57$

$g^*_{C,rel} = 59$

ORS18; adaptierte CIELAB-Daten

	$L^*=L^*_a$	$a^*_a$	$b^*_a$	$C^*_{ab,a}$	$h^*_{ab,a}$
R	51.79	63.09	29.02	69.44	25
R25J	53.73	56.6	48.42	74.48	41
R50J	65.47	35.67	59.82	69.65	59
R75J	76.51	15.98	70.55	72.34	77
J	86.93	-2.58	80.67	80.71	92
J25G	84.92	-17.23	75.99	77.92	103
J50G	73.11	-32.96	59.0	67.58	119
J75G	60.06	-50.34	40.22	64.44	141
G	56.21	-50.44	14.04	52.36	164
G25B	57.95	-43.12	-3.96	43.31	185
G50B	60.3	-33.22	-28.35	43.68	220
G75B	53.27	-12.42	-41.26	43.1	253
B	46.07	1.01	-41.12	41.15	271
B25R	34.63	22.38	-40.91	46.64	299
B50R	45.15	55.92	-18.57	58.93	342
B75R	51.85	65.84	12.67	67.04	11



ZG820-7F, 9stufige Reihen für konstanten CIELAB Buntton 151/360 = 0.419 (links)

Seite 23/60

ZG820-7F, 16stufige Reihen für konstanten CIELAB Buntton 151/360 = 0.419 (rechts) c n\*

BAM-Prüfvorlage ZG82; Farbmétrik-Systeme, Seite 23/60 Eingabe:  $rgb / cmy0 set(rgb/cmyk)color$

D65: 9 und 16stufige Farbreihen für 10 Bunttöne

Ausgabe:  $\rightarrow LAB^* \rightarrow cmy5^* setcmykcolo$

Eingabe: Farbmétrisches Offset-Reflektiv-System ORS18

für Buntton  $h^* = lab^*h = 236/360 = 0.656$

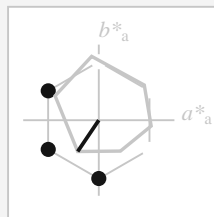
$lab^*ch$  und  $lab^*nch$

D65: Buntton C

LCH\*Ma: 62 50 236

olv\*Ma: 0.0 1.0 1.0

Dreiecks-Helligkeit  $t^*$



%Umfang

$u^*_{rel} = 85$

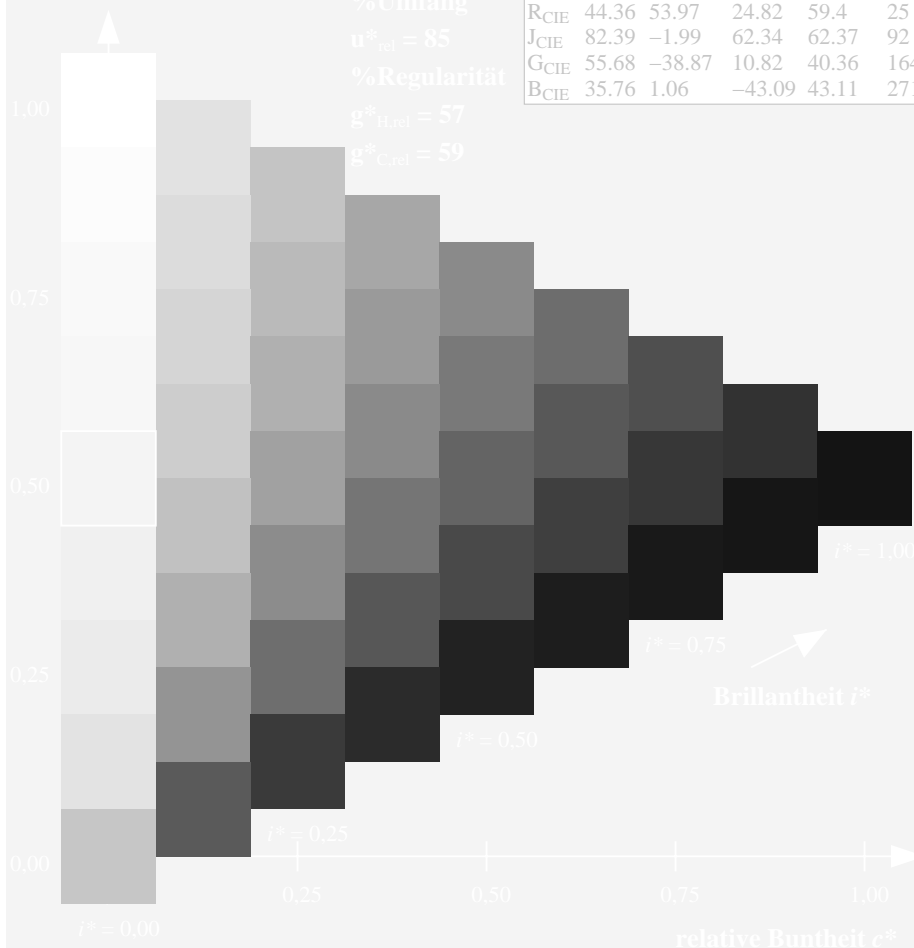
%Regularität

$g^*_{H,rel} = 57$

$g^*_{C,rel} = 59$

ORS18; adaptierte CIELAB-Daten

	$L^*=L^*_a$	$a^*_a$	$b^*_a$	$C^*_{ab,a}$	$h^*_{ab,a}$
O <sub>Ma</sub>	51.74	60.16	46.48	76.02	38
Y <sub>Ma</sub>	90.77	-9.44	84.41	84.94	96
L <sub>Ma</sub>	54.46	-57.8	32.16	66.15	151
C <sub>Ma</sub>	61.56	-27.91	-41.41	49.95	236
V <sub>Ma</sub>	31.3	28.61	-40.85	49.88	305
M <sub>Ma</sub>	51.91	69.26	-7.69	69.68	354
N <sub>Ma</sub>	24.2	0.0	0.0	0.0	0
W <sub>Ma</sub>	95.41	0.0	0.0	0.0	0
R <sub>CIE</sub>	44.36	53.97	24.82	59.4	25
J <sub>CIE</sub>	82.39	-1.99	62.34	62.37	92
G <sub>CIE</sub>	55.68	-38.87	10.82	40.36	164
B <sub>CIE</sub>	35.76	1.06	-43.09	43.11	271



ZG820-7F, 9stufige Reihen für konstanten CIELAB Buntton 236/360 = 0.656 (links)

Seite 24/60

BAM-Prüfvorlage ZG82; Farbmétrik-Systeme, Seite 24/60  
D65: 9 und 16stufige Farbreihen für 10 Bunttöne

Ausgabe: Farbmétrisches Offset-Reflektiv-System ORS18

für Buntton  $h^* = lab^*h = 236/360 = 0.656$

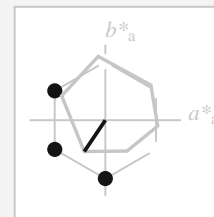
$lab^*ch$  und  $lab^*nch$

D65: Buntton C

LCH\*Ma: 62 50 236

olv\*Ma: 0.0 1.0 1.0

Dreiecks-Helligkeit  $t^*$



%Umfang

$u^*_{rel} = 85$

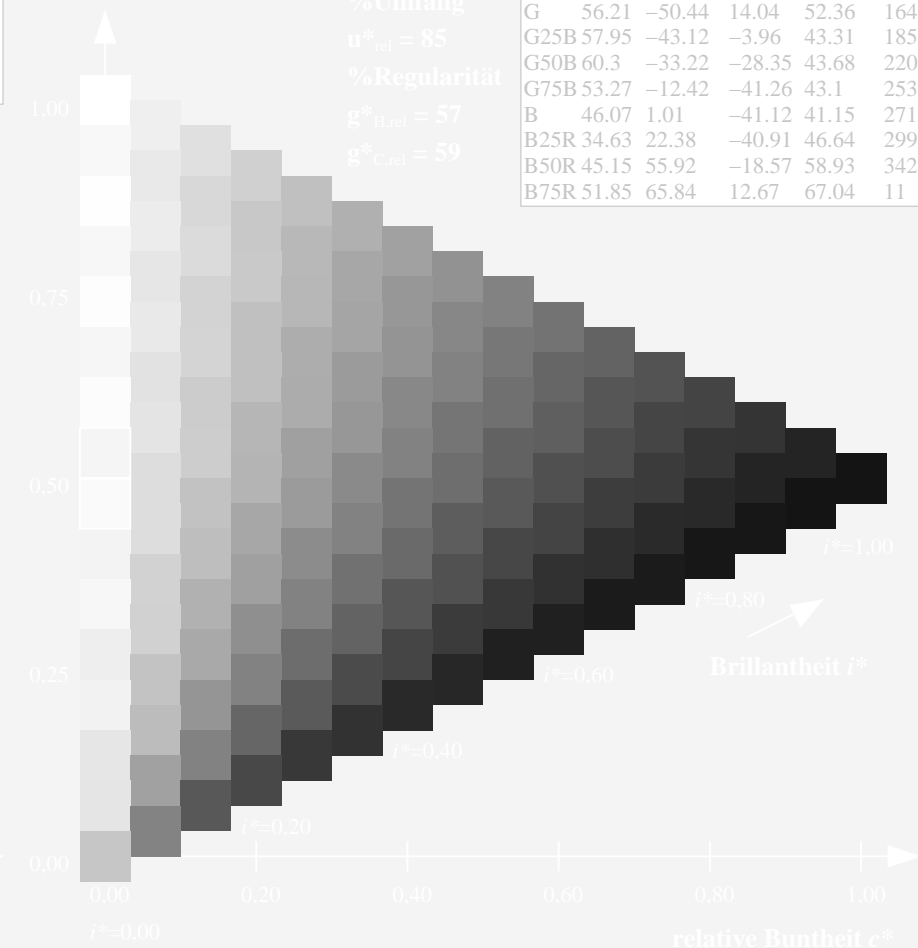
%Regularität

$g^*_{H,rel} = 57$

$g^*_{C,rel} = 59$

ORS18; adaptierte CIELAB-Daten

	$L^*=L^*_a$	$a^*_a$	$b^*_a$	$C^*_{ab,a}$	$h^*_{ab,a}$
R	51.79	63.09	29.02	69.44	25
R25J	53.73	56.6	48.42	74.48	41
R50J	65.47	35.67	59.82	69.65	59
R75J	76.51	15.98	70.55	72.34	77
J	86.93	-2.58	80.67	80.71	92
J25G	84.92	-17.23	75.99	77.92	103
J50G	73.11	-32.96	59.0	67.58	119
J75G	60.06	-50.34	40.22	64.44	141
G	56.21	-50.44	14.04	52.36	164
G25B	57.95	-43.12	-3.96	43.31	185
G50B	60.3	-33.22	-28.35	43.68	220
G75B	53.27	-12.42	-41.26	43.1	253
B	46.07	1.01	-41.12	41.15	271
B25R	34.63	22.38	-40.91	46.64	299
B50R	45.15	55.92	-18.57	58.93	342
B75R	51.85	65.84	12.67	67.04	11



ZG820-7F, 16stufige Reihen für konstanten CIELAB Buntton 236/360 = 0.656 (rechts) c n\*

Eingabe:  $rgb / cmy0 set(rgb/cmyk)color$   
Ausgabe:  $\rightarrow LAB^* \rightarrow cmy5^* setcmykcolo$

Eingabe: Farbmétrisches Offset-Reflektiv-System ORS18

für Buntton  $h^* = lab^*h = 305/360 = 0.847$

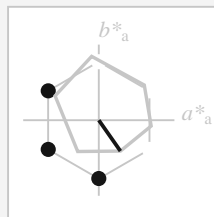
$lab^*ch$  und  $lab^*nh$

D65: Buntton V

LCH\*Ma: 31 50 305

olv\*Ma: 0.0 0.0 1.0

Dreiecks-Helligkeit  $t^*$



%Umfang

$u^*_{rel} = 85$

%Regularität

$g^*_{H,rel} = 57$

$g^*_{C,rel} = 59$

ORS18; adaptierte CIELAB-Daten

	$L^*=L^*_a$	$a^*_a$	$b^*_a$	$C^*_{ab,a}$	$h^*_{ab,a}$
O <sub>Ma</sub>	51.74	60.16	46.48	76.02	38
Y <sub>Ma</sub>	90.77	-9.44	84.41	84.94	96
L <sub>Ma</sub>	54.46	-57.8	32.16	66.15	151
C <sub>Ma</sub>	61.56	-27.91	-41.41	49.95	236
V <sub>Ma</sub>	31.3	28.61	-40.85	49.88	305
M <sub>Ma</sub>	51.91	69.26	-7.69	69.68	354
N <sub>Ma</sub>	24.2	0.0	0.0	0.0	0
W <sub>Ma</sub>	95.41	0.0	0.0	0.0	0
R <sub>CIE</sub>	44.36	53.97	24.82	59.4	25
J <sub>CIE</sub>	82.39	-1.99	62.34	62.37	92
G <sub>CIE</sub>	55.68	-38.87	10.82	40.36	164
B <sub>CIE</sub>	35.76	1.06	-43.09	43.11	271

Ausgabe: Farbmétrisches Offset-Reflektiv-System ORS18

für Buntton  $h^* = lab^*h = 305/360 = 0.847$

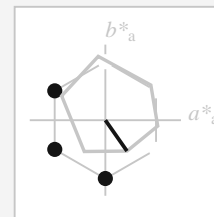
$lab^*ch$  und  $lab^*nh$

D65: Buntton V

LCH\*Ma: 31 50 305

olv\*Ma: 0.0 0.0 1.0

Dreiecks-Helligkeit  $t^*$



%Umfang

$u^*_{rel} = 85$

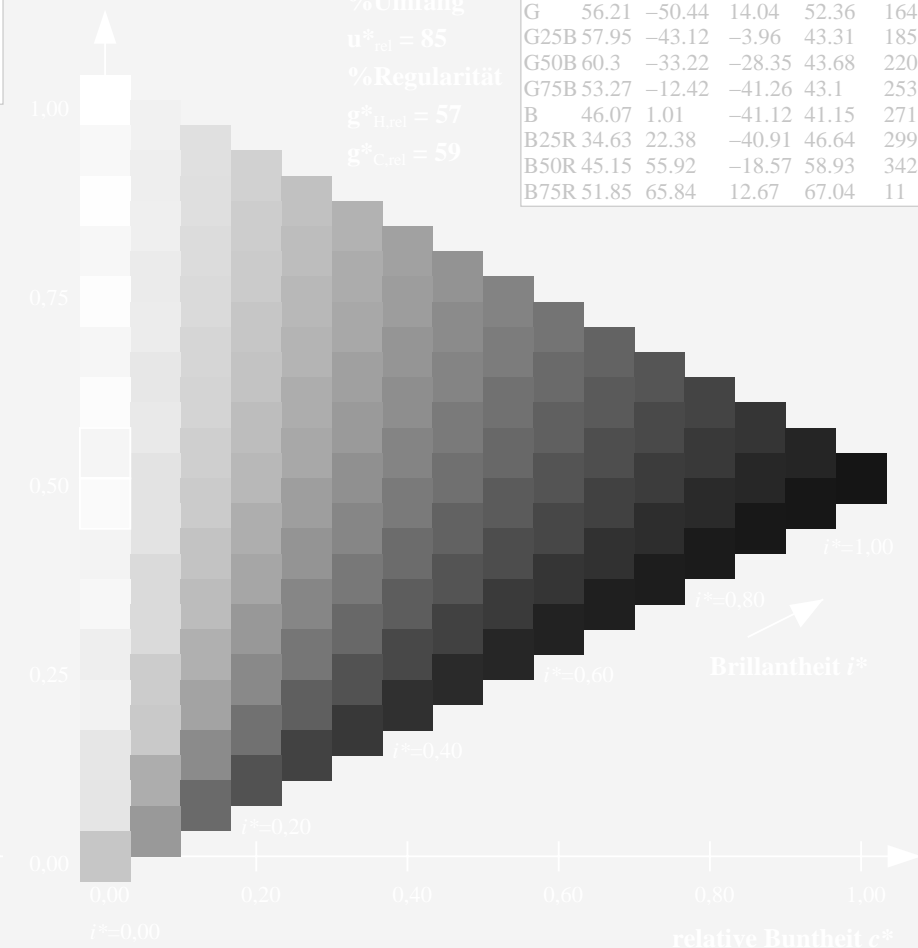
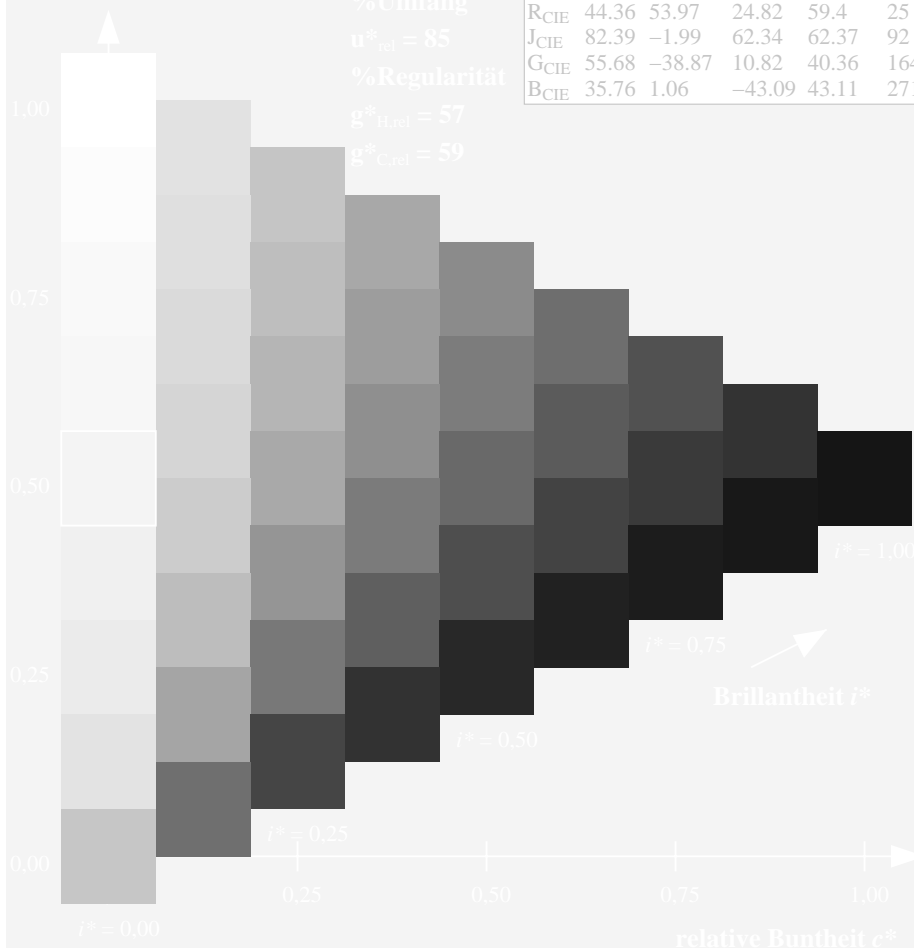
%Regularität

$g^*_{H,rel} = 57$

$g^*_{C,rel} = 59$

ORS18; adaptierte CIELAB-Daten

	$L^*=L^*_a$	$a^*_a$	$b^*_a$	$C^*_{ab,a}$	$h^*_{ab,a}$
R	51.79	63.09	29.02	69.44	25
R25J	53.73	56.6	48.42	74.48	41
R50J	65.47	35.67	59.82	69.65	59
R75J	76.51	15.98	70.55	72.34	77
J	86.93	-2.58	80.67	80.71	92
J25G	84.92	-17.23	75.99	77.92	103
J50G	73.11	-32.96	59.0	67.58	119
J75G	60.06	-50.34	40.22	64.44	141
G	56.21	-50.44	14.04	52.36	164
G25B	57.95	-43.12	-3.96	43.31	185
G50B	60.3	-33.22	-28.35	43.68	220
G75B	53.27	-12.42	-41.26	43.1	253
B	46.07	1.01	-41.12	41.15	271
B25R	34.63	22.38	-40.91	46.64	299
B50R	45.15	55.92	-18.57	58.93	342
B75R	51.85	65.84	12.67	67.04	11



Eingabe: Farbmétrisches Offset-Reflektiv-System ORS18

für Buntton  $h^* = lab^*h = 354/360 = 0,982$

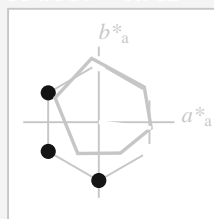
$lab^*tch$  und  $lab^*nch$

D65: Buntton M

LCH\*Ma: 52 70 354

olv\*Ma: 1.0 0.0 1.0

Dreiecks-Helligkeit  $t^*$



%Umfang

$u^*_{rel} = 85$

%Regularität

$g^*_{H,rel} = 57$

$g^*_{C,rel} = 59$

ORS18; adaptierte CIELAB-Daten

	$L^*=L^*_a$	$a^*_a$	$b^*_a$	$C^*_{ab,a}$	$h^*_{ab,a}$
O <sub>Ma</sub>	51.74	60.16	46.48	76.02	38
Y <sub>Ma</sub>	90.77	-9.44	84.41	84.94	96
L <sub>Ma</sub>	54.46	-57.8	32.16	66.15	151
C <sub>Ma</sub>	61.56	-27.91	-41.41	49.95	236
V <sub>Ma</sub>	31.3	28.61	-40.85	49.88	305
M <sub>Ma</sub>	51.91	69.26	-7.69	69.68	354
N <sub>Ma</sub>	24.2	0.0	0.0	0.0	0
W <sub>Ma</sub>	95.41	0.0	0.0	0.0	0
R <sub>CIE</sub>	44.36	53.97	24.82	59.4	25
J <sub>CIE</sub>	82.39	-1.99	62.34	62.37	92
G <sub>CIE</sub>	55.68	-38.87	10.82	40.36	164
B <sub>CIE</sub>	35.76	1.06	-43.09	43.11	271

Ausgabe: Farbmétrisches Offset-Reflektiv-System ORS18

für Buntton  $h^* = lab^*h = 354/360 = 0,982$

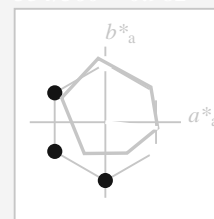
$lab^*tch$  und  $lab^*nch$

D65: Buntton M

LCH\*Ma: 52 70 354

olv\*Ma: 1.0 0.0 1.0

Dreiecks-Helligkeit  $t^*$



%Umfang

$u^*_{rel} = 85$

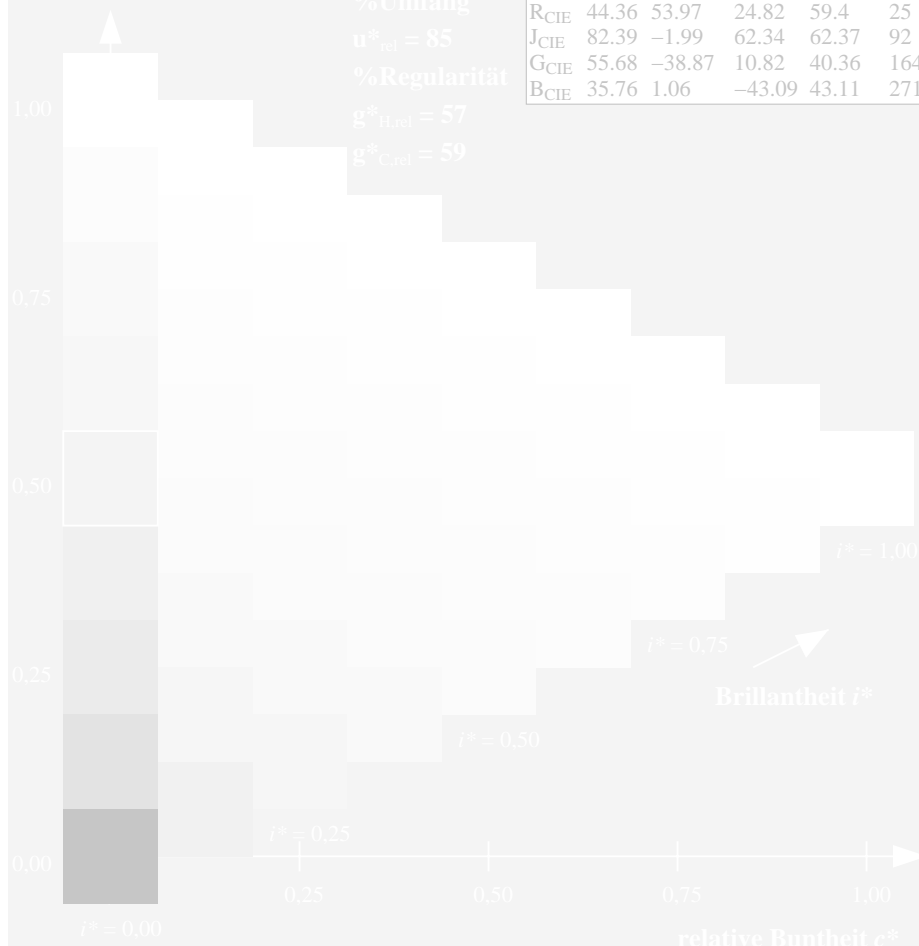
%Regularität

$g^*_{H,rel} = 57$

$g^*_{C,rel} = 59$

ORS18; adaptierte CIELAB-Daten

	$L^*=L^*_a$	$a^*_a$	$b^*_a$	$C^*_{ab,a}$	$h^*_{ab,a}$
R	51.79	63.09	29.02	69.44	25
R25J	53.73	56.6	48.42	74.48	41
R50J	65.47	35.67	59.82	69.65	59
R75J	76.51	15.98	70.55	72.34	77
J	86.93	-2.58	80.67	80.71	92
J25G	84.92	-17.23	75.99	77.92	103
J50G	73.11	-32.96	59.0	67.58	119
J75G	60.06	-50.34	40.22	64.44	141
G	56.21	-50.44	14.04	52.36	164
G25B	57.95	-43.12	-3.96	43.31	185
G50B	60.3	-33.22	-28.35	43.68	220
G75B	53.27	-12.42	-41.26	43.1	253
B	46.07	1.01	-41.12	41.15	271
B25R	34.63	22.38	-40.91	46.64	299
B50R	45.15	55.92	-18.57	58.93	342
B75R	51.85	65.84	12.67	67.04	11



ZG820-7F, 9stufige Reihen für konstanten CIELAB Buntton 354/360 = 0.982 (links) Seite 26/60

ZG820-7F, 16stufige Reihen für konstanten CIELAB Buntton 354/360 = 0.982 (rechts) c n\*



Eingabe: Farbmétrisches Offset-Reflektiv-System ORS18

für Buntton  $h^* = lab^*h = 25/360 = 0.069$

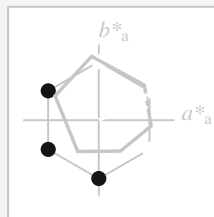
$lab^*tch$  und  $lab^*nch$

D65: Buntton R

LCH\*Ma: 52 69 25

olv\*Ma: 1.0 0.0 0.32

Dreiecks-Helligkeit  $t^*$



%Umfang

$u^*_{rel} = 85$

%Regularität

$g^*_{H,rel} = 57$

$g^*_{C,rel} = 59$

ORS18; adaptierte CIELAB-Daten

	$L^*=L^*_a$	$a^*_a$	$b^*_a$	$C^*_{ab,a}$	$h^*_{ab,a}$
O <sub>Ma</sub>	51.74	60.16	46.48	76.02	38
Y <sub>Ma</sub>	90.77	-9.44	84.41	84.94	96
L <sub>Ma</sub>	54.46	-57.8	32.16	66.15	151
C <sub>Ma</sub>	61.56	-27.91	-41.41	49.95	236
V <sub>Ma</sub>	31.3	28.61	-40.85	49.88	305
M <sub>Ma</sub>	51.91	69.26	-7.69	69.68	354
N <sub>Ma</sub>	24.2	0.0	0.0	0.0	0
W <sub>Ma</sub>	95.41	0.0	0.0	0.0	0
R <sub>CIE</sub>	44.36	53.97	24.82	59.4	25
J <sub>CIE</sub>	82.39	-1.99	62.34	62.37	92
G <sub>CIE</sub>	55.68	-38.87	10.82	40.36	164
B <sub>CIE</sub>	35.76	1.06	-43.09	43.11	271

Ausgabe: Farbmétrisches Offset-Reflektiv-System ORS18

für Buntton  $h^* = lab^*h = 25/360 = 0.069$

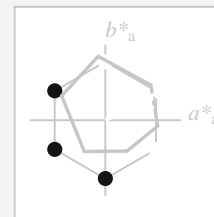
$lab^*tch$  und  $lab^*nch$

D65: Buntton R

LCH\*Ma: 52 69 25

olv\*Ma: 1.0 0.0 0.32

Dreiecks-Helligkeit  $t^*$



%Umfang

$u^*_{rel} = 85$

%Regularität

$g^*_{H,rel} = 57$

$g^*_{C,rel} = 59$

ORS18; adaptierte CIELAB-Daten

	$L^*=L^*_a$	$a^*_a$	$b^*_a$	$C^*_{ab,a}$	$h^*_{ab,a}$
R	51.79	63.09	29.02	69.44	25
R25J	53.73	56.6	48.42	74.48	41
R50J	65.47	35.67	59.82	69.65	59
R75J	76.51	15.98	70.55	72.34	77
J	86.93	-2.58	80.67	80.71	92
J25G	84.92	-17.23	75.99	77.92	103
J50G	73.11	-32.96	59.0	67.58	119
J75G	60.06	-50.34	40.22	64.44	141
G	56.21	-50.44	14.04	52.36	164
G25B	57.95	-43.12	-3.96	43.31	185
G50B	60.3	-33.22	-28.35	43.68	220
G75B	53.27	-12.42	-41.26	43.1	253
B	46.07	1.01	-41.12	41.15	271
B25R	34.63	22.38	-40.91	46.64	299
B50R	45.15	55.92	-18.57	58.93	342
B75R	51.85	65.84	12.67	67.04	11

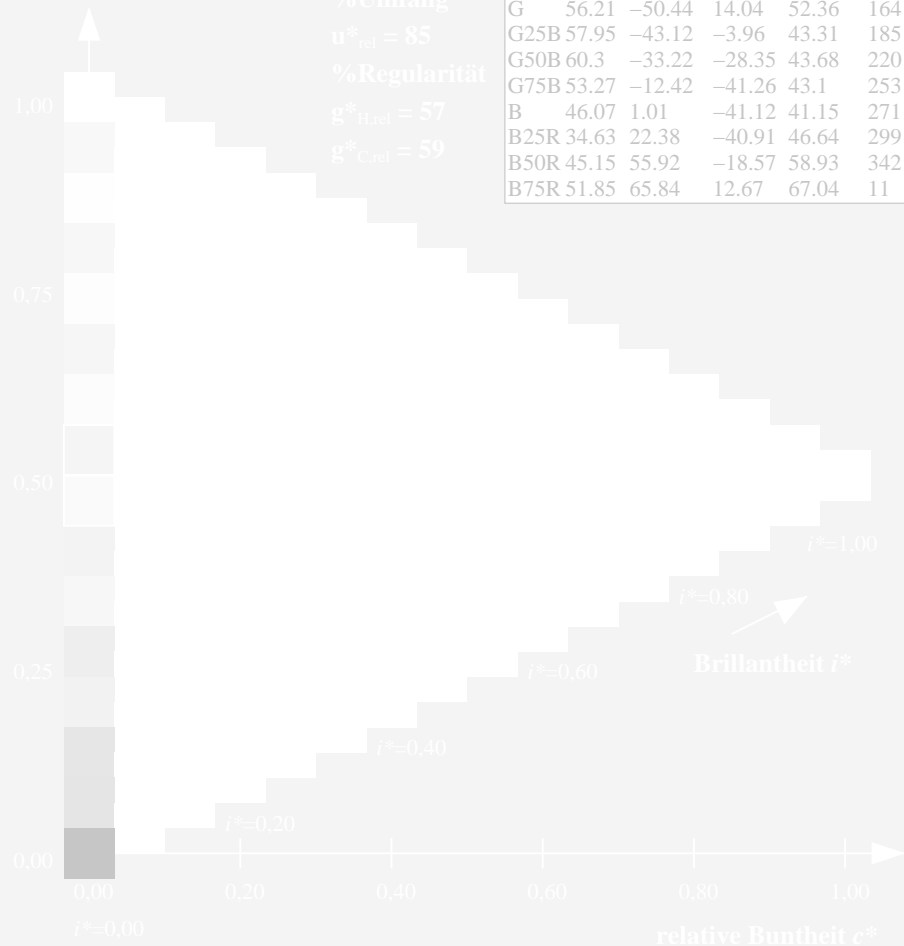
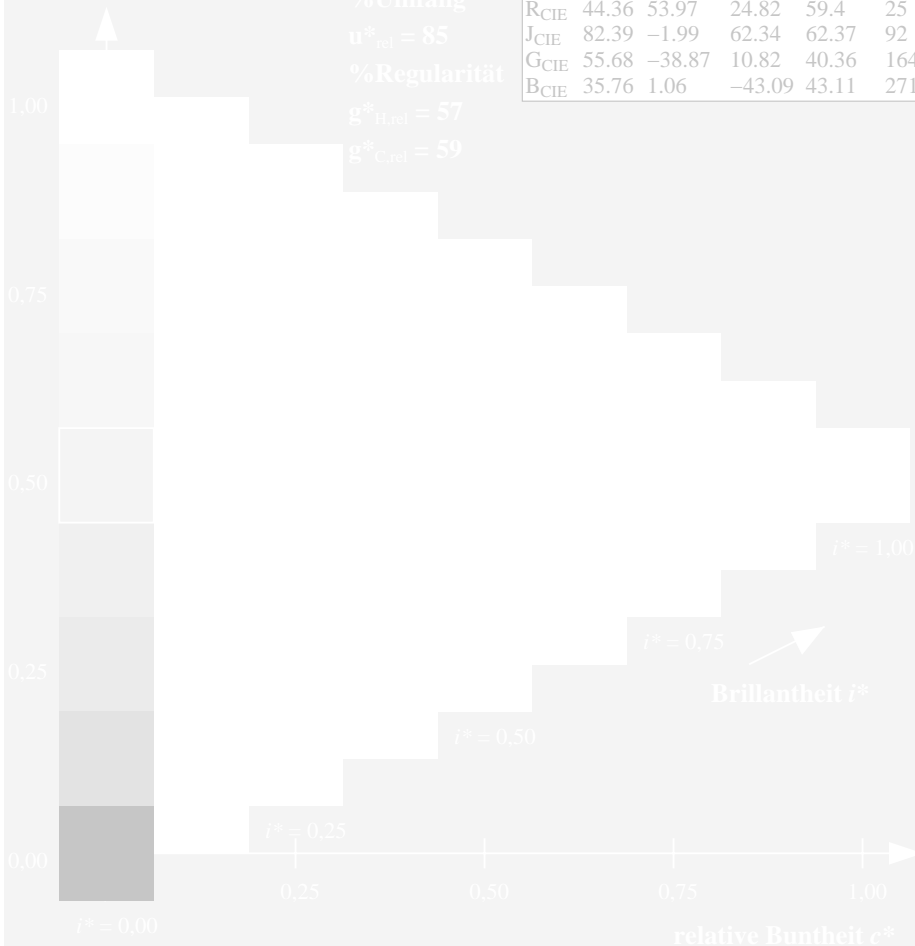
%Umfang

$u^*_{rel} = 85$

%Regularität

$g^*_{H,rel} = 57$

$g^*_{C,rel} = 59$



ZG820-7F, 9stufige Reihen für konstanten CIELAB Buntton 25/360 = 0.069 (links)

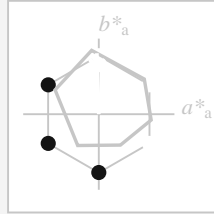
Seite 27/60

ZG820-7F, 16stufige Reihen für konstanten CIELAB Buntton 25/360 = 0.069 (rechts) c n\*

BAM-Prüfvorlage ZG82; Farbmétrik-Systeme, Seite 27/60 Eingabe:  $rgb / cmy0 set(rgb/cmyk)color$

D65: 9 und 16stufige Farbreihen für 10 Bunttöne

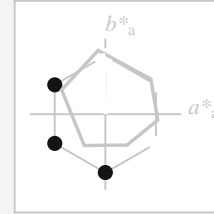
Ausgabe:  $\rightarrow LAB^* \rightarrow cmy5^* setcmykcolo$



ORS18; adaptierte CIELAB-Daten					
	$L^*_a$	$a^*_a$	$b^*_a$	$C^*_{ab,a}$	$h^*_{ab,a}$
O <sub>Ma</sub>	51.74	60.16	46.48	76.02	38
Y <sub>Ma</sub>	90.77	-9.44	84.41	84.94	96
L <sub>Ma</sub>	54.46	-57.8	32.16	66.15	151
C <sub>Ma</sub>	61.56	-27.91	-41.41	49.95	236
V <sub>Ma</sub>	31.3	28.61	-40.85	49.88	305
M <sub>Ma</sub>	51.91	69.26	-7.69	69.68	354
N <sub>Ma</sub>	24.2	0.0	0.0	0.0	0
W <sub>Ma</sub>	95.41	0.0	0.0	0.0	0
R <sub>CIE</sub>	44.36	53.97	24.82	59.4	25
J <sub>CIE</sub>	82.39	-1.99	62.34	62.37	92
G <sub>CIE</sub>	55.68	-38.87	10.82	40.36	164
B <sub>CIE</sub>	35.76	1.06	-43.09	43.11	271

Seite 28/60

Ausgabe:  $\rightarrow LAB^* \rightarrow cmyn5^* setcmykcolor$



ORS18; adaptierte CIELAB-Daten					
	$L^*_{a}$	$a^*_{a}$	$b^*_{a}$	$C^*_{ab,a}$	$h^*_{ab,a}$
R	51.79	63.09	29.02	69.44	25
R25J	53.73	56.6	48.42	74.48	41
R50J	65.47	35.67	59.82	69.65	59
R75J	76.51	15.98	70.55	72.34	77
J	86.93	-2.58	80.67	80.71	92
J25G	84.92	-17.23	75.99	77.92	103
J50G	73.11	-32.96	59.0	67.58	119
J75G	60.06	-50.34	40.22	64.44	141
G	56.21	-50.44	14.04	52.36	164
G25B	57.95	-43.12	-3.96	43.31	185
G50B	60.3	-33.22	-28.35	43.68	220
G75B	53.27	-12.42	-41.26	43.1	253
B	46.07	1.01	-41.12	41.15	271
B25R	34.63	22.38	-40.91	46.64	299
B50R	45.15	55.92	-18.57	58.93	342
B75R	51.85	65.84	12.67	67.04	11

$$/360 = 0.255 \text{ (rechts)} \quad \mathbf{c} \quad n^*$$

Eingabe: Farbmétrisches Offset-Reflektiv-System ORS18

für Buntton  $h^* = lab^*h = 164/360 = 0.457$

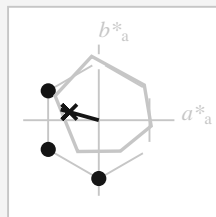
$lab^*ch$  und  $lab^*nch$

D65: Buntton G

LCH\*Ma: 56 52 164

olv\*Ma: 0.0 1.0 0.25

Dreiecks-Helligkeit  $t^*$



%Umfang

$u^*_{rel} = 85$

%Regularität

$g^*_{H,rel} = 57$

$g^*_{C,rel} = 59$

ORS18; adaptierte CIELAB-Daten

	$L^*=L^*_a$	$a^*_a$	$b^*_a$	$C^*_{ab,a}$	$h^*_{ab,a}$
O <sub>Ma</sub>	51.74	60.16	46.48	76.02	38
Y <sub>Ma</sub>	90.77	-9.44	84.41	84.94	96
L <sub>Ma</sub>	54.46	-57.8	32.16	66.15	151
C <sub>Ma</sub>	61.56	-27.91	-41.41	49.95	236
V <sub>Ma</sub>	31.3	28.61	-40.85	49.88	305
M <sub>Ma</sub>	51.91	69.26	-7.69	69.68	354
N <sub>Ma</sub>	24.2	0.0	0.0	0.0	0
W <sub>Ma</sub>	95.41	0.0	0.0	0.0	0
R <sub>CIE</sub>	44.36	53.97	24.82	59.4	25
J <sub>CIE</sub>	82.39	-1.99	62.34	62.37	92
G <sub>CIE</sub>	55.68	-38.87	10.82	40.36	164
B <sub>CIE</sub>	35.76	1.06	-43.09	43.11	271

Ausgabe: Farbmétrisches Offset-Reflektiv-System ORS18

für Buntton  $h^* = lab^*h = 164/360 = 0.457$

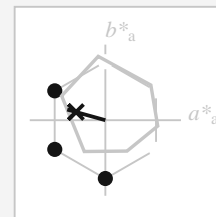
$lab^*ch$  und  $lab^*nch$

D65: Buntton G

LCH\*Ma: 56 52 164

olv\*Ma: 0.0 1.0 0.25

Dreiecks-Helligkeit  $t^*$



%Umfang

$u^*_{rel} = 85$

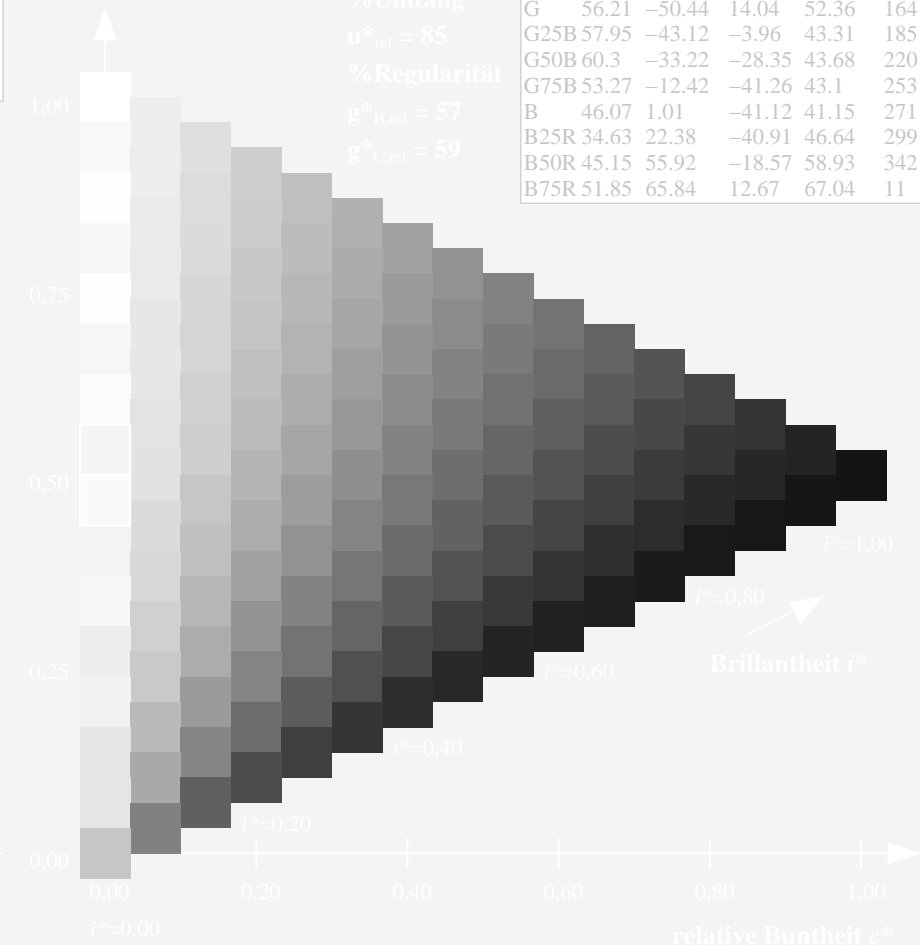
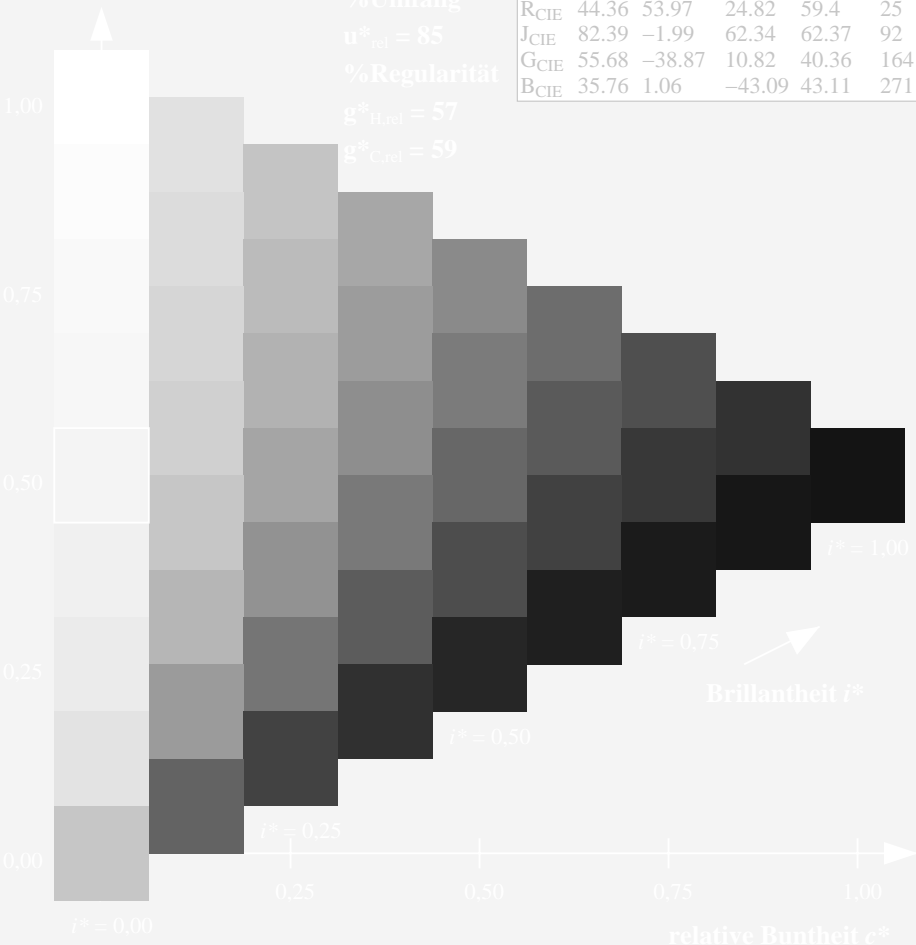
%Regularität

$g^*_{H,rel} = 57$

$g^*_{C,rel} = 59$

ORS18; adaptierte CIELAB-Daten

	$L^*=L^*_a$	$a^*_a$	$b^*_a$	$C^*_{ab,a}$	$h^*_{ab,a}$
R	51.79	63.09	29.02	69.44	25
R25J	53.73	56.6	48.42	74.48	41
R50J	65.47	35.67	59.82	69.65	59
R75J	76.51	15.98	70.55	72.34	77
J	86.93	-2.58	80.67	80.71	92
J25G	84.92	-17.23	75.99	77.92	103
J50G	73.11	-32.96	59.0	67.58	119
J75G	60.06	-50.34	40.22	64.44	141
G	56.21	-50.44	14.04	52.36	164
G25B	57.95	-43.12	-3.96	43.31	185
G50B	60.3	-33.22	-28.35	43.68	220
G75B	53.27	-12.42	-41.26	43.1	253
B	46.07	1.01	-41.12	41.15	271
B25R	34.63	22.38	-40.91	46.64	299
B50R	45.15	55.92	-18.57	58.93	342
B75R	51.85	65.84	12.67	67.04	11



ZG820-7F, 9stufige Reihen für konstanten CIELAB Buntton 164/360 = 0.457 (links) Seite 29/60

ZG820-7F, 16stufige Reihen für konstanten CIELAB Buntton 164/360 = 0.457 (rechts) c n\*

Eingabe: Farbmétrisches Offset-Reflektiv-System ORS18

für Buntton  $h^* = lab^*h = 271/360 = 0.754$

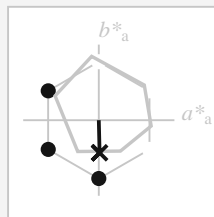
$lab^*ch$  und  $lab^*nh$

D65: Buntton B

LCH\*Ma: 46 41 271

olv\*Ma: 0.0 0.49 1.0

Dreiecks-Helligkeit  $t^*$



%Umfang

$u^*_{rel} = 85$

%Regularität

$g^*_{H,rel} = 57$

$g^*_{C,rel} = 59$

ORS18; adaptierte CIELAB-Daten

	$L^*=L^*_a$	$a^*_a$	$b^*_a$	$C^*_{ab,a}$	$h^*_{ab,a}$
O <sub>Ma</sub>	51.74	60.16	46.48	76.02	38
Y <sub>Ma</sub>	90.77	-9.44	84.41	84.94	96
L <sub>Ma</sub>	54.46	-57.8	32.16	66.15	151
C <sub>Ma</sub>	61.56	-27.91	-41.41	49.95	236
V <sub>Ma</sub>	31.3	28.61	-40.85	49.88	305
M <sub>Ma</sub>	51.91	69.26	-7.69	69.68	354
N <sub>Ma</sub>	24.2	0.0	0.0	0.0	0
W <sub>Ma</sub>	95.41	0.0	0.0	0.0	0
R <sub>CIE</sub>	44.36	53.97	24.82	59.4	25
J <sub>CIE</sub>	82.39	-1.99	62.34	62.37	92
G <sub>CIE</sub>	55.68	-38.87	10.82	40.36	164
B <sub>CIE</sub>	35.76	1.06	-43.09	43.11	271

Ausgabe: Farbmétrisches Offset-Reflektiv-System ORS18

für Buntton  $h^* = lab^*h = 271/360 = 0.754$

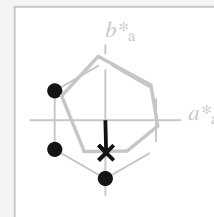
$lab^*ch$  und  $lab^*nh$

D65: Buntton B

LCH\*Ma: 46 41 271

olv\*Ma: 0.0 0.49 1.0

Dreiecks-Helligkeit  $t^*$



%Umfang

$u^*_{rel} = 85$

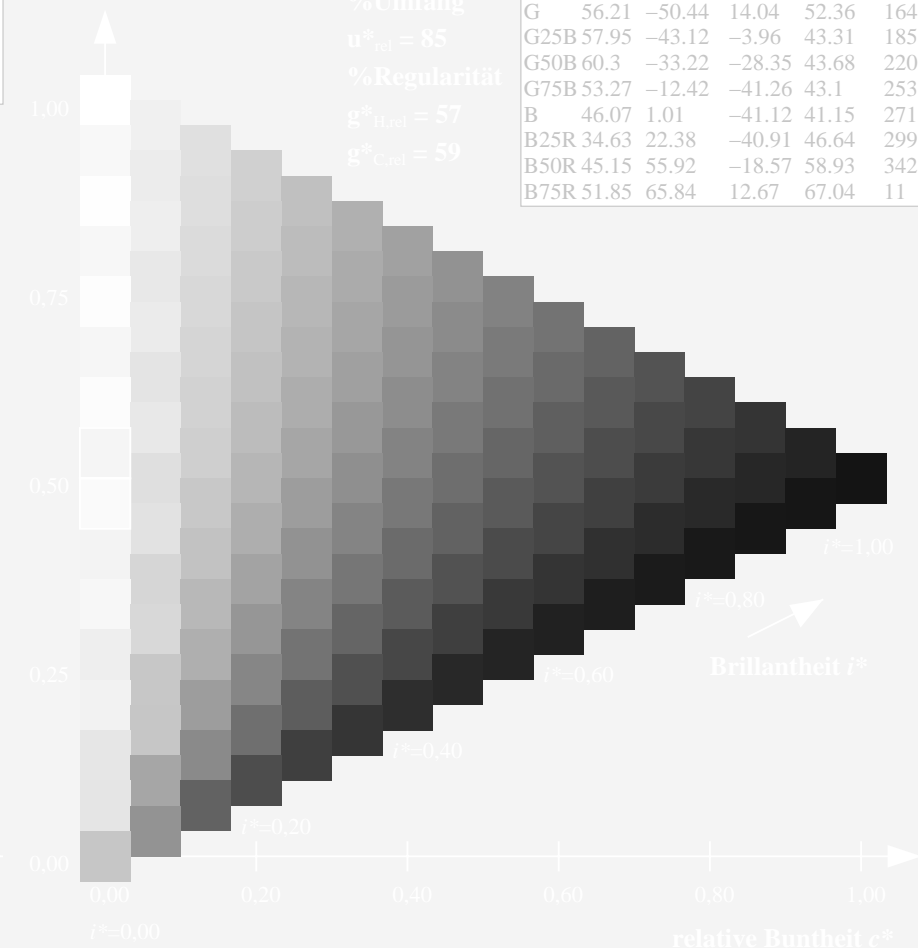
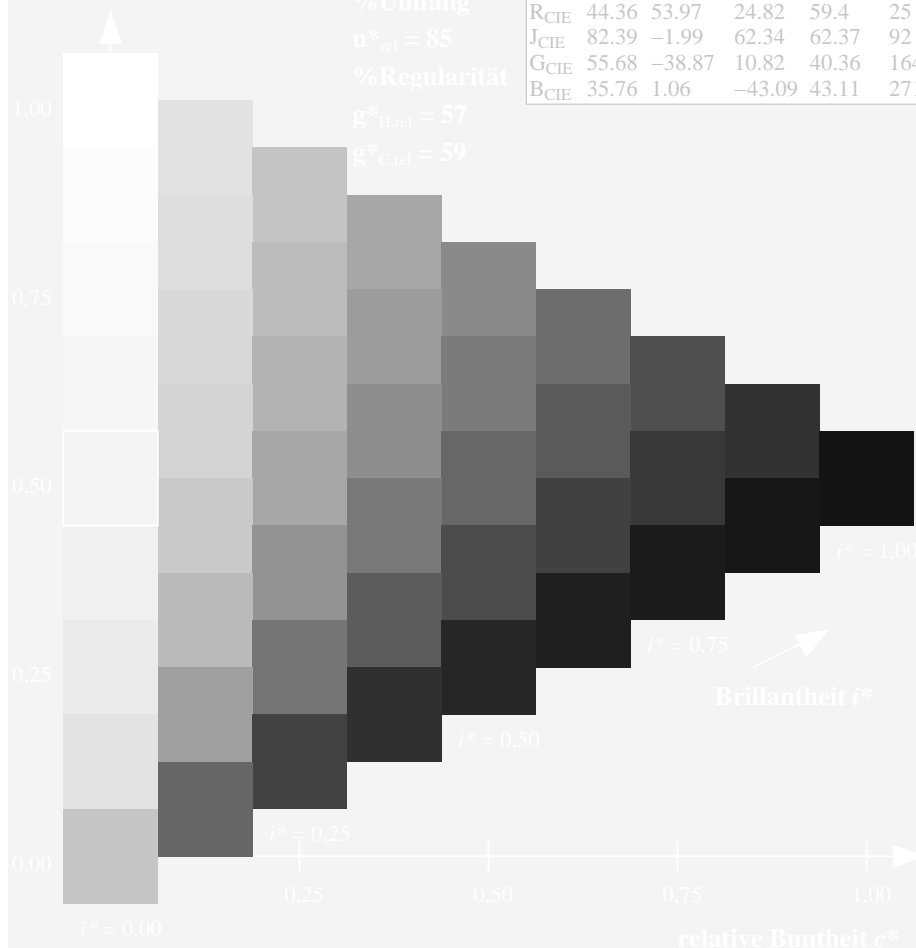
%Regularität

$g^*_{H,rel} = 57$

$g^*_{C,rel} = 59$

ORS18; adaptierte CIELAB-Daten

	$L^*=L^*_a$	$a^*_a$	$b^*_a$	$C^*_{ab,a}$	$h^*_{ab,a}$
R	51.79	63.09	29.02	69.44	25
R25J	53.73	56.6	48.42	74.48	41
R50J	65.47	35.67	59.82	69.65	59
R75J	76.51	15.98	70.55	72.34	77
J	86.93	-2.58	80.67	80.71	92
J25G	84.92	-17.23	75.99	77.92	103
J50G	73.11	-32.96	59.0	67.58	119
J75G	60.06	-50.34	40.22	64.44	141
G	56.21	-50.44	14.04	52.36	164
G25B	57.95	-43.12	-3.96	43.31	185
G50B	60.3	-33.22	-28.35	43.68	220
G75B	53.27	-12.42	-41.26	43.1	253
B	46.07	1.01	-41.12	41.15	271
B25R	34.63	22.38	-40.91	46.64	299
B50R	45.15	55.92	-18.57	58.93	342
B75R	51.85	65.84	12.67	67.04	11



ZG820-7F, 9stufige Reihen für konstanten CIELAB Buntton  $271/360 = 0.754$  (links)

Seite 30/60

ZG820-7F, 16stufige Reihen für konstanten CIELAB Buntton  $271/360 = 0.754$  (rechts) c n\*

BAM-Prüfvorlage ZG82; Farbmétrik-Systeme, Seite 30/60 Eingabe:  $rgb / cmy0 set(rgb/cmyk)color$

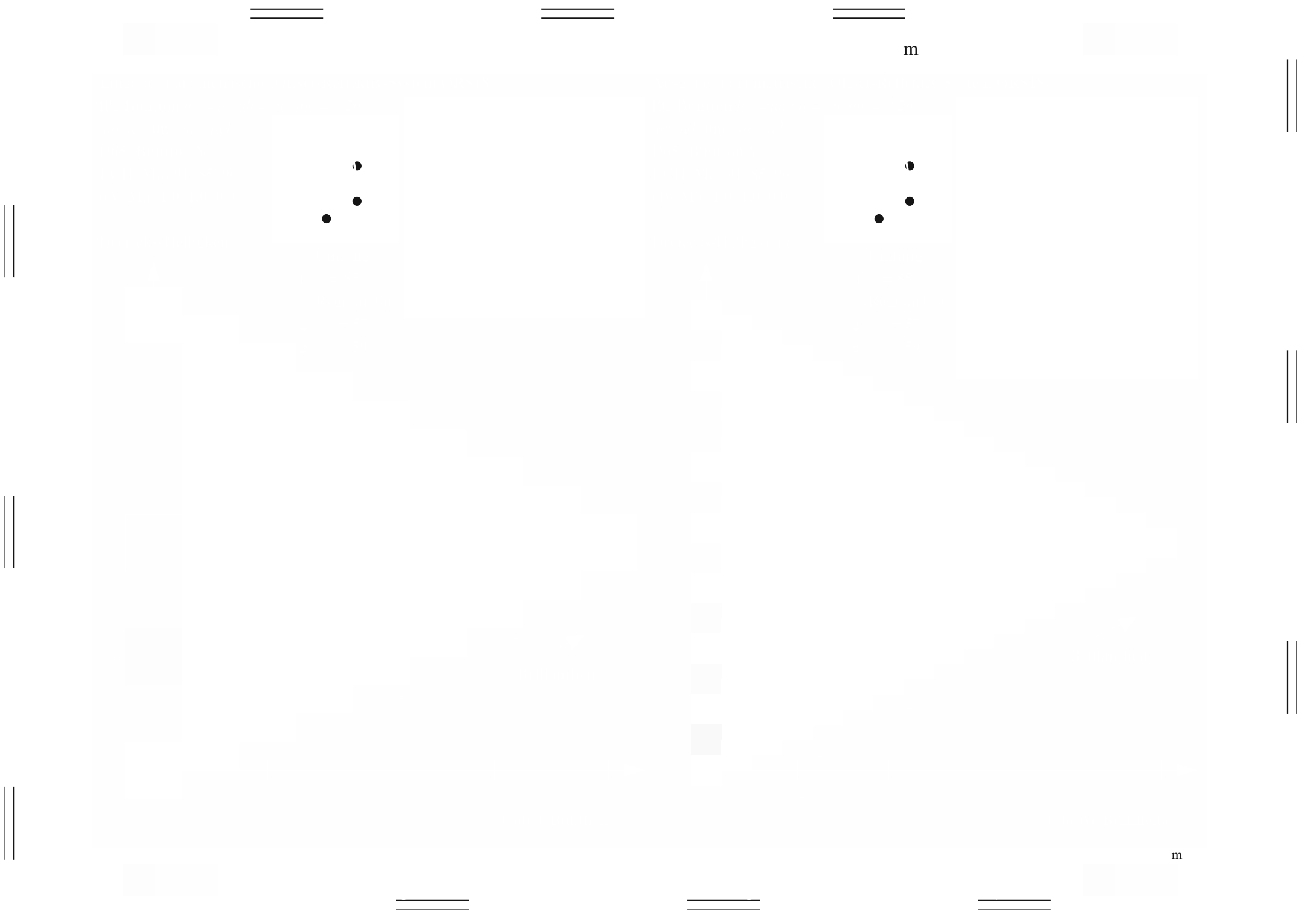
D65: 9 und 16stufige Farbreihen für 10 Bunttöne

Ausgabe:  $\rightarrow LAB^* \rightarrow cmy5^* setcmykcolo$

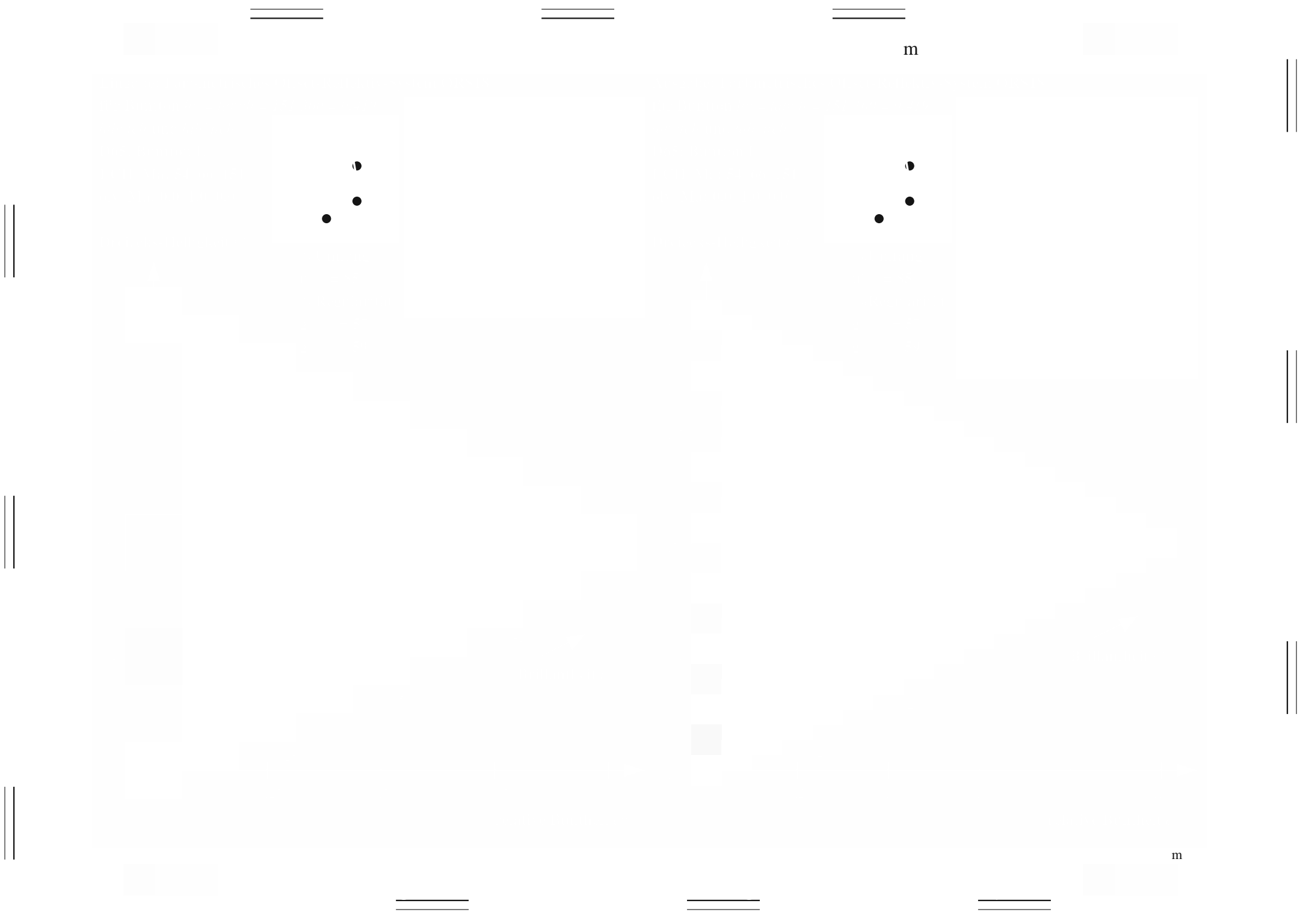
m

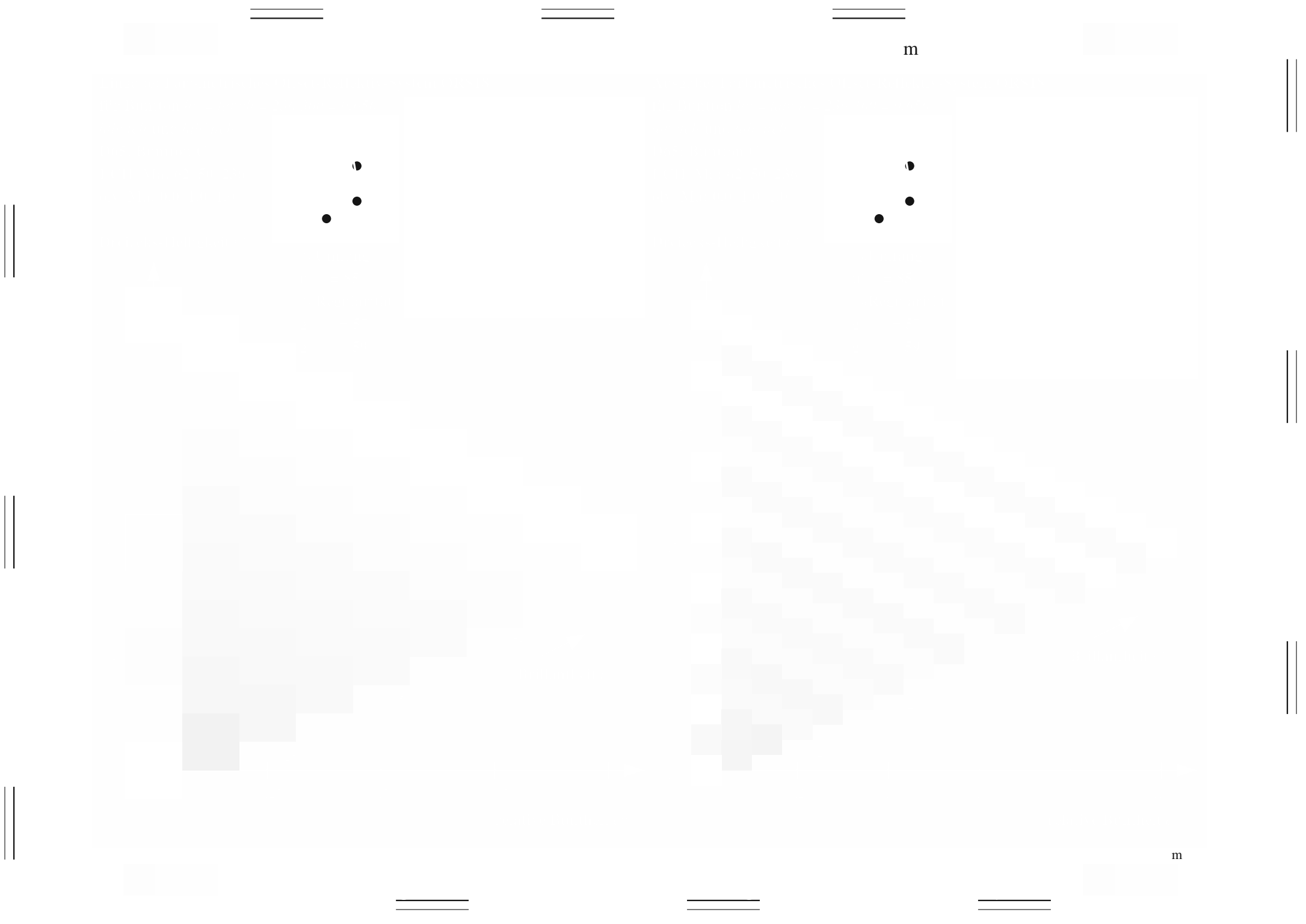


m

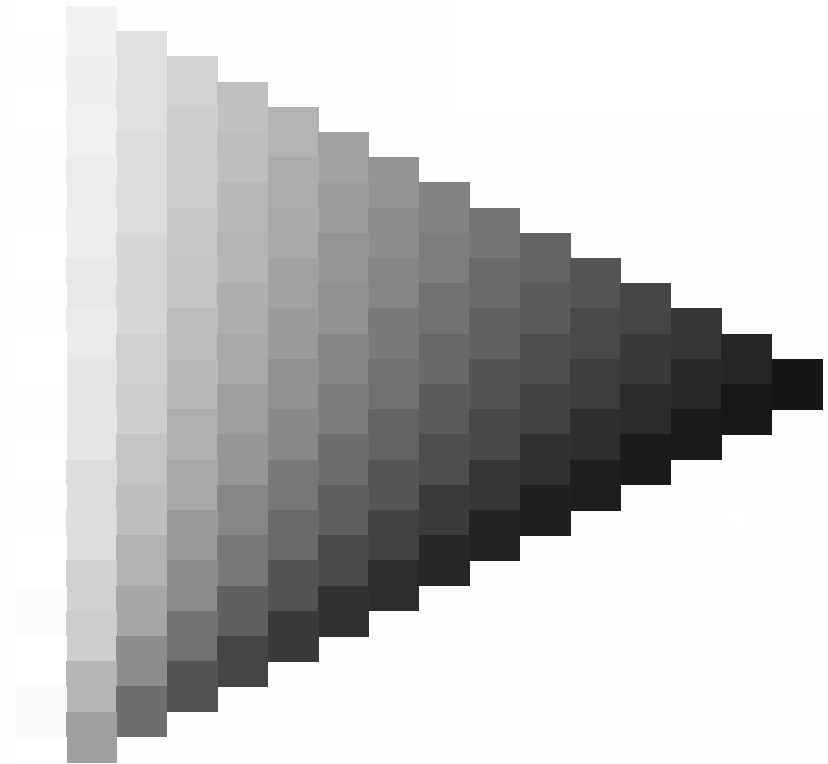
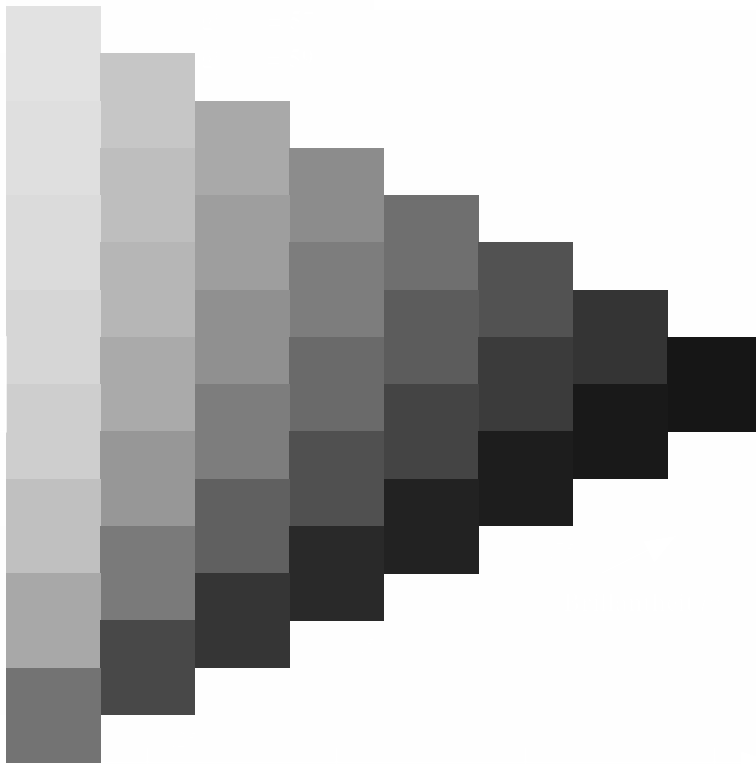








m



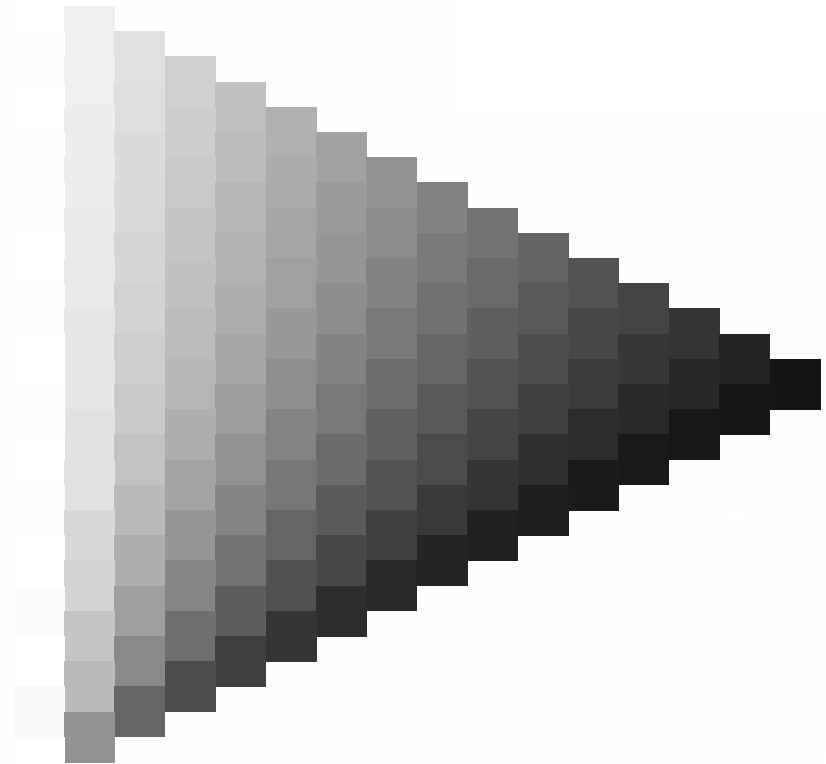
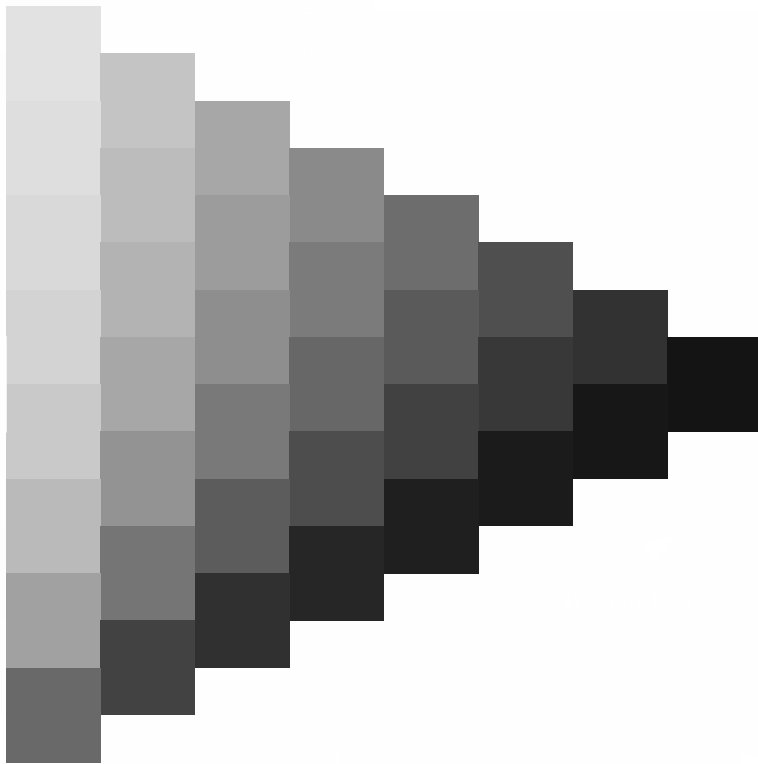
m

m

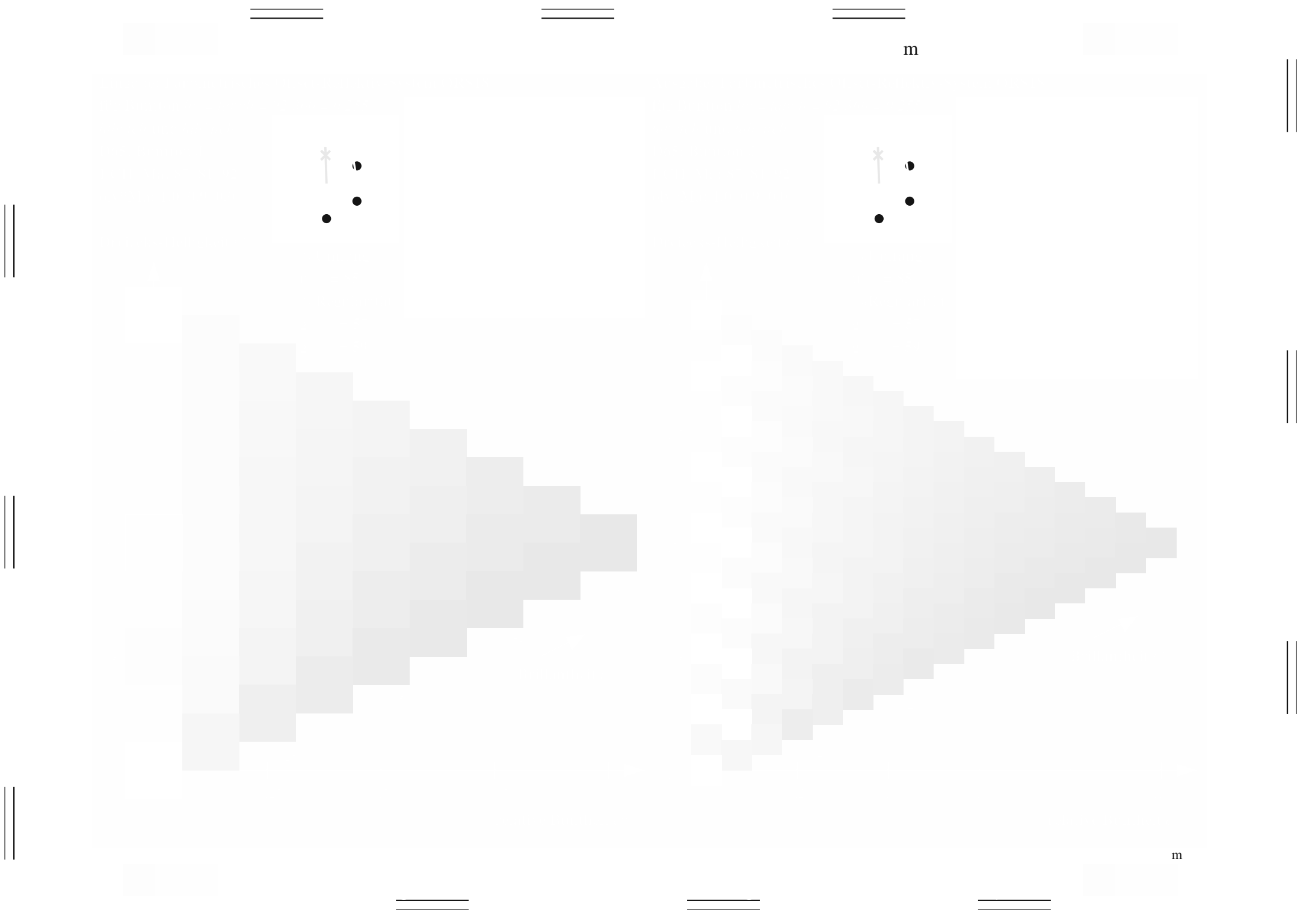


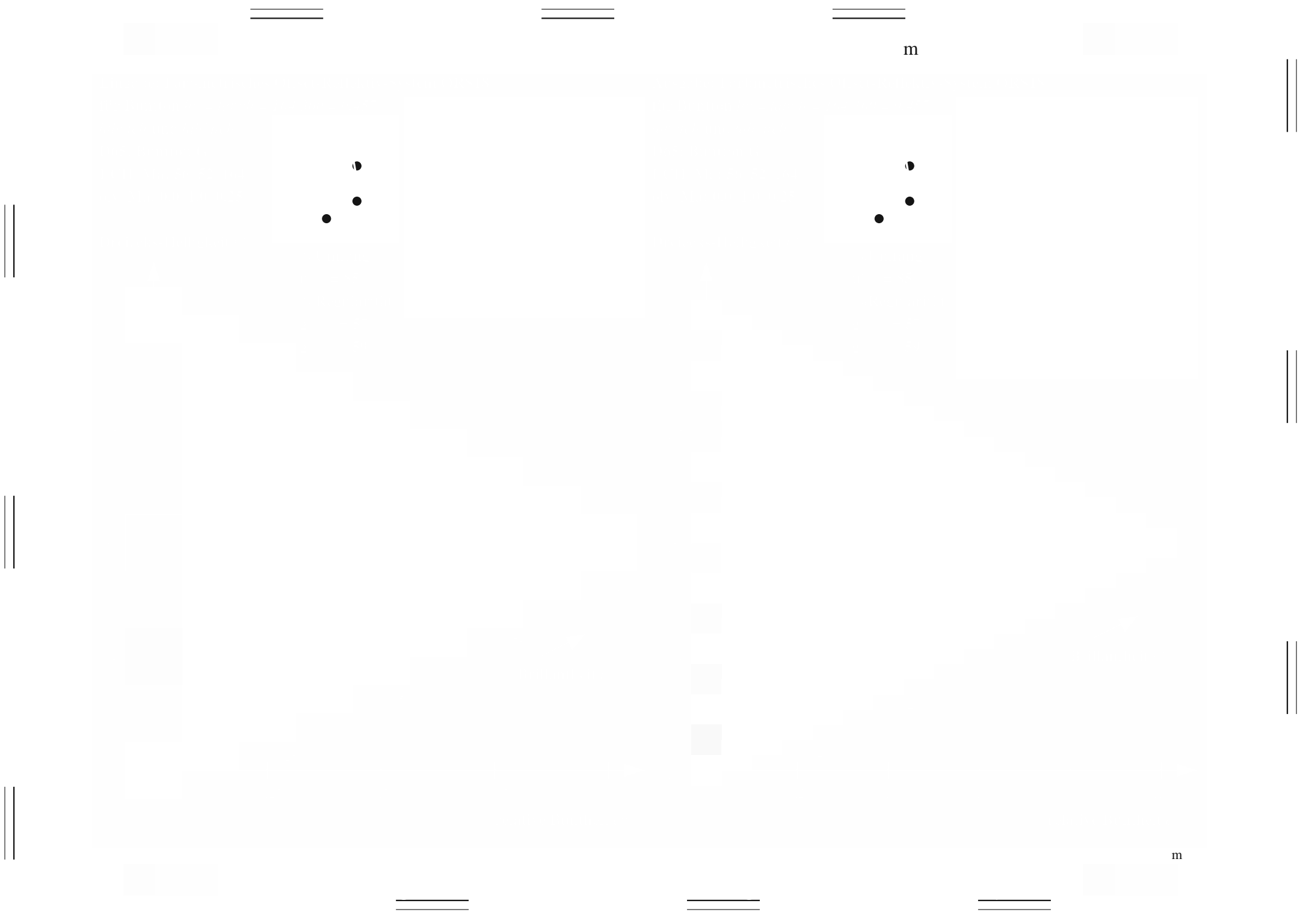
m

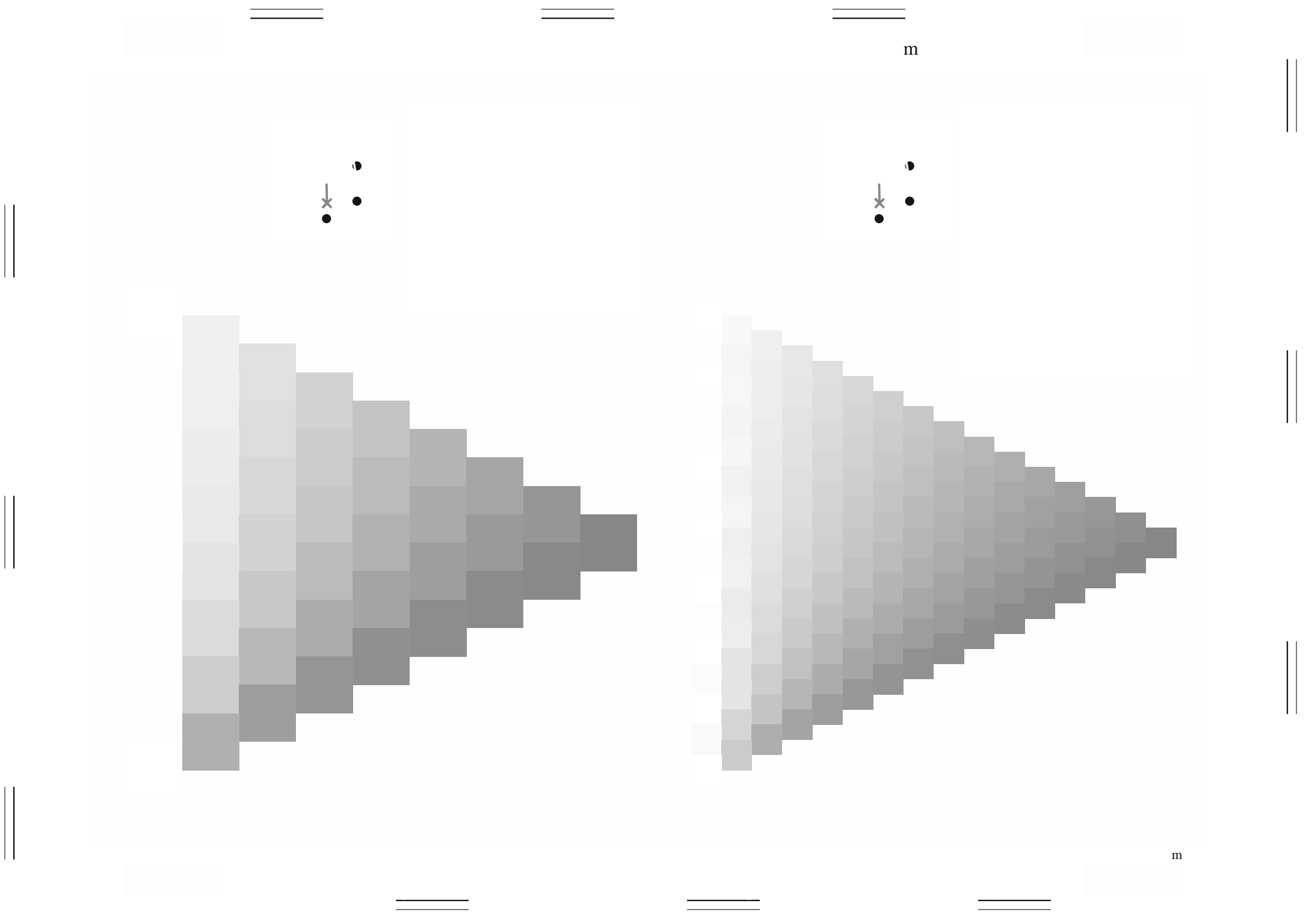
m



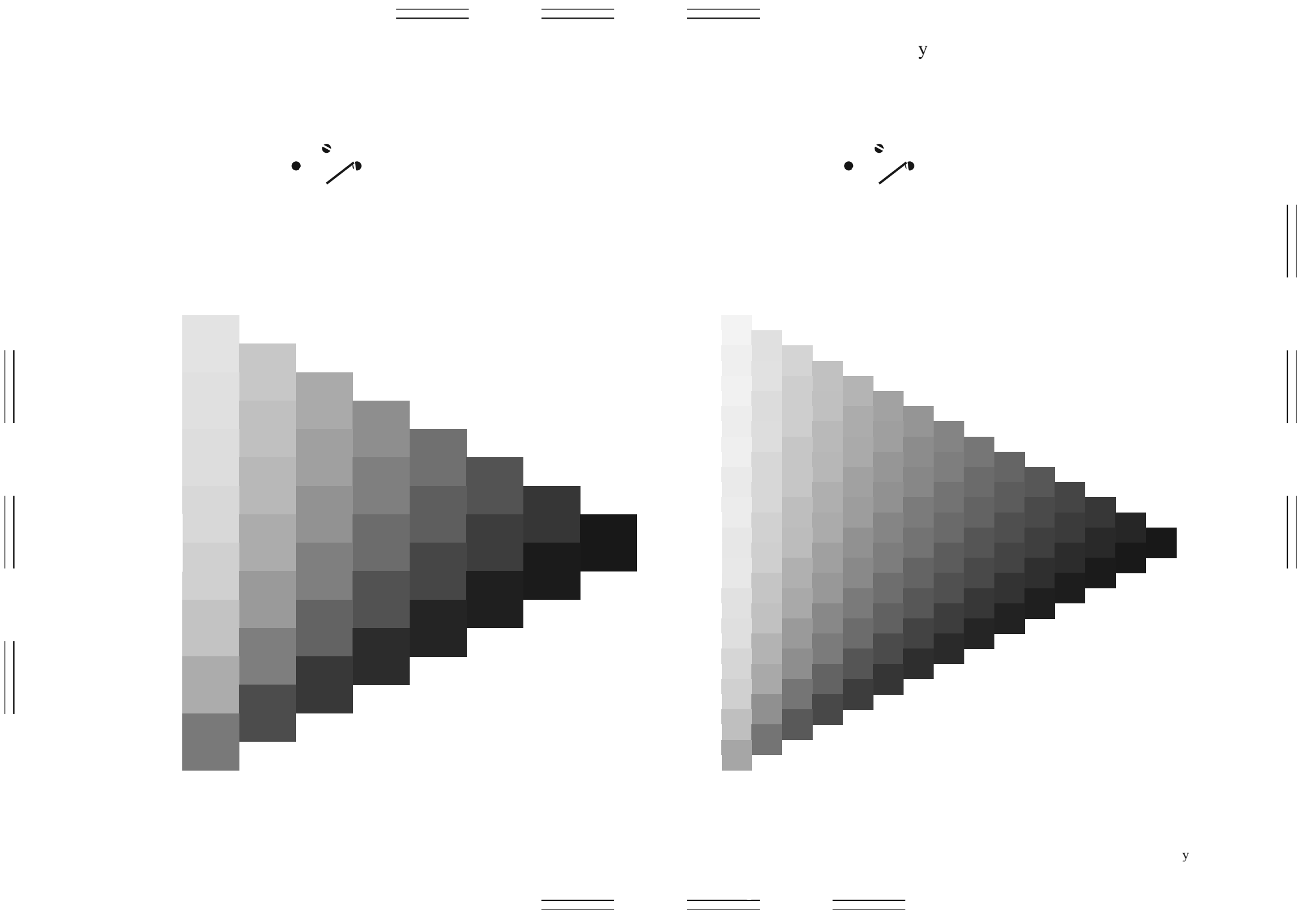
m

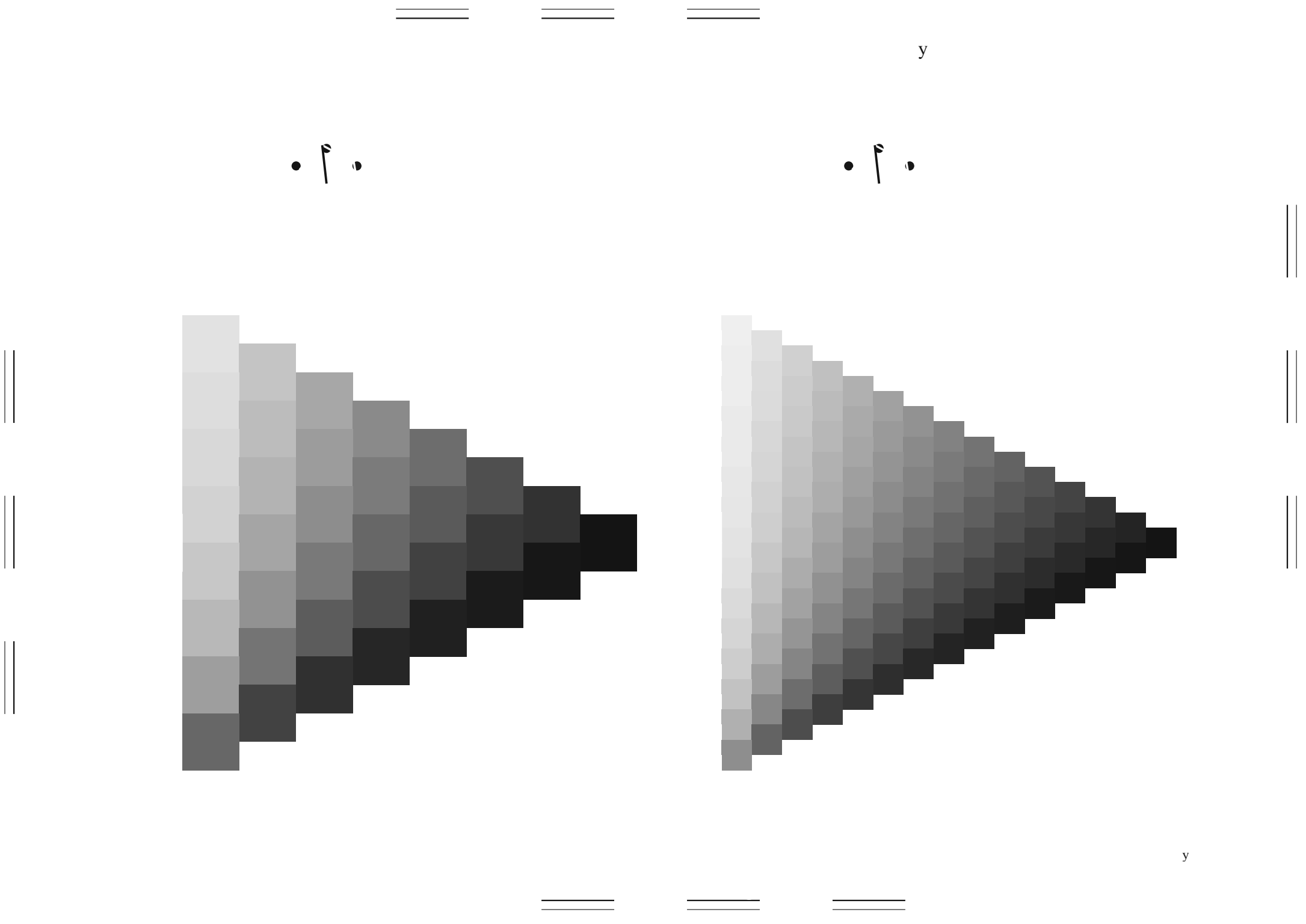


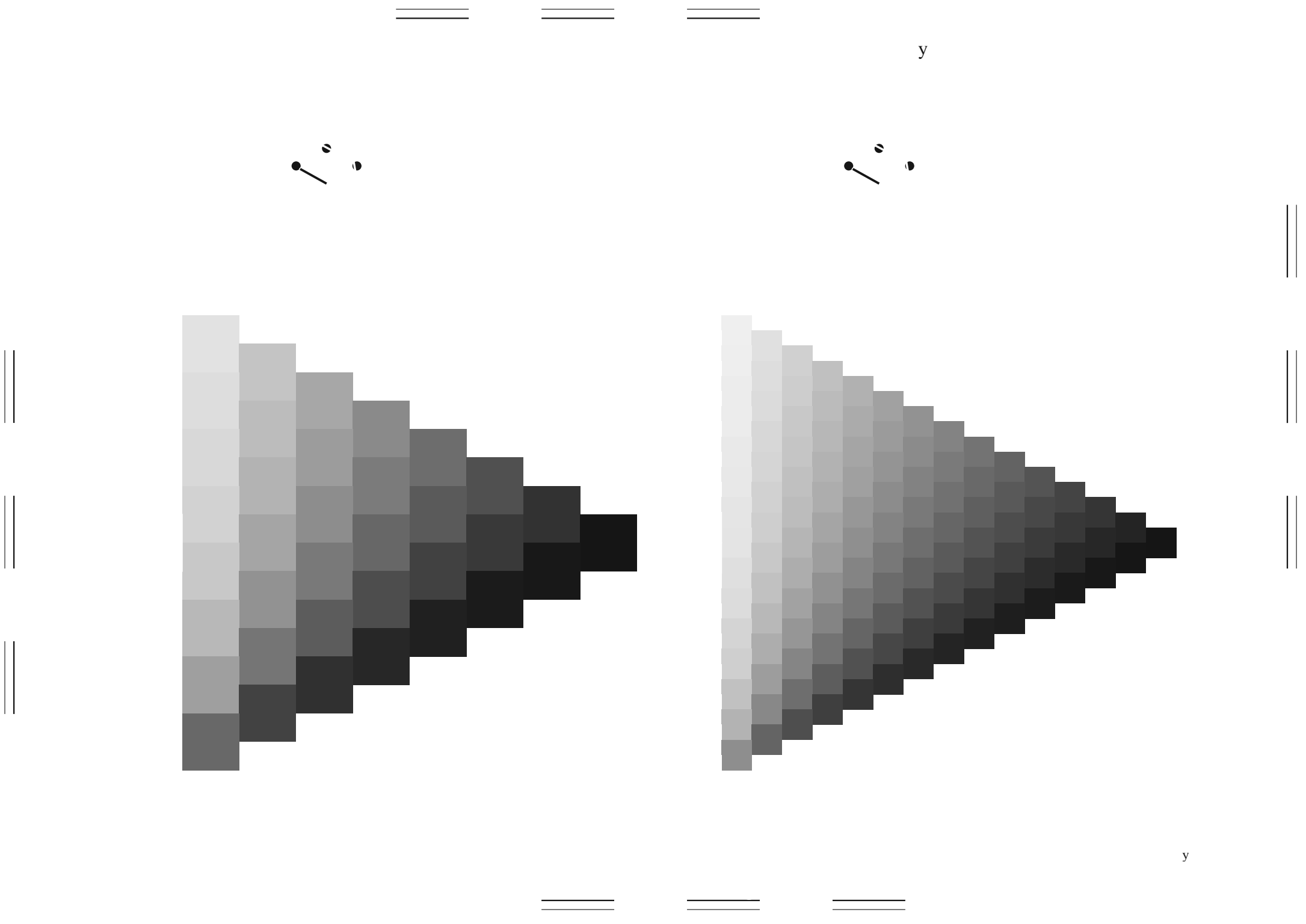


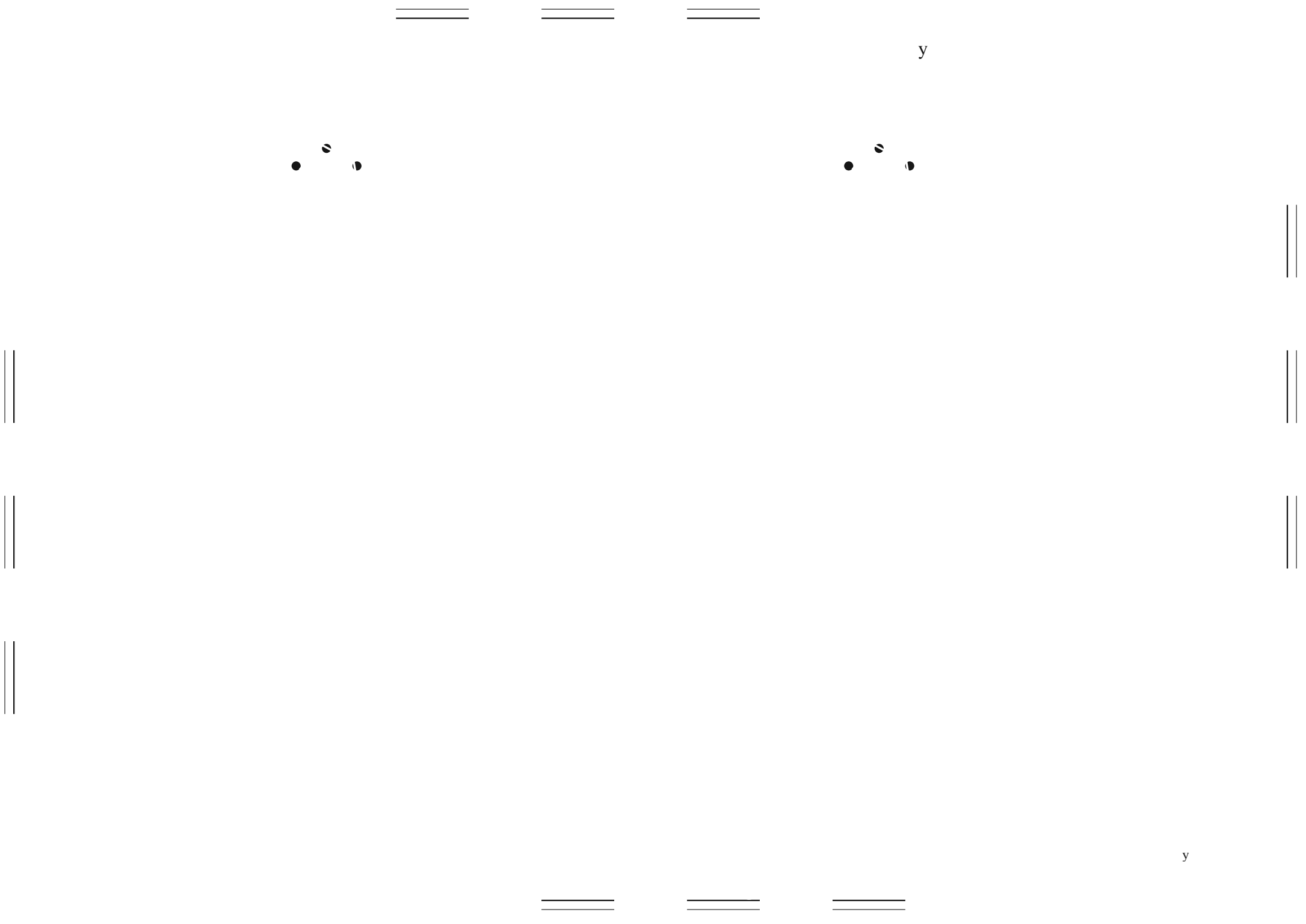


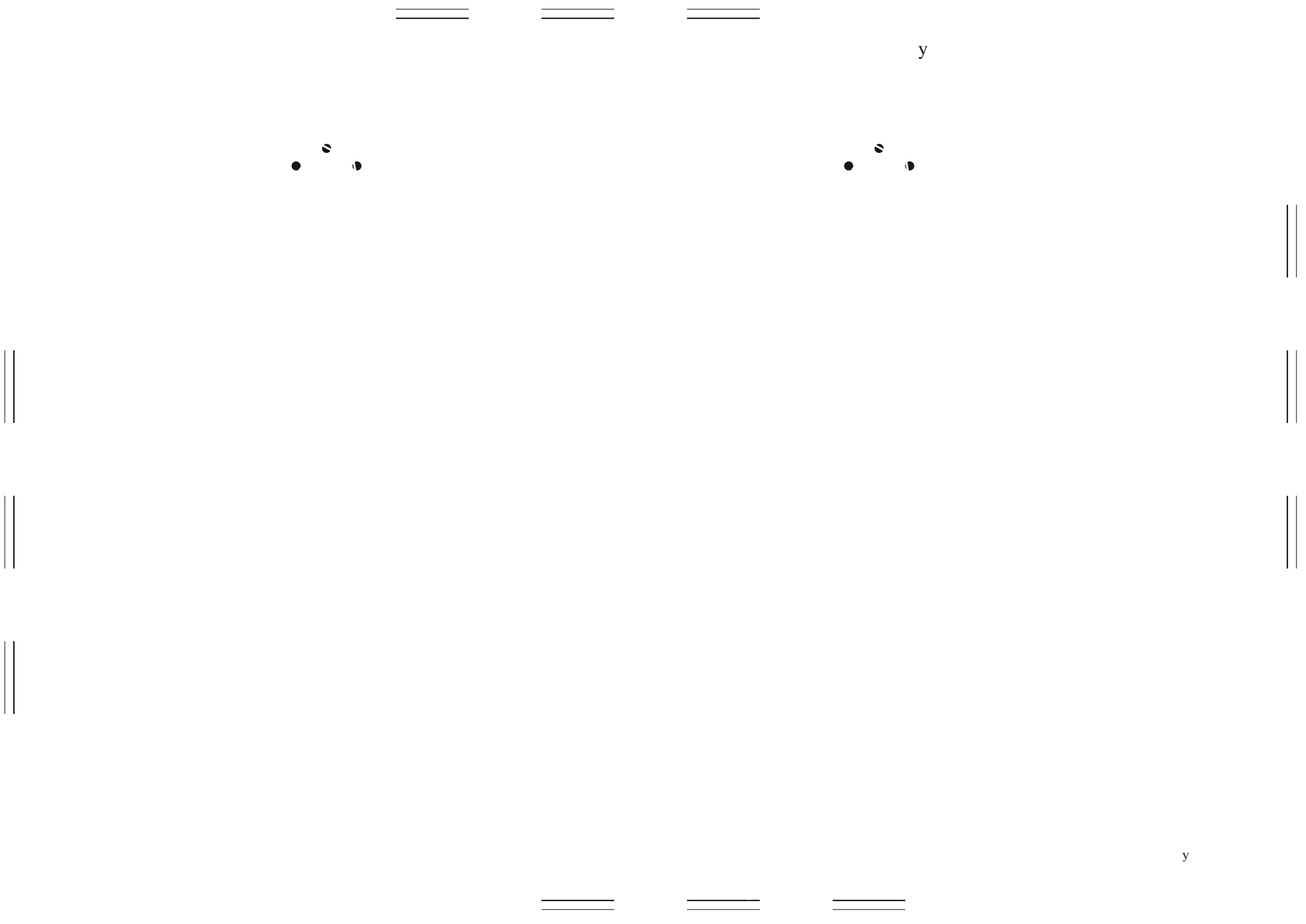


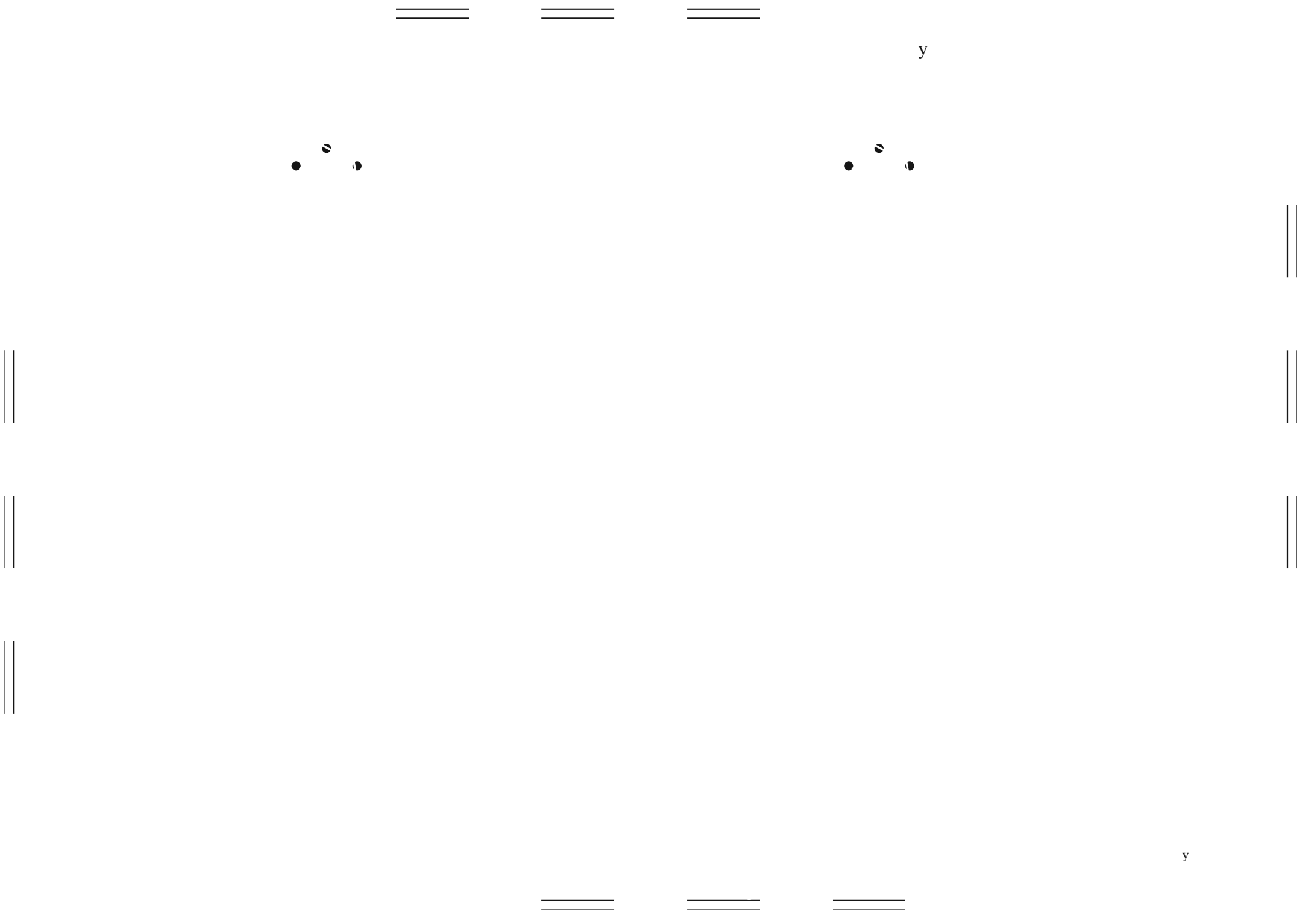


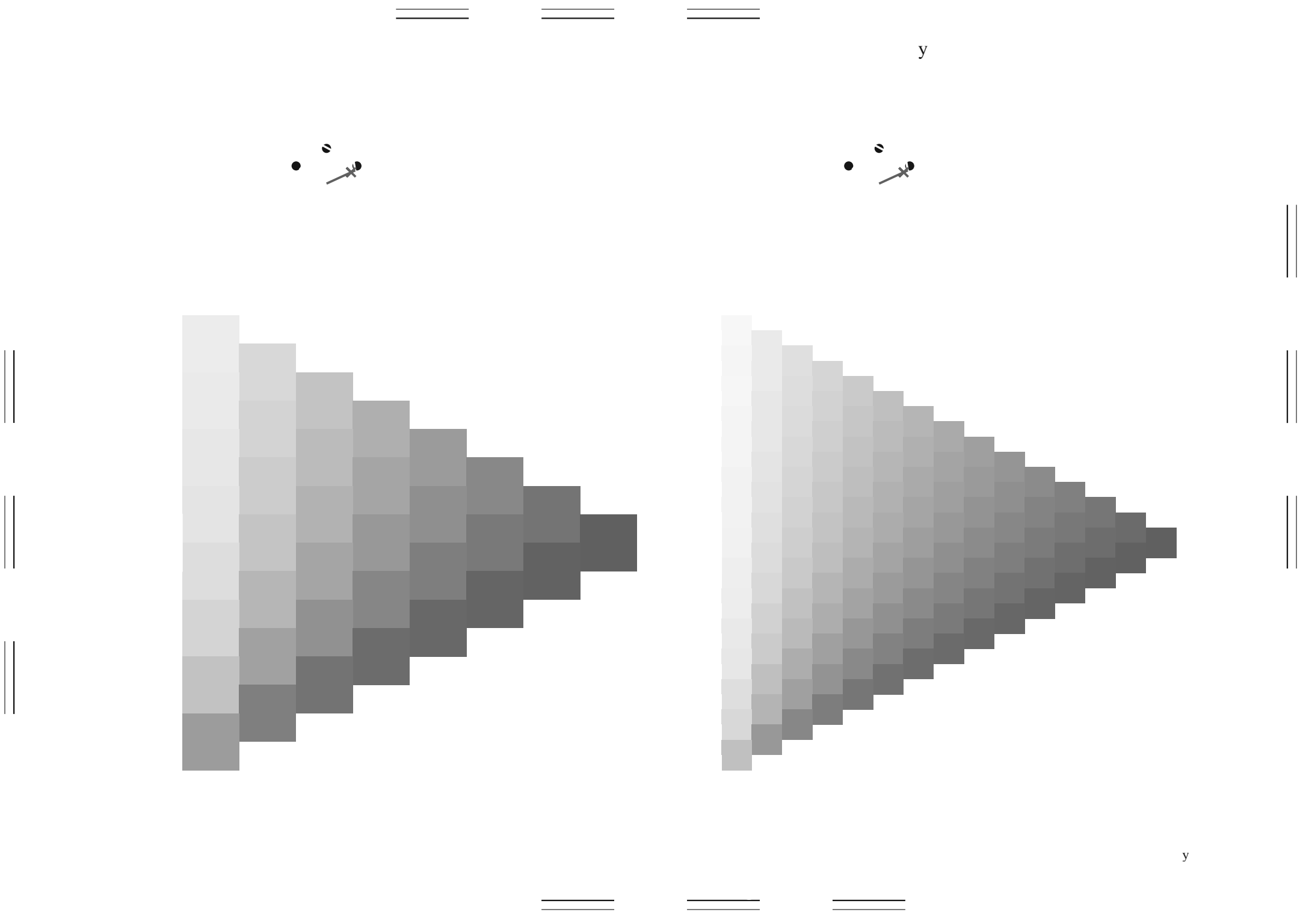


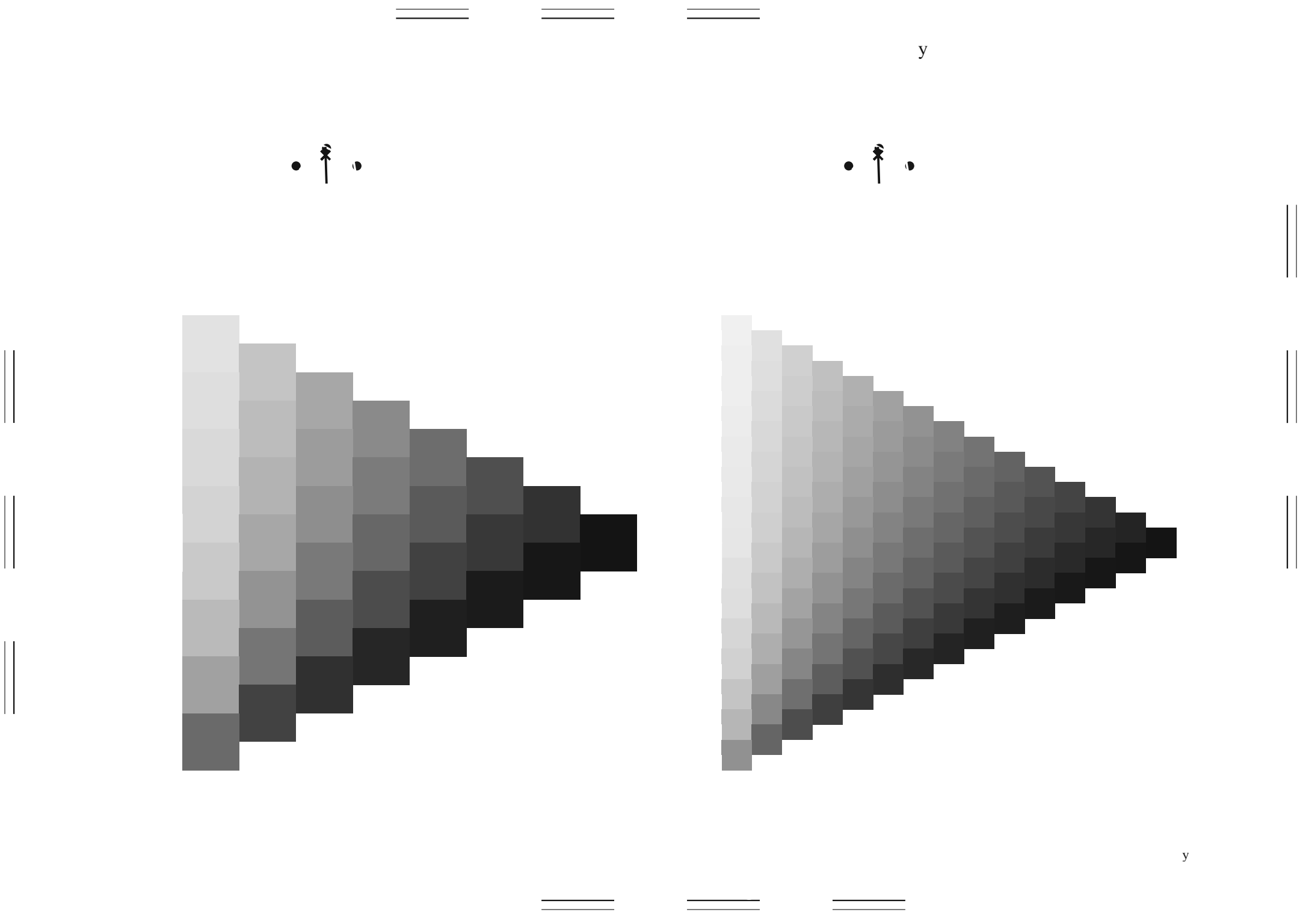




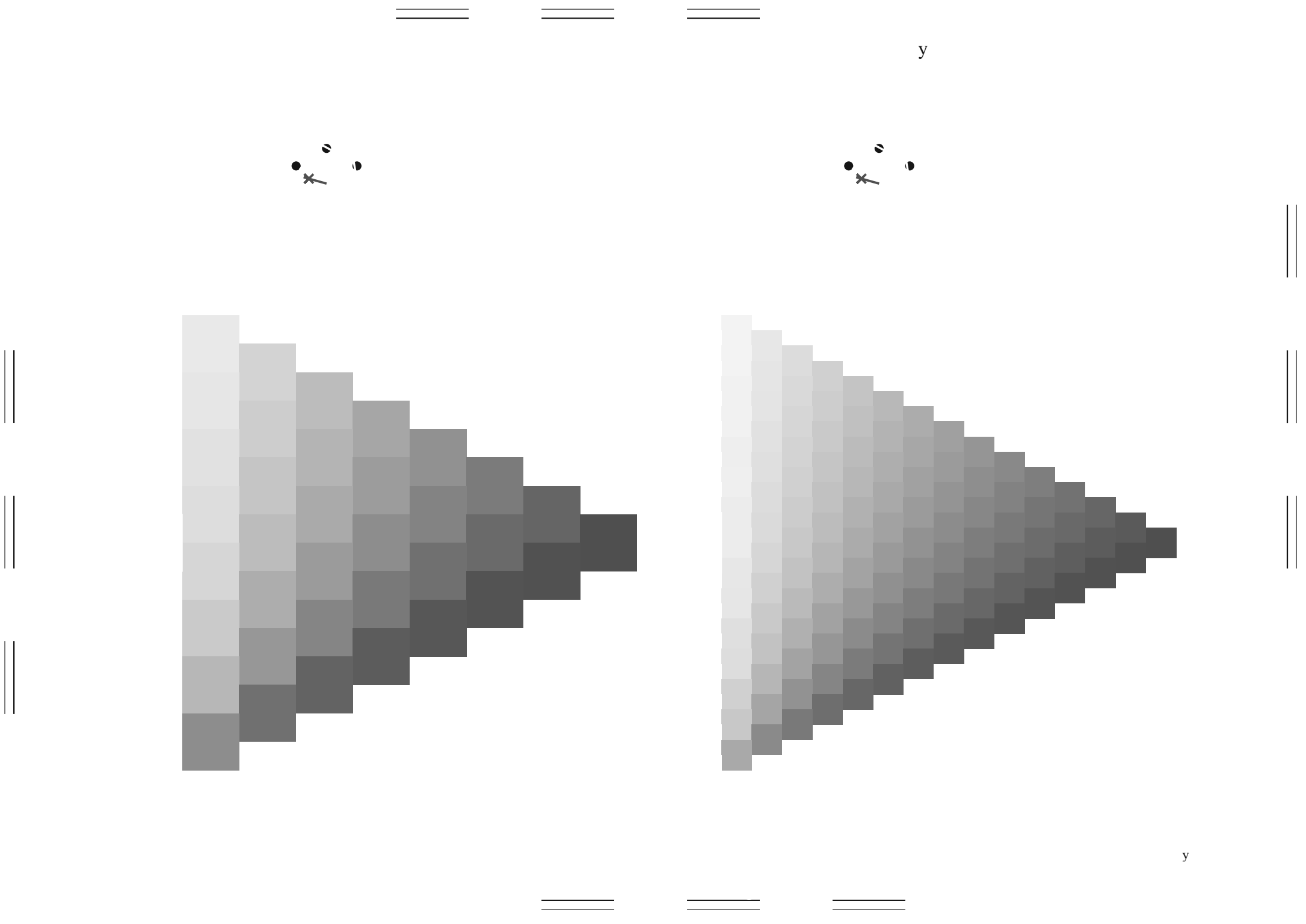


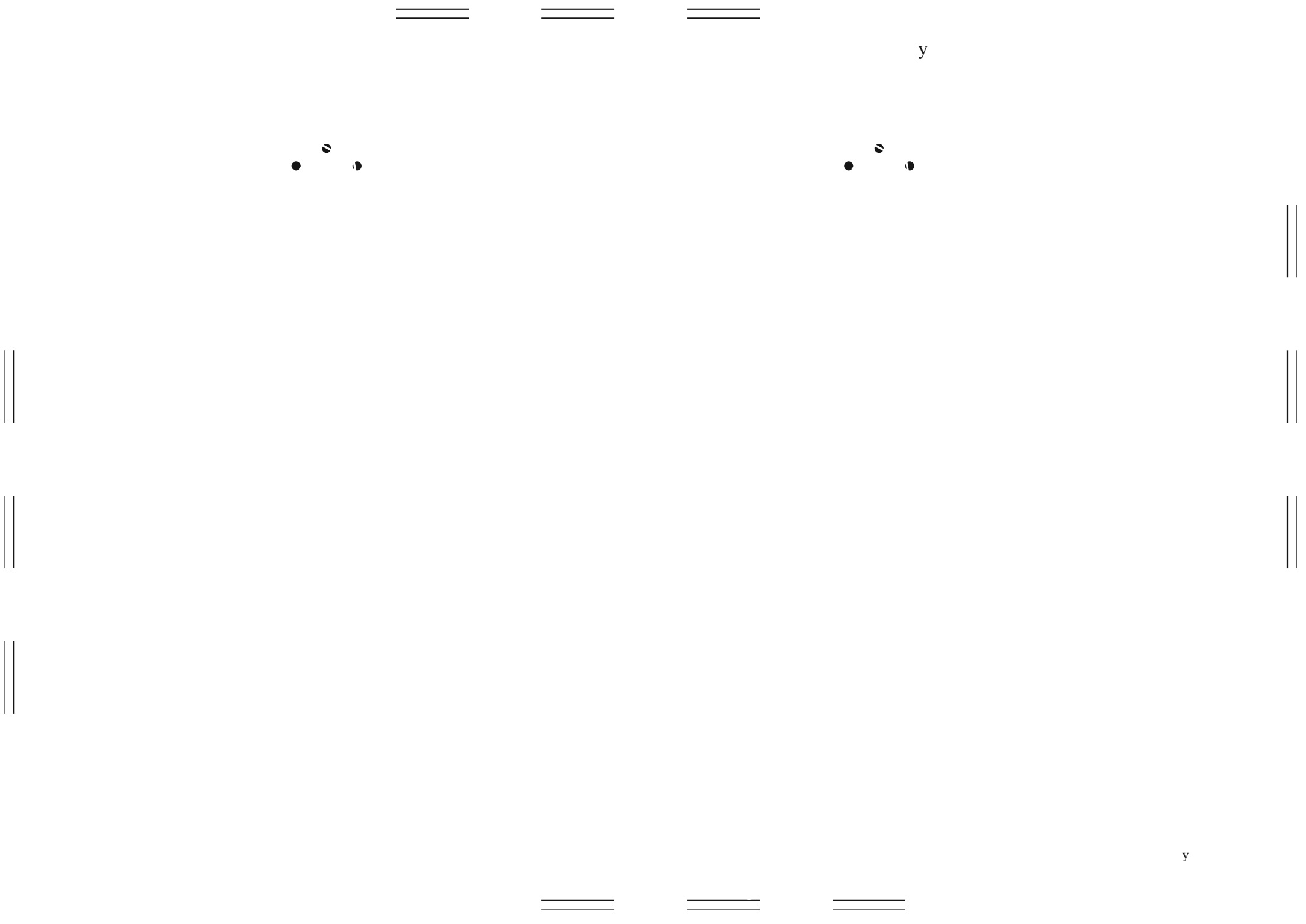












## Eingabe: Farbmétrisches Offset-Reflektiv-System ORS18

**für Buntton  $h^* = lab^*h = 38/360 = 0.105$**

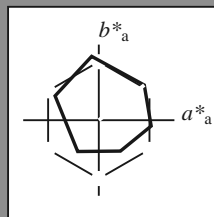
*lab\*tch* und *lab\*nch*

## D65: Buntton O

**LCH\*Ma: 52 76 38**

**olv\*Ma: 1.0 0.0 0.0**

### Dreiecks-Helligkeit $t^*$



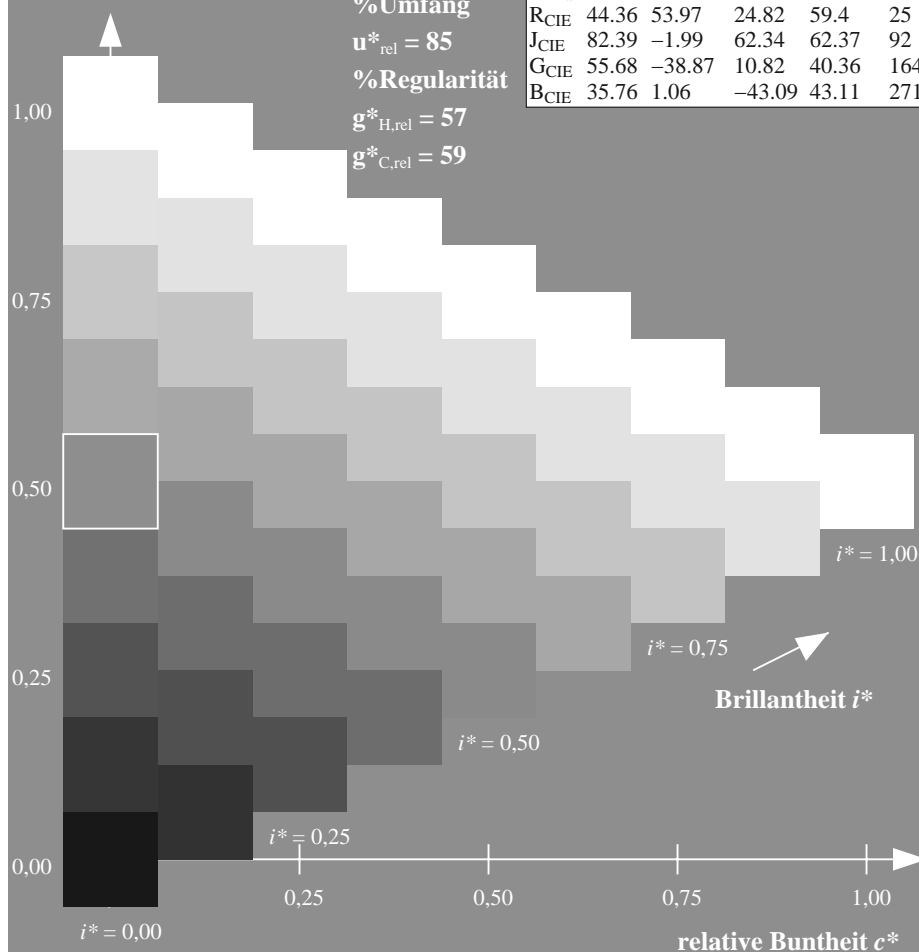
## %Umfang

$$\mathbf{u}_{\text{rel}}^* = 85$$

## %Regularität

$$g^*_{H,rel} = 57$$
 $\mathbf{g}^*_{C_{rel}} = 59$ 

ORS18; adaptierte CIELAB-Daten					
	$L^* = L^*_a$	$a^*_a$	$b^*_a$	$C^*_{ab,a}$	$h^*_{ab,a}$
O <sub>Ma</sub>	51.74	60.16	46.48	76.02	38
Y <sub>Ma</sub>	90.77	-9.44	84.41	84.94	96
L <sub>Ma</sub>	54.46	-57.8	32.16	66.15	151
C <sub>Ma</sub>	61.56	-27.91	-41.41	49.95	236
V <sub>Ma</sub>	31.3	28.61	-40.85	49.88	305
M <sub>Ma</sub>	51.91	69.26	-7.69	69.68	354
N <sub>Ma</sub>	24.2	0.0	0.0	0.0	0
W <sub>Ma</sub>	95.41	0.0	0.0	0.0	0
R <sub>CIE</sub>	44.36	53.97	24.82	59.4	25
J <sub>CIE</sub>	82.39	-1.99	62.34	62.37	92
G <sub>CIE</sub>	55.68	-38.87	10.82	40.36	164
B <sub>CIE</sub>	35.76	1.06	-43.09	43.11	271



ZG820-7F, 9stufige Reihen für konstanten CIELAB Buntton  $38/360 = 0.105$  (links)

Seite 51/60

BAM-Prüfvorlage ZG82: Farbmimetrik-Systeme. Seite 51/60 Eingabe: *rgb / cmv0 set(rgb/cmyk)color*

D65: 9 und 16stufige Farbreihen für 10 Bunttöne

**Ausgabe: Farbmétrisches Offset-Reflektiv-System ORS18**

**für Buntton  $h^* = lab^*h = 38/360 = 0.105$**

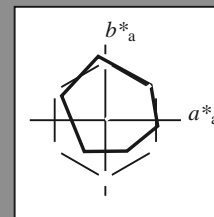
**lab\*tch und lab\*nch**

## D65: Buntton O

LCH\*Ma: 52 76 38

olv\*Ma: 1.0 0.0 0.0

### Dreiecks-Helligkeit $t^*$



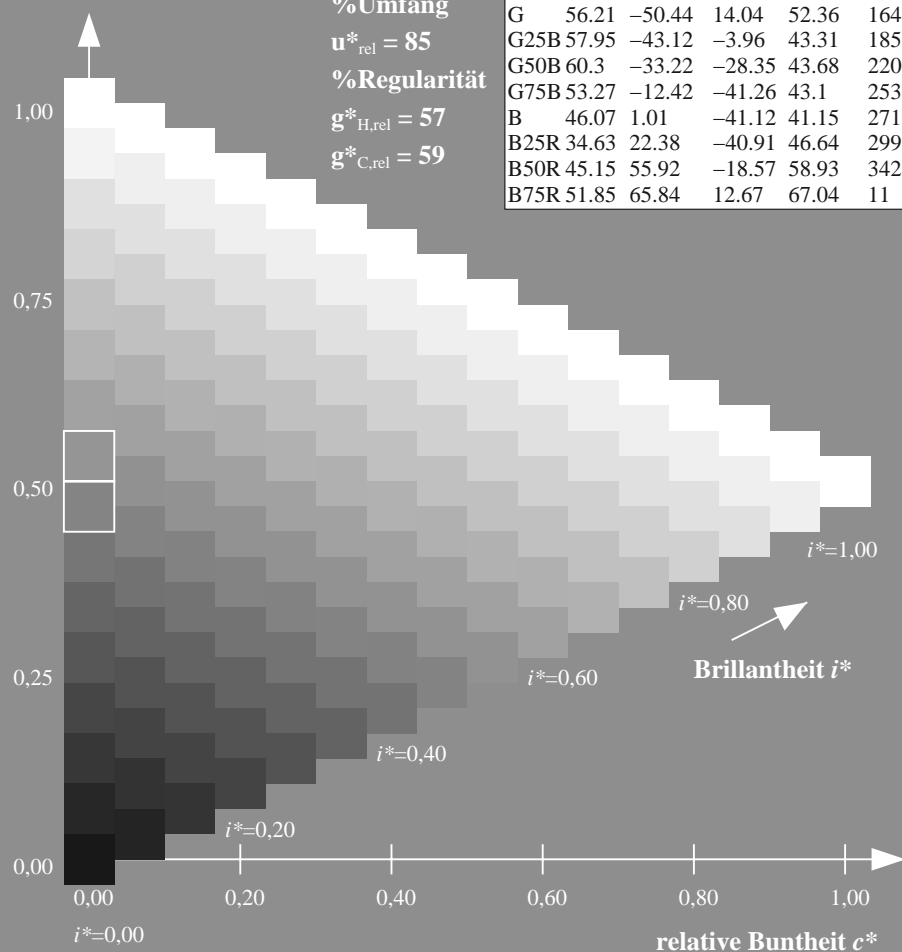
## %Umfang

$$\mathbf{u}_{\text{rel}}^* = 85$$

### %Regularität

$$g^*_{H,rel} = 57$$
$$g^*_{C_{rel}} = 59$$

ORS18; adaptierte CIELAB-Daten					
	$L^* = L^*_a$	$a^*_a$	$b^*_a$	$C^*_{ab,a}$	$h^*_{ab,a}$
R	51.79	63.09	29.02	69.44	25.3
R25J	53.73	56.6	48.42	74.48	41.1
R50J	65.47	35.67	59.82	69.65	59.2
R75J	76.51	15.98	70.55	72.34	77.1
J	86.93	-2.58	80.67	80.71	92.1
J25G	84.92	-17.23	75.99	77.92	103.1
J50G	73.11	-32.96	59.0	67.58	119.1
J75G	60.06	-50.34	40.22	64.44	141.1
G	56.21	-50.44	14.04	52.36	164.1
G25B	57.95	-43.12	-3.96	43.31	185.1
G50B	60.3	-33.22	-28.35	43.68	220.1
G75B	53.27	-12.42	-41.26	43.1	253.1
B	46.07	1.01	-41.12	41.15	271.1
B25R	34.63	22.38	-40.91	46.64	299.1
B50R	45.15	55.92	-18.57	58.93	342.1
B75R	51.85	65.84	12.67	67.04	399.1

ZG820-7F, 16stufige Reihen für konstanten CIELAB Buntton  $38/360 = 0.105$  (rechts)
$$n^*$$

BAM-Prüfvorlage ZG82: Farbmimetrik-Systeme. Seite 51/60 Eingabe: *rgb / cmv0 set(rgb/cmyk)color*

Ausgabe:  $\rightarrow LAB^* \rightarrow cmvn5^* setcmvcolo$

Eingabe: Farbmétrisches Offset-Reflektiv-System ORS18

für Buntton  $h^* = lab^*h = 96/360 = 0.268$

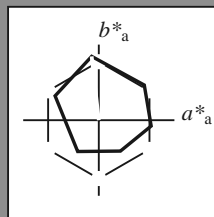
$lab^*tch$  und  $lab^*nch$

D65: Buntton Y

LCH\*Ma: 91 85 96

olv\*Ma: 1.0 1.0 0.0

Dreiecks-Helligkeit  $t^*$



%Umfang

$u^*_{rel} = 85$

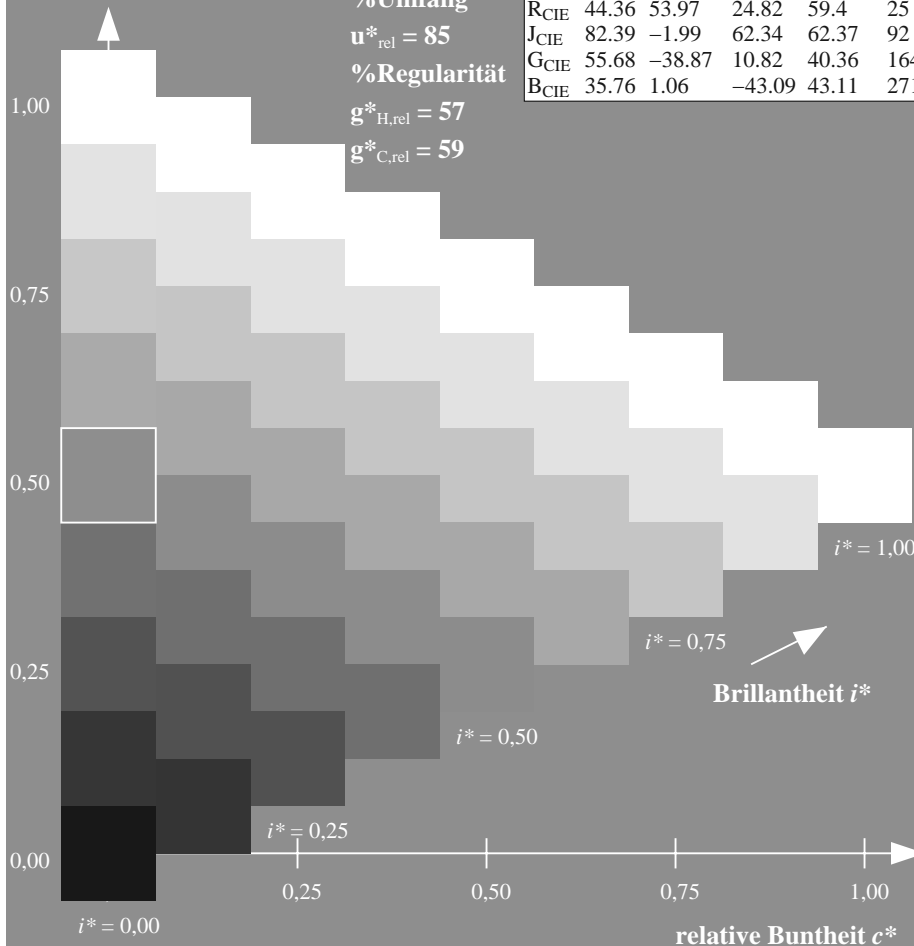
%Regularität

$g^*_{H,rel} = 57$

$g^*_{C,rel} = 59$

ORS18; adaptierte CIELAB-Daten

	$L^*=L^*_a$	$a^*_a$	$b^*_a$	$C^*_{ab,a}$	$h^*_{ab,a}$
O <sub>Ma</sub>	51.74	60.16	46.48	76.02	38
Y <sub>Ma</sub>	90.77	-9.44	84.41	84.94	96
L <sub>Ma</sub>	54.46	-57.8	32.16	66.15	151
C <sub>Ma</sub>	61.56	-27.91	-41.41	49.95	236
V <sub>Ma</sub>	31.3	28.61	-40.85	49.88	305
M <sub>Ma</sub>	51.91	69.26	-7.69	69.68	354
N <sub>Ma</sub>	24.2	0.0	0.0	0.0	0
W <sub>Ma</sub>	95.41	0.0	0.0	0.0	0
R <sub>CIE</sub>	44.36	53.97	24.82	59.4	25
J <sub>CIE</sub>	82.39	-1.99	62.34	62.37	92
G <sub>CIE</sub>	55.68	-38.87	10.82	40.36	164
B <sub>CIE</sub>	35.76	1.06	-43.09	43.11	271



Ausgabe: Farbmétrisches Offset-Reflektiv-System ORS18

für Buntton  $h^* = lab^*h = 96/360 = 0.268$

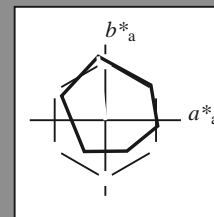
$lab^*tch$  und  $lab^*nch$

D65: Buntton Y

LCH\*Ma: 91 85 96

olv\*Ma: 1.0 1.0 0.0

Dreiecks-Helligkeit  $t^*$



%Umfang

$u^*_{rel} = 85$

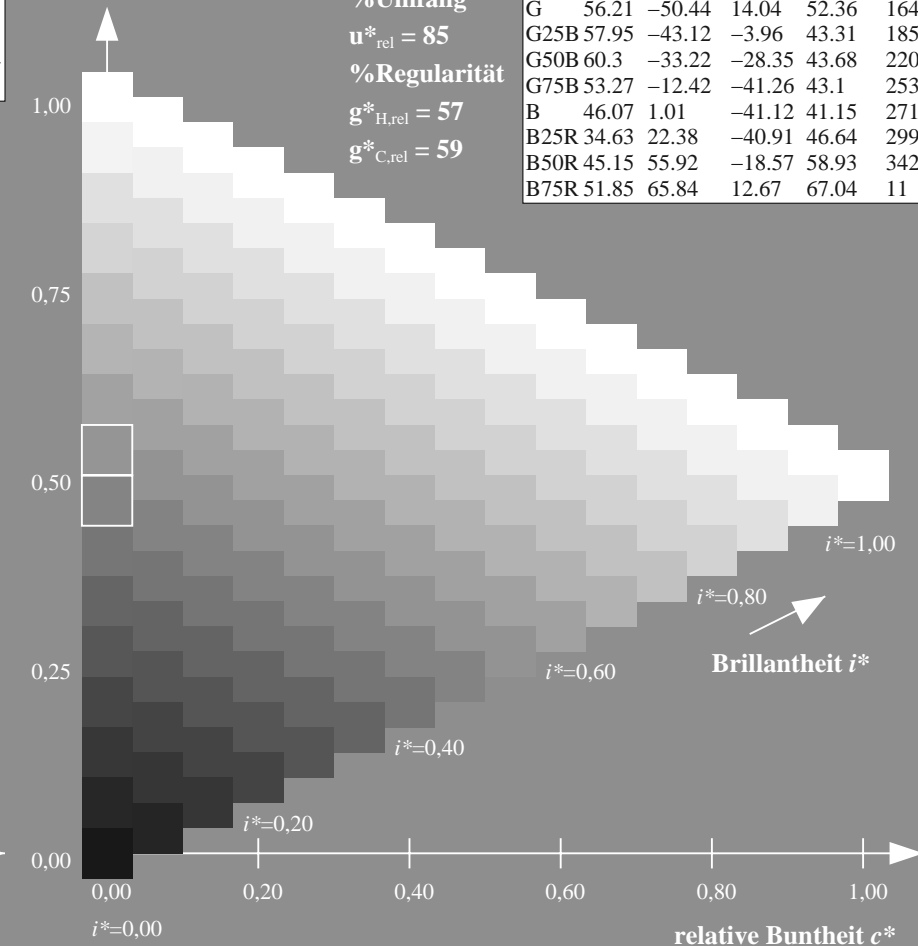
%Regularität

$g^*_{H,rel} = 57$

$g^*_{C,rel} = 59$

ORS18; adaptierte CIELAB-Daten

	$L^*=L^*_a$	$a^*_a$	$b^*_a$	$C^*_{ab,a}$	$h^*_{ab,a}$
R	51.79	63.09	29.02	69.44	25
R25J	53.73	56.6	48.42	74.48	41
R50J	65.47	35.67	59.82	69.65	59
R75J	76.51	15.98	70.55	72.34	77
J	86.93	-2.58	80.67	80.71	92
J25G	84.92	-17.23	75.99	77.92	103
J50G	73.11	-32.96	59.0	67.58	119
J75G	60.06	-50.34	40.22	64.44	141
G	56.21	-50.44	14.04	52.36	164
G25B	57.95	-43.12	-3.96	43.31	185
G50B	60.3	-33.22	-28.35	43.68	220
G75B	53.27	-12.42	-41.26	43.1	253
B	46.07	1.01	-41.12	41.15	271
B25R	34.63	22.38	-40.91	46.64	299
B50R	45.15	55.92	-18.57	58.93	342
B75R	51.85	65.84	12.67	67.04	11



ZG820-7F, 9stufige Reihen für konstanten CIELAB Buntton 96/360 = 0.268 (links)

Seite 52/60

ZG820-7F, 16stufige Reihen für konstanten CIELAB Buntton 96/360 = 0.268 (rechts)

n\*

BAM-Prüfvorlage ZG82; Farbmétrik-Systeme, Seite 52/60 Eingabe:  $rgb / cmy0$  set( $rgb/cmyk$ )color

D65: 9 und 16stufige Farbreihen für 10 Bunttöne

Ausgabe:  $->LAB^*->cmy5^*$  setcmykcolo

Eingabe: Farbmétrisches Offset-Reflektiv-System ORS18

für Buntton  $h^* = lab^*h = 151/360 = 0.419$

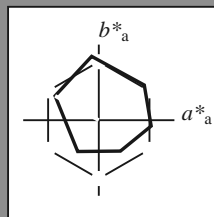
$lab^*tch$  und  $lab^*nch$

D65: Buntton L

LCH\*Ma: 54 66 151

olv\*Ma: 0.0 1.0 0.0

Dreiecks-Helligkeit  $t^*$



%Umfang

$u^*_{rel} = 85$

%Regularität

$g^*_{H,rel} = 57$

$g^*_{C,rel} = 59$

ORS18; adaptierte CIELAB-Daten

	$L^*=L^*_a$	$a^*_a$	$b^*_a$	$C^*_{ab,a}$	$h^*_{ab,a}$
O <sub>Ma</sub>	51.74	60.16	46.48	76.02	38
Y <sub>Ma</sub>	90.77	-9.44	84.41	84.94	96
L <sub>Ma</sub>	54.46	-57.8	32.16	66.15	151
C <sub>Ma</sub>	61.56	-27.91	-41.41	49.95	236
V <sub>Ma</sub>	31.3	28.61	-40.85	49.88	305
M <sub>Ma</sub>	51.91	69.26	-7.69	69.68	354
N <sub>Ma</sub>	24.2	0.0	0.0	0.0	0
W <sub>Ma</sub>	95.41	0.0	0.0	0.0	0
R <sub>CIE</sub>	44.36	53.97	24.82	59.4	25
J <sub>CIE</sub>	82.39	-1.99	62.34	62.37	92
G <sub>CIE</sub>	55.68	-38.87	10.82	40.36	164
B <sub>CIE</sub>	35.76	1.06	-43.09	43.11	271

Ausgabe: Farbmétrisches Offset-Reflektiv-System ORS18

für Buntton  $h^* = lab^*h = 151/360 = 0.419$

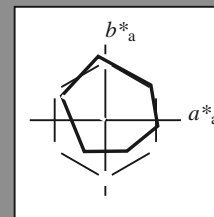
$lab^*tch$  und  $lab^*nch$

D65: Buntton L

LCH\*Ma: 54 66 151

olv\*Ma: 0.0 1.0 0.0

Dreiecks-Helligkeit  $t^*$



%Umfang

$u^*_{rel} = 85$

%Regularität

$g^*_{H,rel} = 57$

$g^*_{C,rel} = 59$

ORS18; adaptierte CIELAB-Daten

	$L^*=L^*_a$	$a^*_a$	$b^*_a$	$C^*_{ab,a}$	$h^*_{ab,a}$
R	51.79	63.09	29.02	69.44	25
R25J	53.73	56.6	48.42	74.48	41
R50J	65.47	35.67	59.82	69.65	59
R75J	76.51	15.98	70.55	72.34	77
J	86.93	-2.58	80.67	80.71	92
J25G	84.92	-17.23	75.99	77.92	103
J50G	73.11	-32.96	59.0	67.58	119
J75G	60.06	-50.34	40.22	64.44	141
G	56.21	-50.44	14.04	52.36	164
G25B	57.95	-43.12	-3.96	43.31	185
G50B	60.3	-33.22	-28.35	43.68	220
G75B	53.27	-12.42	-41.26	43.1	253
B	46.07	1.01	-41.12	41.15	271
B25R	34.63	22.38	-40.91	46.64	299
B50R	45.15	55.92	-18.57	58.93	342
B75R	51.85	65.84	12.67	67.04	11

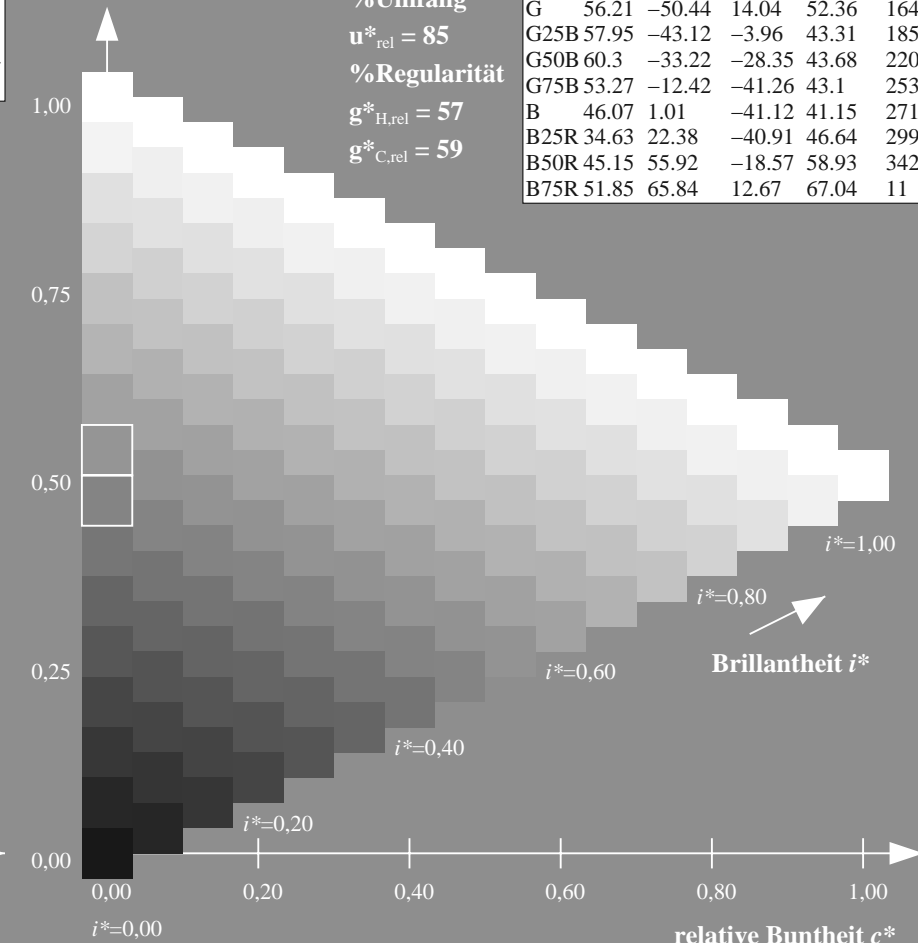
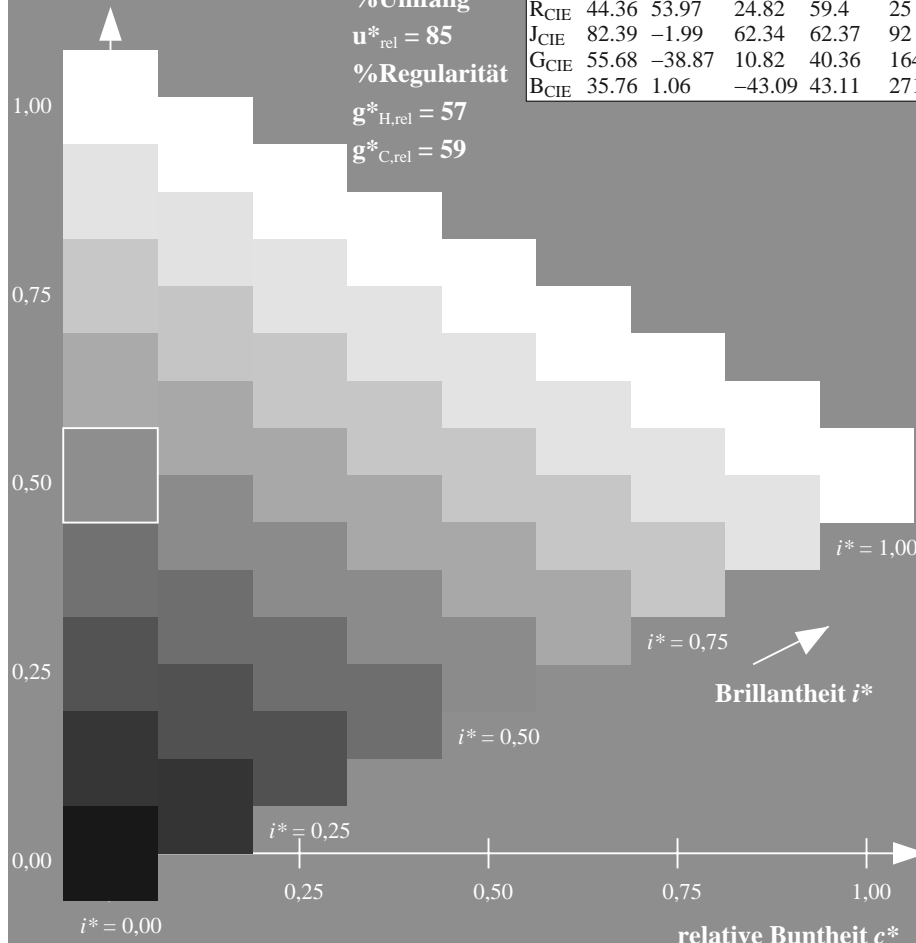
%Umfang

$u^*_{rel} = 85$

%Regularität

$g^*_{H,rel} = 57$

$g^*_{C,rel} = 59$



ZG820-7F, 9stufige Reihen für konstanten CIELAB Buntton 151/360 = 0.419 (links) Seite 53/60

ZG820-7F, 16stufige Reihen für konstanten CIELAB Buntton 151/360 = 0.419 (rechts) n\*

BAM-Prüfvorlage ZG82; Farbmétrik-Systeme, Seite 53/60 Eingabe:  $rgb / cmy0 set(rgb/cmyk)color$

D65: 9 und 16stufige Farbreihen für 10 Bunttöne

Ausgabe:  $->LAB^*->cmy5^* setcmykcolo$

Eingabe: Farbmétrisches Offset-Reflektiv-System ORS18

für Buntton  $h^* = lab^*h = 236/360 = 0.656$

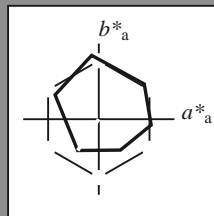
$lab^*tch$  und  $lab^*nch$

D65: Buntton C

LCH\*Ma: 62 50 236

olv\*Ma: 0.0 1.0 1.0

Dreiecks-Helligkeit  $t^*$



%Umfang

$u^*_{rel} = 85$

%Regularität

$g^*_{H,rel} = 57$

$g^*_{C,rel} = 59$

ORS18; adaptierte CIELAB-Daten

	$L^*=L^*_a$	$a^*_a$	$b^*_a$	$C^*_{ab,a}$	$h^*_{ab,a}$
O <sub>Ma</sub>	51.74	60.16	46.48	76.02	38
Y <sub>Ma</sub>	90.77	-9.44	84.41	84.94	96
L <sub>Ma</sub>	54.46	-57.8	32.16	66.15	151
C <sub>Ma</sub>	61.56	-27.91	-41.41	49.95	236
V <sub>Ma</sub>	31.3	28.61	-40.85	49.88	305
M <sub>Ma</sub>	51.91	69.26	-7.69	69.68	354
N <sub>Ma</sub>	24.2	0.0	0.0	0.0	0
W <sub>Ma</sub>	95.41	0.0	0.0	0.0	0
R <sub>CIE</sub>	44.36	53.97	24.82	59.4	25
J <sub>CIE</sub>	82.39	-1.99	62.34	62.37	92
G <sub>CIE</sub>	55.68	-38.87	10.82	40.36	164
B <sub>CIE</sub>	35.76	1.06	-43.09	43.11	271

Ausgabe: Farbmétrisches Offset-Reflektiv-System ORS18

für Buntton  $h^* = lab^*h = 236/360 = 0.656$

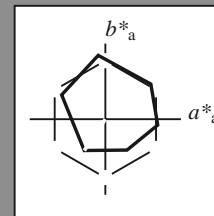
$lab^*tch$  und  $lab^*nch$

D65: Buntton C

LCH\*Ma: 62 50 236

olv\*Ma: 0.0 1.0 1.0

Dreiecks-Helligkeit  $t^*$



%Umfang

$u^*_{rel} = 85$

%Regularität

$g^*_{H,rel} = 57$

$g^*_{C,rel} = 59$

ORS18; adaptierte CIELAB-Daten

	$L^*=L^*_a$	$a^*_a$	$b^*_a$	$C^*_{ab,a}$	$h^*_{ab,a}$
R	51.79	63.09	29.02	69.44	25
R25J	53.73	56.6	48.42	74.48	41
R50J	65.47	35.67	59.82	69.65	59
R75J	76.51	15.98	70.55	72.34	77
J	86.93	-2.58	80.67	80.71	92
J25G	84.92	-17.23	75.99	77.92	103
J50G	73.11	-32.96	59.0	67.58	119
J75G	60.06	-50.34	40.22	64.44	141
G	56.21	-50.44	14.04	52.36	164
G25B	57.95	-43.12	-3.96	43.31	185
G50B	60.3	-33.22	-28.35	43.68	220
G75B	53.27	-12.42	-41.26	43.1	253
B	46.07	1.01	-41.12	41.15	271
B25R	34.63	22.38	-40.91	46.64	299
B50R	45.15	55.92	-18.57	58.93	342
B75R	51.85	65.84	12.67	67.04	11

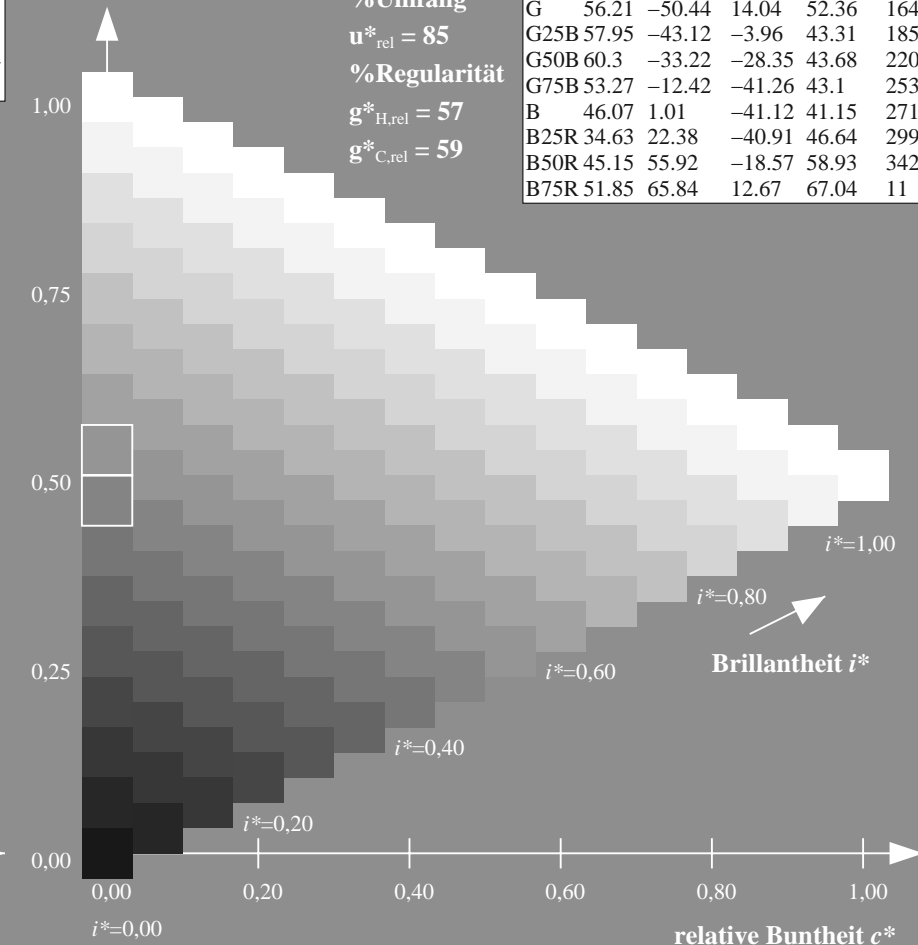
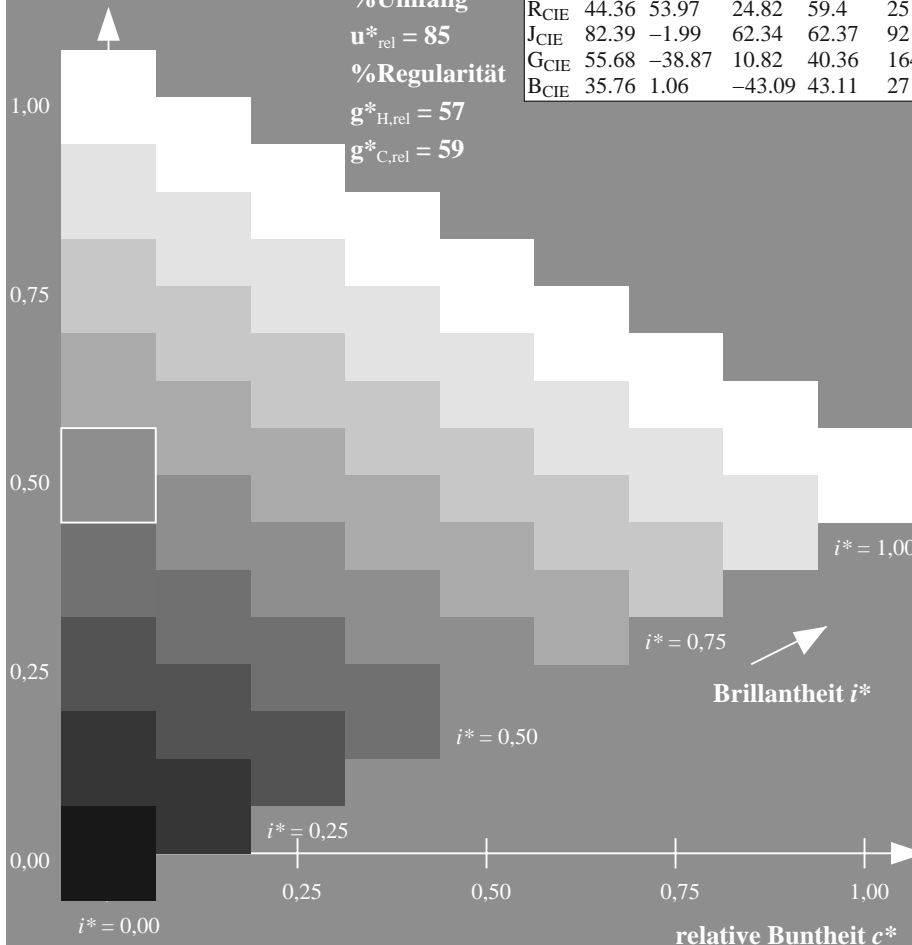
%Umfang

$u^*_{rel} = 85$

%Regularität

$g^*_{H,rel} = 57$

$g^*_{C,rel} = 59$



ZG820-7F, 9stufige Reihen für konstanten CIELAB Buntton 236/360 = 0.656 (links) Seite 54/60

ZG820-7F, 16stufige Reihen für konstanten CIELAB Buntton 236/360 = 0.656 (rechts) n\*

BAM-Prüfvorlage ZG82; Farbmétrik-Systeme, Seite 54/60 Eingabe:  $rgb / cmy0 set(rgb/cmyk)color$

D65: 9 und 16stufige Farbreihen für 10 Bunttöne

Ausgabe:  $->LAB^*->cmy5^* setcmykcolo$

Eingabe: Farbmétrisches Offset-Reflektiv-System ORS18

für Buntton  $h^* = lab^*h = 305/360 = 0.847$

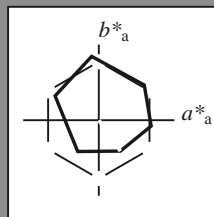
$lab^*tch$  und  $lab^*nch$

D65: Buntton V

LCH\*Ma: 31 50 305

olv\*Ma: 0.0 0.0 1.0

Dreiecks-Helligkeit  $t^*$



%Umfang

$u^*_{rel} = 85$

%Regularität

$g^*_{H,rel} = 57$

$g^*_{C,rel} = 59$

ORS18; adaptierte CIELAB-Daten

	$L^*=L^*_a$	$a^*_a$	$b^*_a$	$C^*_{ab,a}$	$h^*_{ab,a}$
O <sub>Ma</sub>	51.74	60.16	46.48	76.02	38
Y <sub>Ma</sub>	90.77	-9.44	84.41	84.94	96
L <sub>Ma</sub>	54.46	-57.8	32.16	66.15	151
C <sub>Ma</sub>	61.56	-27.91	-41.41	49.95	236
V <sub>Ma</sub>	31.3	28.61	-40.85	49.88	305
M <sub>Ma</sub>	51.91	69.26	-7.69	69.68	354
N <sub>Ma</sub>	24.2	0.0	0.0	0.0	0
W <sub>Ma</sub>	95.41	0.0	0.0	0.0	0
R <sub>CIE</sub>	44.36	53.97	24.82	59.4	25
J <sub>CIE</sub>	82.39	-1.99	62.34	62.37	92
G <sub>CIE</sub>	55.68	-38.87	10.82	40.36	164
B <sub>CIE</sub>	35.76	1.06	-43.09	43.11	271

Ausgabe: Farbmétrisches Offset-Reflektiv-System ORS18

für Buntton  $h^* = lab^*h = 305/360 = 0.847$

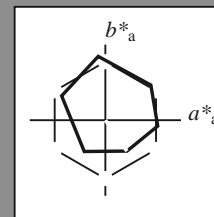
$lab^*tch$  und  $lab^*nch$

D65: Buntton V

LCH\*Ma: 31 50 305

olv\*Ma: 0.0 0.0 1.0

Dreiecks-Helligkeit  $t^*$



%Umfang

$u^*_{rel} = 85$

%Regularität

$g^*_{H,rel} = 57$

$g^*_{C,rel} = 59$

ORS18; adaptierte CIELAB-Daten

	$L^*=L^*_a$	$a^*_a$	$b^*_a$	$C^*_{ab,a}$	$h^*_{ab,a}$
R	51.79	63.09	29.02	69.44	25
R25J	53.73	56.6	48.42	74.48	41
R50J	65.47	35.67	59.82	69.65	59
R75J	76.51	15.98	70.55	72.34	77
J	86.93	-2.58	80.67	80.71	92
J25G	84.92	-17.23	75.99	77.92	103
J50G	73.11	-32.96	59.0	67.58	119
J75G	60.06	-50.34	40.22	64.44	141
G	56.21	-50.44	14.04	52.36	164
G25B	57.95	-43.12	-3.96	43.31	185
G50B	60.3	-33.22	-28.35	43.68	220
G75B	53.27	-12.42	-41.26	43.1	253
B	46.07	1.01	-41.12	41.15	271
B25R	34.63	22.38	-40.91	46.64	299
B50R	45.15	55.92	-18.57	58.93	342
B75R	51.85	65.84	12.67	67.04	11

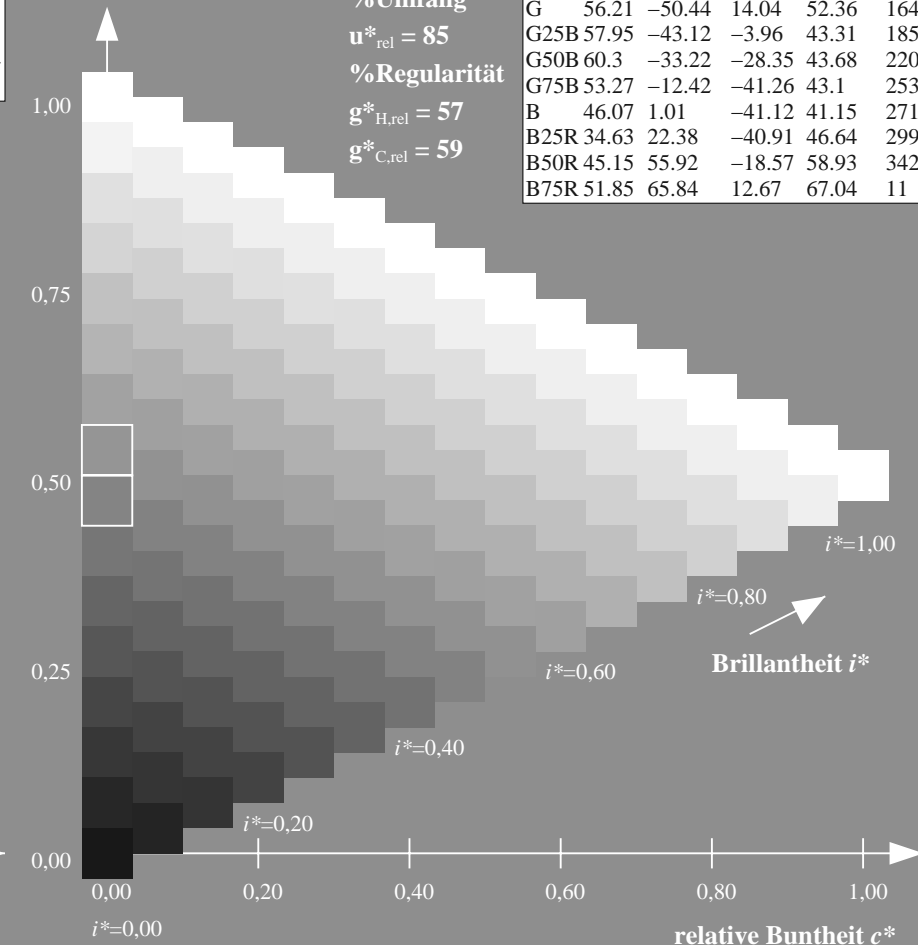
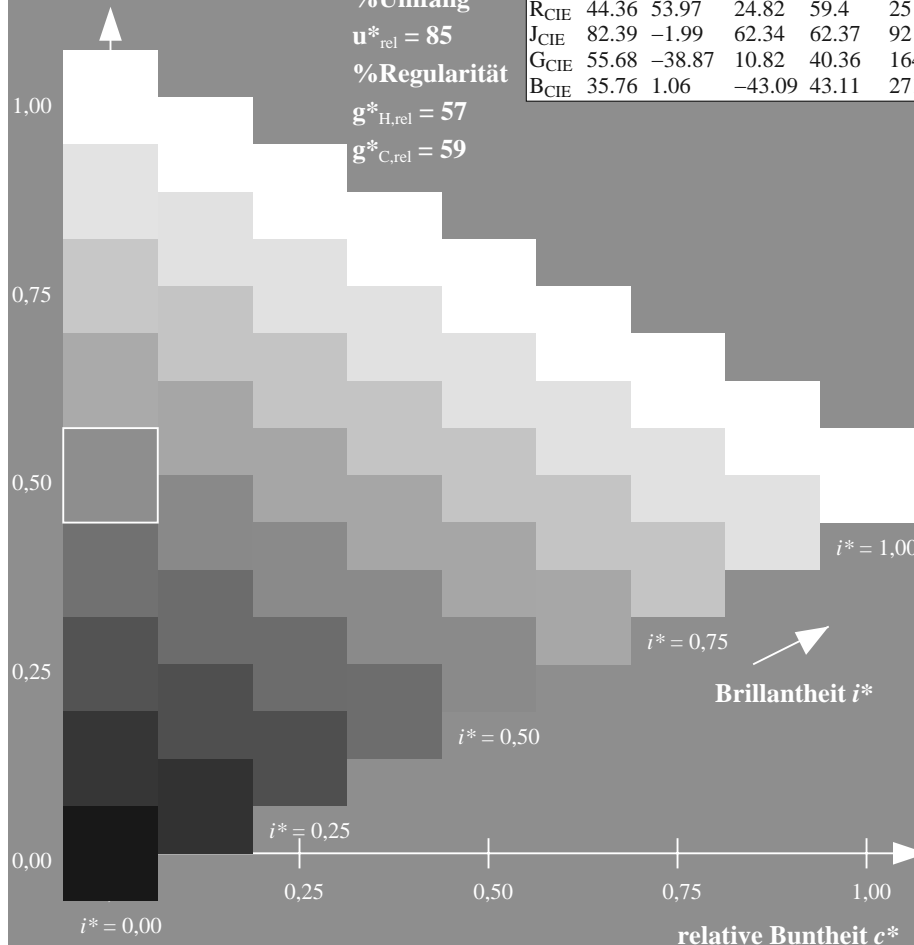
%Umfang

$u^*_{rel} = 85$

%Regularität

$g^*_{H,rel} = 57$

$g^*_{C,rel} = 59$



ZG820-7F, 9stufige Reihen für konstanten CIELAB Buntton 305/360 = 0.847 (links) Seite 55/60

ZG820-7F, 16stufige Reihen für konstanten CIELAB Buntton 305/360 = 0.847 (rechts) n\*

BAM-Prüfvorlage ZG82; Farbmétrische Systeme, Seite 55/60 Eingabe:  $rgb / cmy0$  set( $rgb/cmyk$ )color

D65: 9 und 16stufige Farbreihen für 10 Bunttöne

Ausgabe:  $\rightarrow LAB^* \rightarrow cmy5^* setcmykcolo$

Eingabe: Farbmétrisches Offset-Reflektiv-System ORS18

für Buntton  $h^* = lab^*h = 354/360 = 0.982$

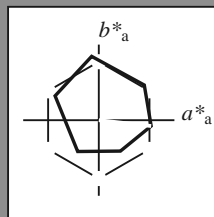
$lab^*tch$  und  $lab^*nch$

D65: Buntton M

LCH\*Ma: 52 70 354

olv\*Ma: 1.0 0.0 1.0

Dreiecks-Helligkeit  $t^*$



%Umfang

$u^*_{rel} = 85$

%Regularität

$g^*_{H,rel} = 57$

$g^*_{C,rel} = 59$

ORS18; adaptierte CIELAB-Daten

	$L^*=L^*_a$	$a^*_a$	$b^*_a$	$C^*_{ab,a}$	$h^*_{ab,a}$
O <sub>Ma</sub>	51.74	60.16	46.48	76.02	38
Y <sub>Ma</sub>	90.77	-9.44	84.41	84.94	96
L <sub>Ma</sub>	54.46	-57.8	32.16	66.15	151
C <sub>Ma</sub>	61.56	-27.91	-41.41	49.95	236
V <sub>Ma</sub>	31.3	28.61	-40.85	49.88	305
M <sub>Ma</sub>	51.91	69.26	-7.69	69.68	354
N <sub>Ma</sub>	24.2	0.0	0.0	0.0	0
W <sub>Ma</sub>	95.41	0.0	0.0	0.0	0
R <sub>CIE</sub>	44.36	53.97	24.82	59.4	25
J <sub>CIE</sub>	82.39	-1.99	62.34	62.37	92
G <sub>CIE</sub>	55.68	-38.87	10.82	40.36	164
B <sub>CIE</sub>	35.76	1.06	-43.09	43.11	271

Ausgabe: Farbmétrisches Offset-Reflektiv-System ORS18

für Buntton  $h^* = lab^*h = 354/360 = 0.982$

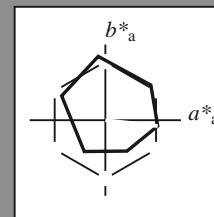
$lab^*tch$  und  $lab^*nch$

D65: Buntton M

LCH\*Ma: 52 70 354

olv\*Ma: 1.0 0.0 1.0

Dreiecks-Helligkeit  $t^*$



%Umfang

$u^*_{rel} = 85$

%Regularität

$g^*_{H,rel} = 57$

$g^*_{C,rel} = 59$

ORS18; adaptierte CIELAB-Daten

	$L^*=L^*_a$	$a^*_a$	$b^*_a$	$C^*_{ab,a}$	$h^*_{ab,a}$
R	51.79	63.09	29.02	69.44	25
R25J	53.73	56.6	48.42	74.48	41
R50J	65.47	35.67	59.82	69.65	59
R75J	76.51	15.98	70.55	72.34	77
J	86.93	-2.58	80.67	80.71	92
J25G	84.92	-17.23	75.99	77.92	103
J50G	73.11	-32.96	59.0	67.58	119
J75G	60.06	-50.34	40.22	64.44	141
G	56.21	-50.44	14.04	52.36	164
G25B	57.95	-43.12	-3.96	43.31	185
G50B	60.3	-33.22	-28.35	43.68	220
G75B	53.27	-12.42	-41.26	43.1	253
B	46.07	1.01	-41.12	41.15	271
B25R	34.63	22.38	-40.91	46.64	299
B50R	45.15	55.92	-18.57	58.93	342
B75R	51.85	65.84	12.67	67.04	11

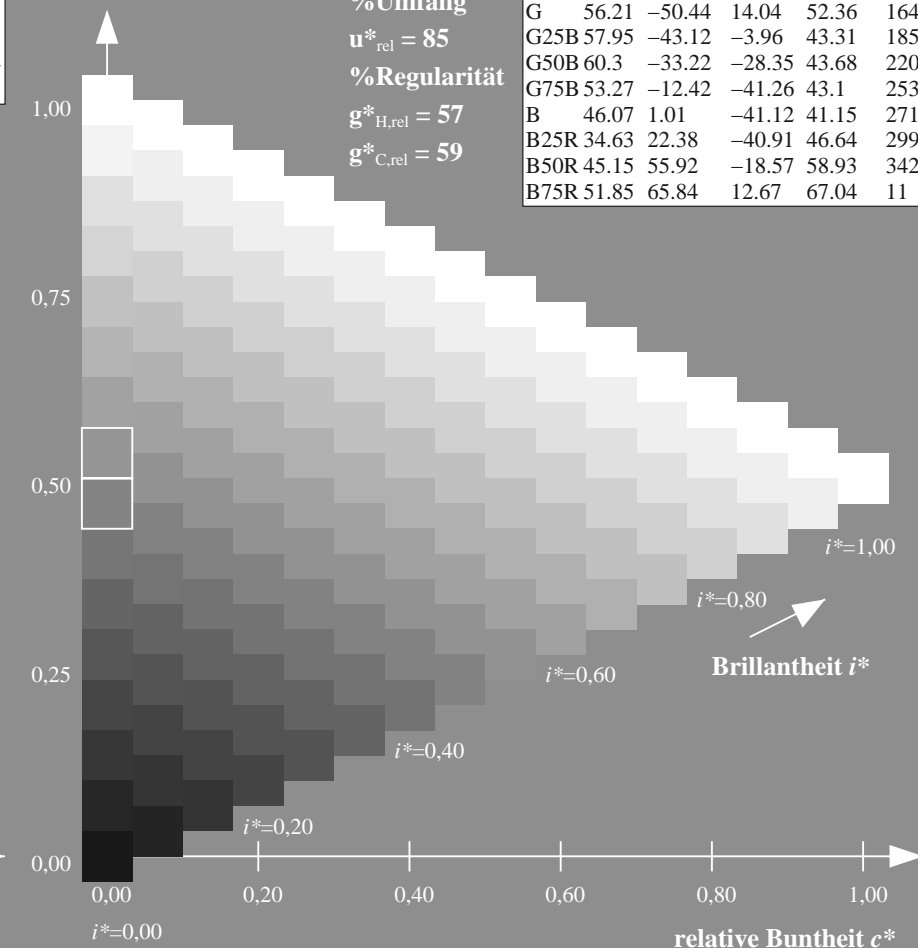
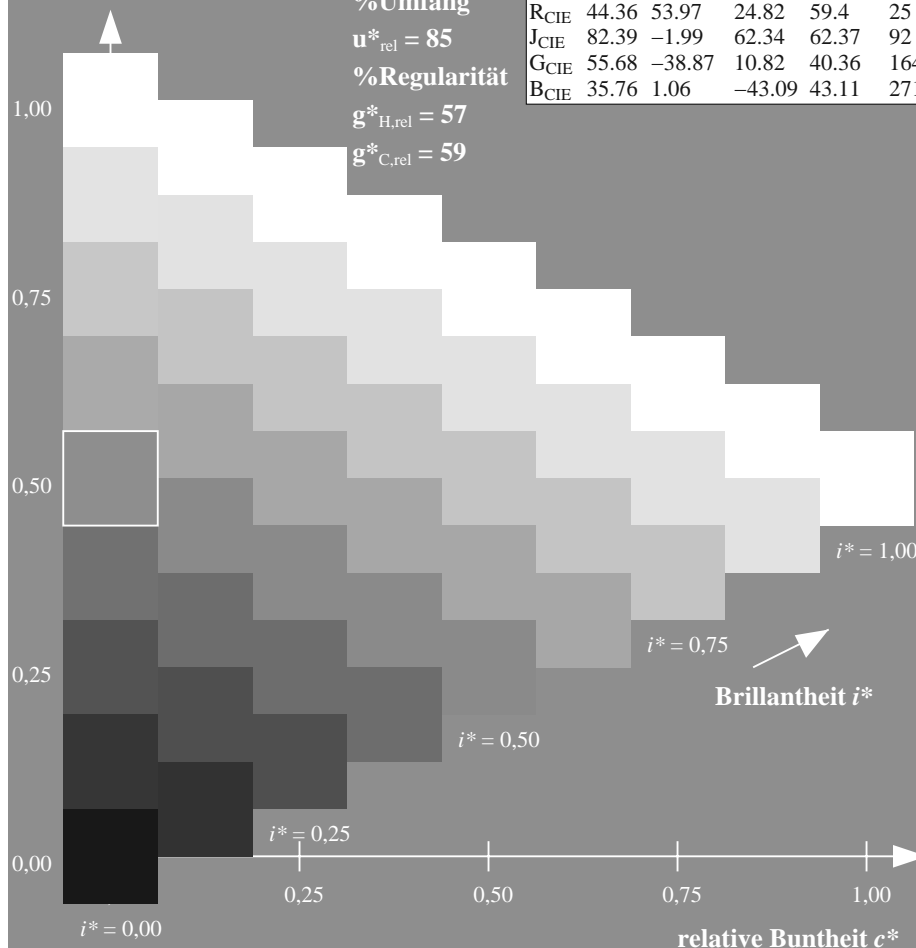
%Umfang

$u^*_{rel} = 85$

%Regularität

$g^*_{H,rel} = 57$

$g^*_{C,rel} = 59$



ZG820-7F, 9stufige Reihen für konstanten CIELAB Buntton 354/360 = 0.982 (links) Seite 56/60

ZG820-7F, 16stufige Reihen für konstanten CIELAB Buntton 354/360 = 0.982 (rechts) n\*

BAM-Prüfvorlage ZG82; Farbmétrik-Systeme, Seite 56/60 Eingabe:  $rgb / cmy0 set(rgb/cmyk)color$

D65: 9 und 16stufige Farbreihen für 10 Bunttöne

Ausgabe:  $->LAB^*->cmy5^* setcmykcolo$





Eingabe: Farbmétrisches Offset-Reflektiv-System ORS18

für Buntton  $h^* = lab^*h = 92/360 = 0.255$

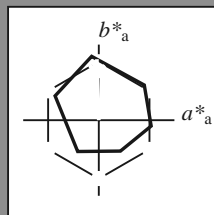
$lab^*tch$  und  $lab^*nch$

D65: Buntton J

LCH\*Ma: 87 81 92

olv\*Ma: 1.0 0.9 0.0

Dreiecks-Helligkeit  $t^*$



%Umfang

$u^*_{rel} = 85$

%Regularität

$g^*_{H,rel} = 57$

$g^*_{C,rel} = 59$

ORS18; adaptierte CIELAB-Daten

	$L^*=L^*_a$	$a^*_a$	$b^*_a$	$C^*_{ab,a}$	$h^*_{ab,a}$
O <sub>Ma</sub>	51.74	60.16	46.48	76.02	38
Y <sub>Ma</sub>	90.77	-9.44	84.41	84.94	96
L <sub>Ma</sub>	54.46	-57.8	32.16	66.15	151
C <sub>Ma</sub>	61.56	-27.91	-41.41	49.95	236
V <sub>Ma</sub>	31.3	28.61	-40.85	49.88	305
M <sub>Ma</sub>	51.91	69.26	-7.69	69.68	354
N <sub>Ma</sub>	24.2	0.0	0.0	0.0	0
W <sub>Ma</sub>	95.41	0.0	0.0	0.0	0
R <sub>CIE</sub>	44.36	53.97	24.82	59.4	25
J <sub>CIE</sub>	82.39	-1.99	62.34	62.37	92
G <sub>CIE</sub>	55.68	-38.87	10.82	40.36	164
B <sub>CIE</sub>	35.76	1.06	-43.09	43.11	271

Ausgabe: Farbmétrisches Offset-Reflektiv-System ORS18

für Buntton  $h^* = lab^*h = 92/360 = 0.255$

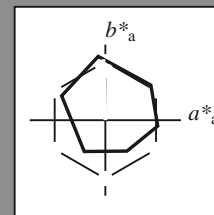
$lab^*tch$  und  $lab^*nch$

D65: Buntton J

LCH\*Ma: 87 81 92

olv\*Ma: 1.0 0.9 0.0

Dreiecks-Helligkeit  $t^*$



%Umfang

$u^*_{rel} = 85$

%Regularität

$g^*_{H,rel} = 57$

$g^*_{C,rel} = 59$

ORS18; adaptierte CIELAB-Daten

	$L^*=L^*_a$	$a^*_a$	$b^*_a$	$C^*_{ab,a}$	$h^*_{ab,a}$
R	51.79	63.09	29.02	69.44	25
R25J	53.73	56.6	48.42	74.48	41
R50J	65.47	35.67	59.82	69.65	59
R75J	76.51	15.98	70.55	72.34	77
J	86.93	-2.58	80.67	80.71	92
J25G	84.92	-17.23	75.99	77.92	103
J50G	73.11	-32.96	59.0	67.58	119
J75G	60.06	-50.34	40.22	64.44	141
G	56.21	-50.44	14.04	52.36	164
G25B	57.95	-43.12	-3.96	43.31	185
G50B	60.3	-33.22	-28.35	43.68	220
G75B	53.27	-12.42	-41.26	43.1	253
B	46.07	1.01	-41.12	41.15	271
B25R	34.63	22.38	-40.91	46.64	299
B50R	45.15	55.92	-18.57	58.93	342
B75R	51.85	65.84	12.67	67.04	11

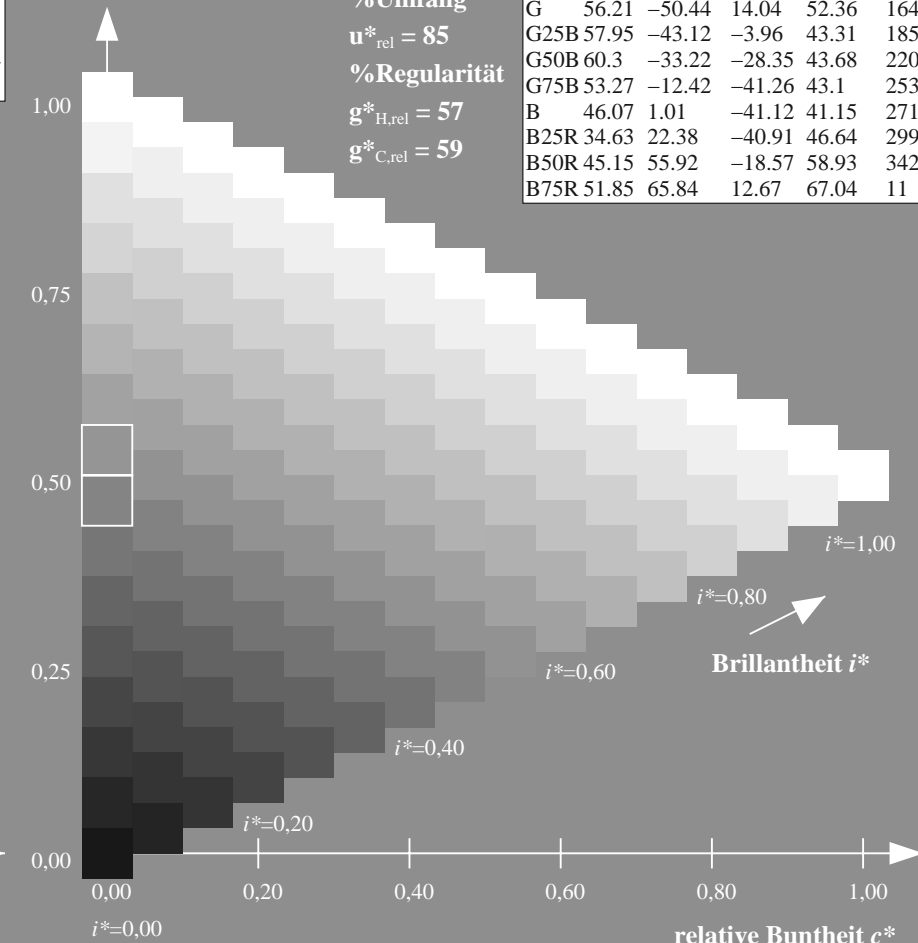
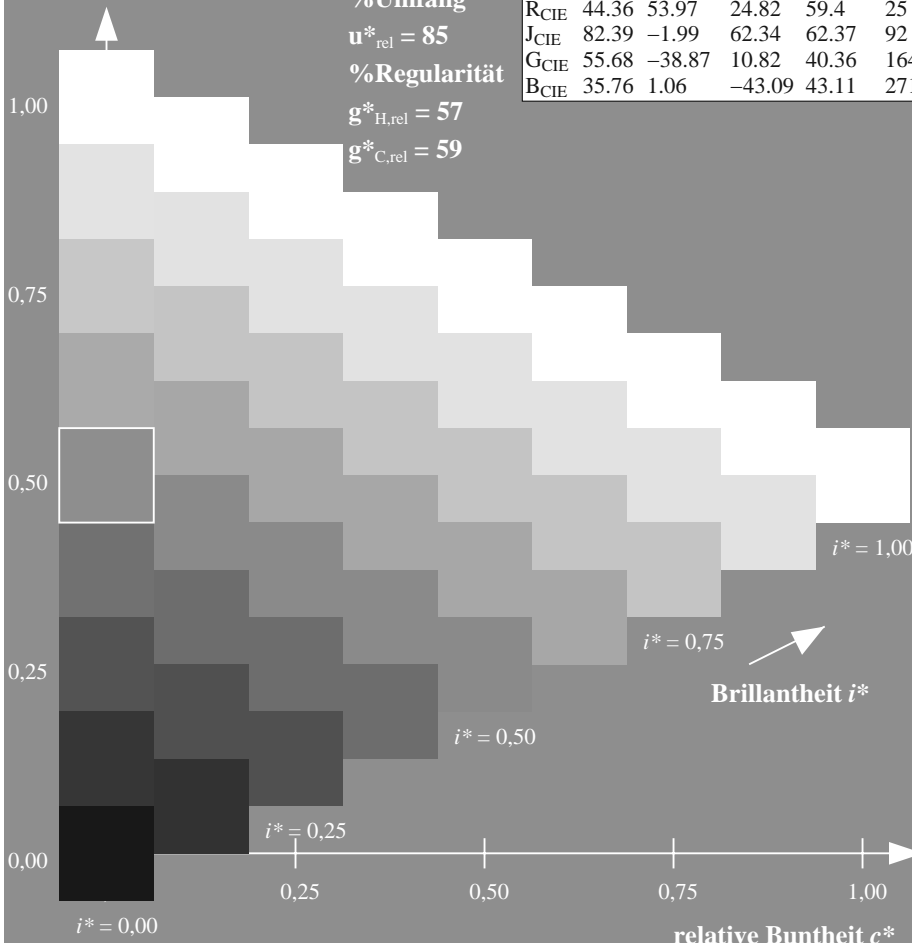
%Umfang

$u^*_{rel} = 85$

%Regularität

$g^*_{H,rel} = 57$

$g^*_{C,rel} = 59$



ZG820-7F, 9stufige Reihen für konstanten CIELAB Buntton 92/360 = 0.255 (links)

Seite 58/60

ZG820-7F, 16stufige Reihen für konstanten CIELAB Buntton 92/360 = 0.255 (rechts)

n\*

BAM-Prüfvorlage ZG82; Farbmétrik-Systeme, Seite 58/60 Eingabe:  $rgb / cmy0$  set( $rgb/cmyk$ )color

D65: 9 und 16stufige Farbreihen für 10 Bunttöne

Ausgabe:  $->LAB^*->cmy5^*$  set( $cmykcolo$

Eingabe: Farbmétrisches Offset-Reflektiv-System ORS18

für Buntton  $h^* = lab^*h = 164/360 = 0.457$

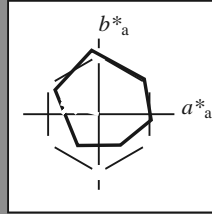
$lab^*tch$  und  $lab^*nch$

D65: Buntton G

LCH\*Ma: 56 52 164

olv\*Ma: 0.0 1.0 0.25

Dreiecks-Helligkeit  $t^*$



%Umfang

$u^*_{rel} = 85$

%Regularität

$g^*_{H,rel} = 57$

$g^*_{C,rel} = 59$

ORS18; adaptierte CIELAB-Daten

	$L^*=L^*_a$	$a^*_a$	$b^*_a$	$C^*_{ab,a}$	$h^*_{ab,a}$
O <sub>Ma</sub>	51.74	60.16	46.48	76.02	38
Y <sub>Ma</sub>	90.77	-9.44	84.41	84.94	96
L <sub>Ma</sub>	54.46	-57.8	32.16	66.15	151
C <sub>Ma</sub>	61.56	-27.91	-41.41	49.95	236
V <sub>Ma</sub>	31.3	28.61	-40.85	49.88	305
M <sub>Ma</sub>	51.91	69.26	-7.69	69.68	354
N <sub>Ma</sub>	24.2	0.0	0.0	0.0	0
W <sub>Ma</sub>	95.41	0.0	0.0	0.0	0
R <sub>CIE</sub>	44.36	53.97	24.82	59.4	25
J <sub>CIE</sub>	82.39	-1.99	62.34	62.37	92
G <sub>CIE</sub>	55.68	-38.87	10.82	40.36	164
B <sub>CIE</sub>	35.76	1.06	-43.09	43.11	271

Ausgabe: Farbmétrisches Offset-Reflektiv-System ORS18

für Buntton  $h^* = lab^*h = 164/360 = 0.457$

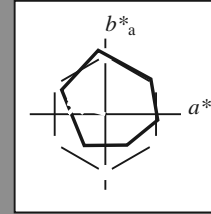
$lab^*tch$  und  $lab^*nch$

D65: Buntton G

LCH\*Ma: 56 52 164

olv\*Ma: 0.0 1.0 0.25

Dreiecks-Helligkeit  $t^*$



%Umfang

$u^*_{rel} = 85$

%Regularität

$g^*_{H,rel} = 57$

$g^*_{C,rel} = 59$

ORS18; adaptierte CIELAB-Daten

	$L^*=L^*_a$	$a^*_a$	$b^*_a$	$C^*_{ab,a}$	$h^*_{ab,a}$
R	51.79	63.09	29.02	69.44	25
R25J	53.73	56.6	48.42	74.48	41
R50J	65.47	35.67	59.82	69.65	59
R75J	76.51	15.98	70.55	72.34	77
J	86.93	-2.58	80.67	80.71	92
J25G	84.92	-17.23	75.99	77.92	103
J50G	73.11	-32.96	59.0	67.58	119
J75G	60.06	-50.34	40.22	64.44	141
G	56.21	-50.44	14.04	52.36	164
G25B	57.95	-43.12	-3.96	43.31	185
G50B	60.3	-33.22	-28.35	43.68	220
G75B	53.27	-12.42	-41.26	43.1	253
B	46.07	1.01	-41.12	41.15	271
B25R	34.63	22.38	-40.91	46.64	299
B50R	45.15	55.92	-18.57	58.93	342
B75R	51.85	65.84	12.67	67.04	11

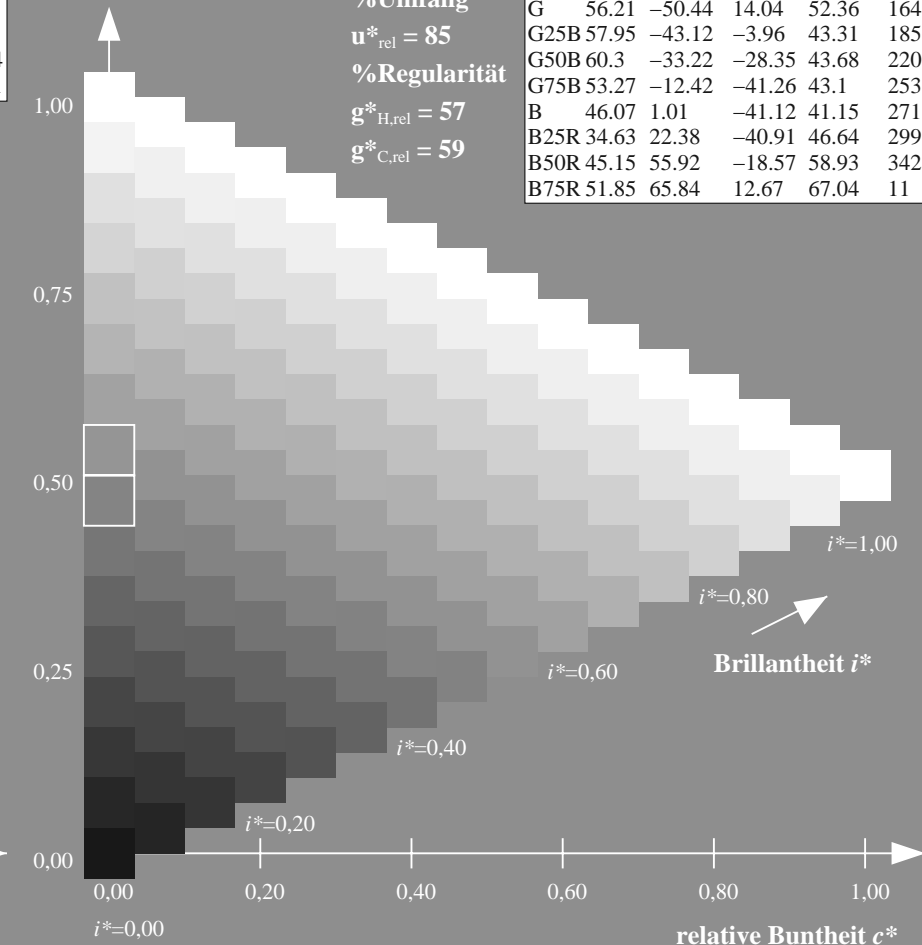
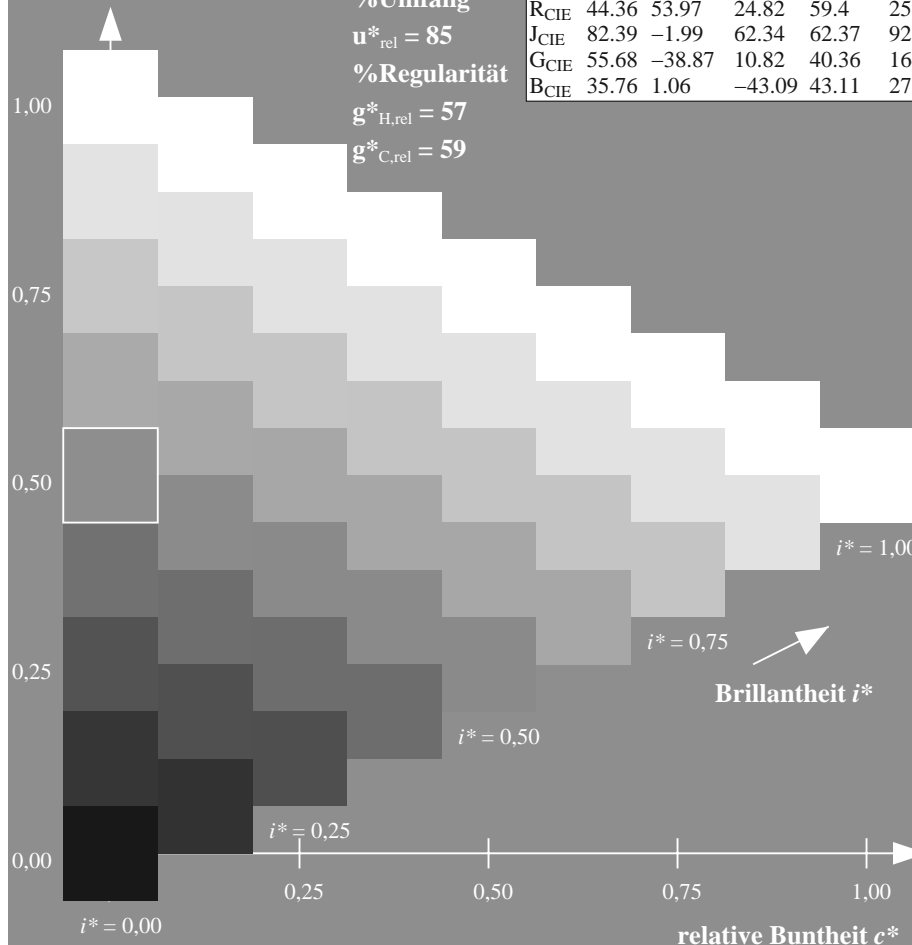
%Umfang

$u^*_{rel} = 85$

%Regularität

$g^*_{H,rel} = 57$

$g^*_{C,rel} = 59$



ZG820-7F, 9stufige Reihen für konstanten CIELAB Buntton 164/360 = 0.457 (links) Seite 59/60

ZG820-7F, 16stufige Reihen für konstanten CIELAB Buntton 164/360 = 0.457 (rechts) n\*

BAM-Prüfvorlage ZG82; Farbmétrik-Systeme, Seite 59/60 Eingabe:  $rgb / cmy0$  set( $rgb/cmyk$ )color

D65: 9 und 16stufige Farbreihen für 10 Bunttöne

Ausgabe:  $\rightarrow LAB^* \rightarrow cmy5^* setcmykcolo$

Eingabe: Farbmétrisches Offset-Reflektiv-System ORS18

für Buntton  $h^* = lab^*h = 271/360 = 0.754$

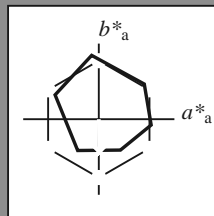
$lab^*tch$  und  $lab^*nch$

D65: Buntton B

LCH\*Ma: 46 41 271

olv\*Ma: 0.0 0.49 1.0

Dreiecks-Helligkeit  $t^*$



%Umfang

$u^*_{rel} = 85$

%Regularität

$g^*_{H,rel} = 57$

$g^*_{C,rel} = 59$

ORS18; adaptierte CIELAB-Daten

	$L^*=L^*_a$	$a^*_a$	$b^*_a$	$C^*_{ab,a}$	$h^*_{ab,a}$
O <sub>Ma</sub>	51.74	60.16	46.48	76.02	38
Y <sub>Ma</sub>	90.77	-9.44	84.41	84.94	96
L <sub>Ma</sub>	54.46	-57.8	32.16	66.15	151
C <sub>Ma</sub>	61.56	-27.91	-41.41	49.95	236
V <sub>Ma</sub>	31.3	28.61	-40.85	49.88	305
M <sub>Ma</sub>	51.91	69.26	-7.69	69.68	354
N <sub>Ma</sub>	24.2	0.0	0.0	0.0	0
W <sub>Ma</sub>	95.41	0.0	0.0	0.0	0
R <sub>CIE</sub>	44.36	53.97	24.82	59.4	25
J <sub>CIE</sub>	82.39	-1.99	62.34	62.37	92
G <sub>CIE</sub>	55.68	-38.87	10.82	40.36	164
B <sub>CIE</sub>	35.76	1.06	-43.09	43.11	271

Ausgabe: Farbmétrisches Offset-Reflektiv-System ORS18

für Buntton  $h^* = lab^*h = 271/360 = 0.754$

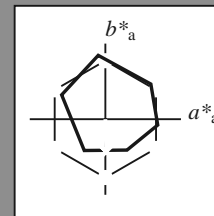
$lab^*tch$  und  $lab^*nch$

D65: Buntton B

LCH\*Ma: 46 41 271

olv\*Ma: 0.0 0.49 1.0

Dreiecks-Helligkeit  $t^*$



%Umfang

$u^*_{rel} = 85$

%Regularität

$g^*_{H,rel} = 57$

$g^*_{C,rel} = 59$

ORS18; adaptierte CIELAB-Daten

	$L^*=L^*_a$	$a^*_a$	$b^*_a$	$C^*_{ab,a}$	$h^*_{ab,a}$
R	51.79	63.09	29.02	69.44	25
R25J	53.73	56.6	48.42	74.48	41
R50J	65.47	35.67	59.82	69.65	59
R75J	76.51	15.98	70.55	72.34	77
J	86.93	-2.58	80.67	80.71	92
J25G	84.92	-17.23	75.99	77.92	103
J50G	73.11	-32.96	59.0	67.58	119
J75G	60.06	-50.34	40.22	64.44	141
G	56.21	-50.44	14.04	52.36	164
G25B	57.95	-43.12	-3.96	43.31	185
G50B	60.3	-33.22	-28.35	43.68	220
G75B	53.27	-12.42	-41.26	43.1	253
B	46.07	1.01	-41.12	41.15	271
B25R	34.63	22.38	-40.91	46.64	299
B50R	45.15	55.92	-18.57	58.93	342
B75R	51.85	65.84	12.67	67.04	11

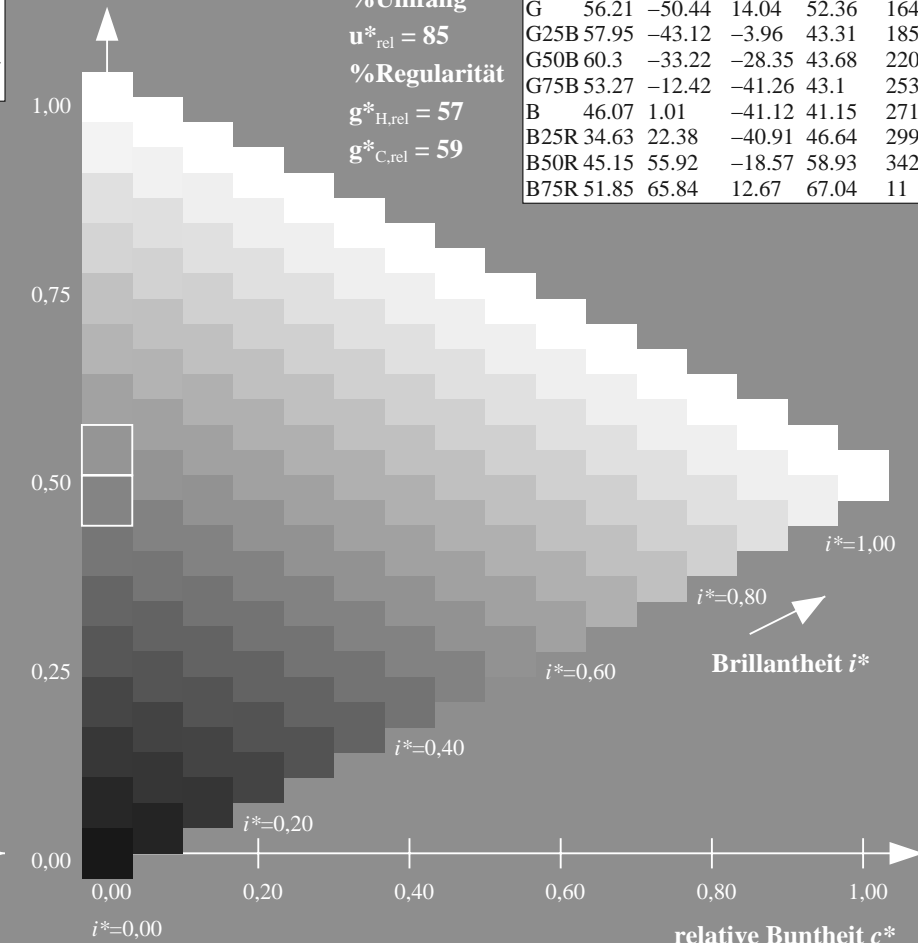
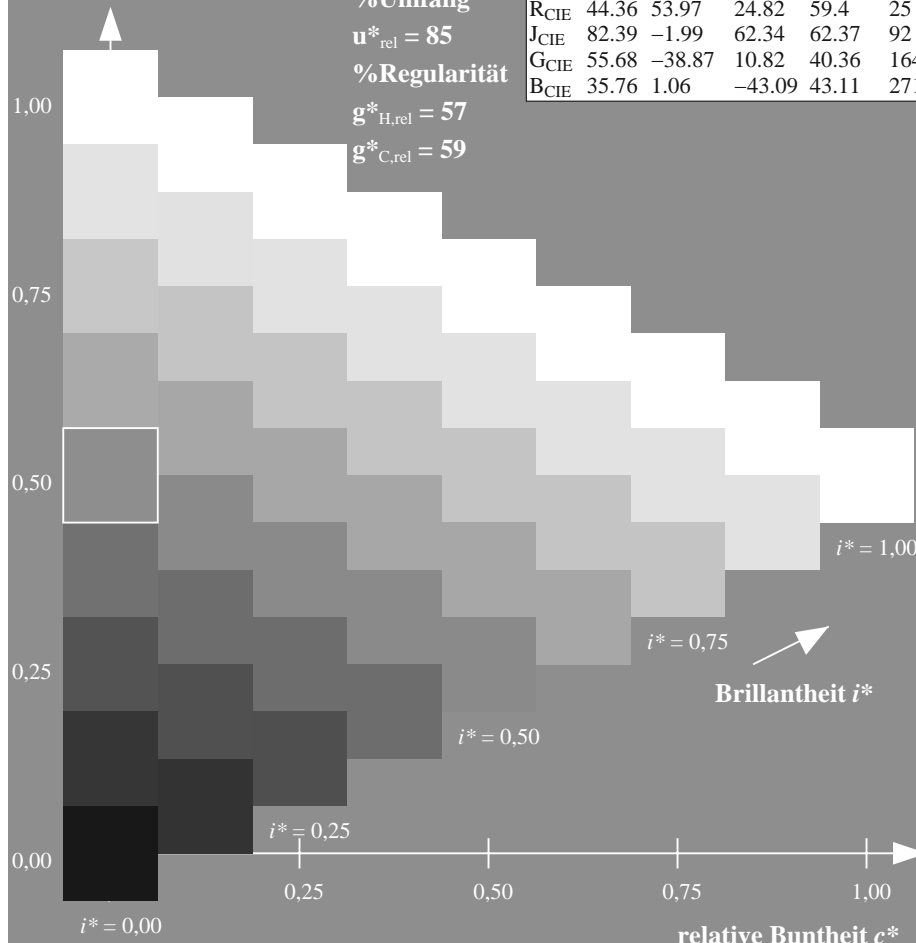
%Umfang

$u^*_{rel} = 85$

%Regularität

$g^*_{H,rel} = 57$

$g^*_{C,rel} = 59$



ZG820-7F, 9stufige Reihen für konstanten CIELAB Buntton 271/360 = 0.754 (links) Seite 60/60

ZG820-7F, 16stufige Reihen für konstanten CIELAB Buntton 271/360 = 0.754 (rechts) n\*

BAM-Prüfvorlage ZG82; Farbmétrik-Systeme, Seite 60/60 Eingabe:  $rgb / cmy0 set(rgb/cmyk)color$

D65: 9 und 16stufige Farbreihen für 10 Bunttöne

Ausgabe:  $->LAB^*->cmy5^* setcmykcolo$